



การศึกษาการผลิตก้าชชีวภาพจากหญ้าหมักร่วมกับของเสียจากฟาร์มสุกร



วิทยานิพนธ์นี้เป็นส่วนหนึ่งของความสมบูรณ์ของการศึกษาตามหลักสูตร

ปริญญาวิทยาศาสตรมหาบัณฑิต สาขาวิชาเทคโนโลยีสิ่งแวดล้อม

บัณฑิตวิทยาลัย มหาวิทยาลัยแม่โจ้

พ.ศ. 2558

ลิขสิทธิ์ของมหาวิทยาลัยแม่โจ้



ใบรับรองวิทยานิพนธ์

บัณฑิตวิทยาลัย มหาวิทยาลัยแม่โจ้

ปริญญาวิทยาศาสตรมหาบัณฑิต สาขาวิชาเทคโนโลยีสิ่งแวดล้อม

ชื่อเรื่อง

การศึกษาการผลิตก้าชชีวภาพจากหญ้าหมักร่วมกับของเสียจากฟาร์มสุกร

โดย

รุ่งตะวัน ปันทะวงศ์

พิจารณาที่นี่ขอบคุณโดย

อาจารย์ที่ปรึกษาหลัก

.....
[Signature]

(ผู้ช่วยศาสตราจารย์ ดร.รุปน ชินบาล)

วันที่ 4 เดือน สิงหาคม พ.ศ. 2558

อาจารย์ รุ่งตะวัน

อาจารย์ที่ปรึกษาร่วม

.....
[Signature]

(ผู้ช่วยศาสตราจารย์ ดร.ศิริภรณ์ ชินบาล)

วันที่ 4 เดือน สิงหาคม พ.ศ. 2558

กมลวรรณ

อาจารย์ที่ปรึกษาร่วม

.....
[Signature]

(อาจารย์ ดร.ศรีภรณ์ คงถายเรือง)

วันที่ 4 เดือน สิงหาคม พ.ศ. 2558

ดร.นันท์

ประธานอาจารย์ประจำหลักสูตร

.....
[Signature]

(อาจารย์ ดร.มุจลินทร์ ผลจันทร์)

วันที่ 4 เดือน สิงหาคม พ.ศ. 2558

ดร.นพ.ว.

บัณฑิตวิทยาลัยรับรองแล้ว

.....
[Signature]

(ผู้ช่วยศาสตราจารย์ ดร.ชาตุพงษ์ วาฤทธิ์)

คณบดีบัณฑิตวิทยาลัย

วันที่ 6 เดือน กันยายน พ.ศ. 2558

ชื่อเรื่อง	การศึกษาการผลิตกั๊ซชีวภาพจากหญ้าหมักร่วมกับของเสียจากฟาร์มสุกร
ชื่อผู้เขียน	นางสาวรุ่งตะวัน ปันทะวงศ์
ชื่อปริญญา	วิทยาศาสตรมหาบัณฑิต สาขาวิชาเทคโนโลยีสิ่งแวดล้อม
อาจารย์ที่ปรึกษาหลัก	ผู้ช่วยศาสตราจารย์ ดร.รูปเป็น ชื่นนาด

บทคัดย่อ

การศึกษานี้ได้คัดแยกแบคทีเรียกรดแลคติก (Lactic Acid Bacteria, LAB) จากอาหารหมักดองของภาคเหนือ และพืชอาหารสัตว์หมัก โดยใช้อาหารเลี้ยงเชื้อสูตร MRS และ M17 Agar ซึ่งสามารถคัดแยกแบคทีเรียกรดแลคติกได้จำนวน 137 ไอโซเลท จากนั้นศึกษาการเจริญและผลิตกรดแลคติกของแบคทีเรียในน้ำหญ้าสกัด โดยใช้ปริมาณเชื้อตั้งต้นที่ 10^4 CFU/มิลลิลิตร บ่มในสภาวะไร้ออกซิเจน ที่อุณหภูมิ 37 องศาเซลเซียส เป็นเวลา 48 ชั่วโมง จากนั้นนำเซลล์ข่วนโดยนวัตกรรมเจริญของแบคทีเรียโดยวัดค่าการดูดกลืนแสงที่ 600 นาโนเมตร และปริมาณกรดแลคติกผลการศึกษาพบว่า สามารถคัดเลือกแบคทีเรียกรดแลคติกได้จำนวน 11 ไอโซเลท ที่สามารถเจริญได้ในหญ้าสกัด ($OD_{600}=0.508-0.593$) โดยผลิตกรดแลคติกได้ประมาณร้อยละ 1.7-2.1 และเมื่อจำแนกแบคทีเรียด้วยวิธีการหาลำดับเบสของดีเอ็นเอในส่วน 16S rRNA พบว่าสามารถแยกได้ 3 จินต จัดออกเป็น 4 สปีชีส์ คือ *Enterococcus gallinarum*, *Lactobacillus plantarum*, *Lactobacillus brevis* และ *Pediococcus pentosaceus* โดยคัดเลือกแบคทีเรียที่เจริญได้ดีและผลิตกรดแลคติกได้สูงจำนวน 3 สายพันธุ์เพื่อใช้ในการศึกษาข้างต่อไป

จากการวิเคราะห์องค์ประกอบทางเคมีของหญ้ารูซี่ หญ้ากินนี หญ้าขัน และหญ้าคา พบว่า หญ้าขันมีค่าวัตถุแห้งอยู่ที่ร้อยละ 25.67 ซึ่งอยู่ในเกณฑ์ที่เหมาะสมต่อการหมัก ในขณะที่หญ้ารูซี่ หญ้ากินนี และหญ้าคา มีค่าวัตถุแห้งที่ร้อยละ 24.72, 22.72 และ 31.75 ตามลำดับ ซึ่งหญ้ารูซี่ หญ้ากินนี หญ้าขัน และหญ้าคา มีปริมาณเยื่อไช ADF ที่ร้อยละ 25.66, 27.46, 26.71 และ 37.36 และ มีปริมาณเยื่อไช NDF ที่ร้อยละ 55.29-72.72 จากนั้นทำการหมักหญ้าขันร่วมกับแบคทีเรียสายพันธุ์ *L. plantarum* 107, *P. pentosaceus* 115 และ *L. plantarum* 309 ที่ 10^6 CFU/g ของวัสดุหมัก เป็นเวลา 30 วัน ในสภาวะไร้ออกซิเจน ผลการศึกษา พบว่า หญ้าขันที่ปรับสภาพด้วยแบคทีเรียสายพันธุ์ *L. plantarum* 107 มีคุณภาพของหญ้าหมักดี โดยมีค่าวัตถุแห้ง ปริมาณเยื่อไช ADF และปริมาณเยื่อไช NDF อยู่ที่ร้อยละ 18.94, 20.86 และ 50.70 ตามลำดับ

จากการศึกษาศักยภาพในการผลิตก๊าซมีเทนจากการหมักร่วมระหว่างน้ำเสียจากสูตรและหญ้าขันหมักในระดับห้องปฏิบัติการ นำหญ้าขันที่ปรับสภาพด้วยเบคทีเรียสายพันธุ์ *L. plantarum* 107 จากนั้นศึกษาอัตราส่วนการหมักร่วมที่เหมาะสมโดยใช้ชุดการทดลองขนาด 1 ลิตร (ปริมาตรการหมัก 800 มิลลิลิตร) ระหว่างน้ำเสียจากสูตรและหญ้าขันหมักที่อัตราส่วน 50:50, 60:40 และ 70:30 วัดปริมาตรก๊าซที่เกิดขึ้นทุกวันจนสิ้นสุดปฏิกิริยา ผลการศึกษาพบว่า การหมักร่วมของเสียจากสูตรและหญ้าขันหมักที่อัตราส่วน 50:50, 60:40 และ 70:30 สิ้นสุดปฏิกิริยาการเกิดก๊าซที่ 36, 34 และ 31 วัน ซึ่งสามารถผลิตก๊าซมีเทนเท่ากับ 353.7, 349.1 และ 377.6 มิลลิลิตร CH₄/กรัม VS_{added} และมีศักยภาพในการย่อยสลายสารอินทรีย์ให้ก๊าซมีเทนที่ร้อยละ 41.24, 42.16 และ 42.64 ตามลำดับ จากการทดลองแสดงให้เห็นว่าการหมักร่วมระหว่างน้ำเสียจากสูตรและหญ้าขันหมักในอัตราส่วน 70:30 มีประสิทธิภาพในการผลิตก๊าซมีเทนสูงสุด และมีระยะในการหมักที่สั้นที่สุด

จากนั้นศึกษาประสิทธิภาพการผลิตก๊าซมีเทนระหว่างน้ำเสียจากฟาร์มสูกร่วมกับหญ้าขันหมักในสภาวะไร้ออกซิเจนโดยใช้อัตราส่วนที่ 70:30 ที่ระยะเวลาเก็บกัก 15, 20 และ 25 วัน ผลการศึกษาพบว่า ที่ระยะเวลาเก็บกักที่ 15, 20 และ 25 วัน มีประสิทธิภาพในการกำจัดค่าซีโอดีที่ร้อยละ 45.5, 37.3 และ 34.2 และประสิทธิภาพในการกำจัดค่าของเเพรงเรย่ง่ายที่ร้อยละ 47.3, 43.7 และ 43.4 ตามลำดับ ซึ่งมีค่าไม่แตกต่างกันทางสถิติ ($P>0.05$) เมื่อพิจารณาการผลิตก๊าซมีเทนพบว่า ที่ระยะเวลาเก็บกัก 15 วัน สามารถผลิตก๊าซมีเทนได้สูงสุดที่ 3,852 มิลลิลิตร CH₄/กรัม VS_{added} และที่ระยะเวลาเก็บกักที่ 20 และ 25 วัน ผลิตก๊าซมีเทนได้ที่ 3,540 และ 3,466 มิลลิลิตร CH₄/กรัม VS_{added} ตามลำดับ

Title	Study on Biogas Production from Co-Digestion of Grass Silage Mixed with Swine Waste
Author	Miss Rungtawan Pantawong
Degree of	Master of Science Program in Environmental Technology
Advisory Committee Chairperson	Assistant Professor Dr. Tapana Cheunbarn

ABSTRACT

In this study, lactic acid bacteria (LAB) were isolated from northern Thai traditional fermented foods and grass silage using MRS and M17 agar as selective media. A total of 137 isolated LAB were obtained. Growth and lactic acid production of bacterial isolates were investigated in grass extract medium at an initial quantity of 10^4 CFU/ml of LAB which were then inoculated in grass extract broth at an anaerobic condition of 37 °C for 48 h. Bacterial growth was measured by optical density at 600 nm and using standard titration method. Results indicated that 11 LAB isolates showed satisfactory growth in grass extract (OD 0.5-0.6) by producing 1.7-2.1% of lactic acid. These bacterial isolates were then identified by base sequencing of their 16S rRNA genes and were found that they belong to 3 genera comprising of 4 species: *Enterococcus gallinarum*, *Lactobacillus plantarum*, *Lactobacillus brevis* and *Pediococcus pentosaceus*. From these, 3 isolates were selected for further study.

From the laboratory chemical analysis using *Brachiaria ruziziensis* (BR), *Panicum maximum* (PM), *Brachiaria mutica* (BM) and *Imperata Cylindrical Beauv* (IB), it was found that BM with 25.67% dry matter, was considered suitable for fermentation, Meanwhile, dry matter content of BR, PM and IB were shown at 24.72, 22.72 and 31.75 %, respectively, ADF of 25.66, 27.46, 26.71 and 37.36%, were obtained from BR, PM, BM and IB, respectively, while their NDF content was found to range from 55.29-72.72%. BM was then fermented with addition of *L. plantarum* 107, *P. pentosaceus* 115 and *L. plantarum* 309 as bacterial inoculum (10^6 CFU/ g fresh plants) at 30 days in an anaerobic condition. Results showed that BM with strain of *L. plantarum* 107 gave the best quality silage with dry matter content ADF and NDF at 18.94, 20.86 and 50.70, respectively.

Production properties of *L. plantarum* 107 silage was then investigated for methane production potential using a combination of swine waste (SW) and *Brachiaria mutica* (BM) silage in laboratory-scale. The appropriate co-digestion ratio between SW: BM silage was studied in 1L bioreactor (working volume of 800 ml) with ratio 50:50, 60:40 and 70:30. Methane volume produced from each digester was measured daily until the reaction was terminated. Results indicated that co-digestion ratios of SW: BM silage were completed at 36, 34 and 31 days, with highest specific methane yields of 353.7, 349.1 and 377.6 ml CH₄ /g VS_{added}, respectively, with biochemical methane potential (BMP) at 41.24%, 42.16% and 42.64%, respectively. This study showed that 70:30 SW: BM silage ratio provided the highest efficient production of methane yield at the shortest digestion time.

Afterwards, the study on the efficiency of methane production using 70:30 ratio of SW: BM silage of SW and BM silage in an anaerobic condition at hydraulic retention time (HRT): 15, 20 and 25 days period, was conducted. Results showed that COD removal efficiency was at 45.5, 37.3 and 34.2%, respectively, while VS removal efficiencies at 47.3, 43.7 and 43.4%, respectively. No statistical difference ($P>0.05$) was found when considering the rates of methane production, but results showed that at HRT 15 days, highest methane gas was produced at $3,852\pm47.4$ CH₄/g VS_{added} and at HRT 20 and 25 days, methane gas yields were $3,540\pm31.4$ and $3,466\pm30.7$ ml CH₄/g VS_{added}, respectively.

กิตติกรรมประกาศ

ข้าพเจ้าขอกราบขอบพระคุณ ผู้ช่วยศาสตราจารย์ ดร.สุปัน ชื่นบาล อาจารย์ที่ปรึกษาหลัก ผู้ช่วยศาสตราจารย์ ดร.ศิริกรณ์ ชื่นบาล และอาจารย์ ดร.ศรีกาญจนा คล้ายเรือง อาจารย์ที่ปรึกษาร่วม ที่ได้กรุณาให้คำปรึกษา แนะนำการทำวิจัยครั้งนี้ ให้สำเร็จลุล่วงไปด้วยดี ตลอดจนช่วยแก้ไขข้อบกพร่องของวิทยานิพนธ์ให้มีความสมบูรณ์ยิ่งขึ้น

ขอขอบคุณเจ้าหน้าที่ประจำห้องปฏิบัติการ สาขาวเทคโนโลยีสิ่งแวดล้อม และสาขา เทคโนโลยีชีวภาพ คณะวิทยาศาสตร์ มหาวิทยาลัยแม่โจ้ ที่ช่วยอำนวยความสะดวกในด้านสถานที่ อุปกรณ์ และเครื่องวิทยาศาสตร์ที่ใช้ในการทำวิจัย ตลอดจนนักศึกษาทุกคนในห้องปฏิบัติการ สิ่งแวดล้อม ที่ให้ความช่วยเหลือในงานวิจัยครั้งนี้

ขอขอบคุณ คณะสัตวศาสตร์และเทคโนโลยี มหาวิทยาลัยแม่โจ้ ในการอนุมัตระห์ น้ำเสียงจากฟาร์มสุกร และคุณแดง พรหมมินทร์ เจ้าของฟาร์มสุกร ในการอนุมัตระห์ตະกอนจากบ่อ หมักแบบไรีอากาศ

ท้ายที่สุดนี้ขอกราบขอบพระคุณ บิดา มารดา ที่เคยอบรมสั่งสอน เป็นกำลังใจ ตลอดจนสนับสนุนทุนการศึกษาแก่ข้าพเจ้าเสมอมา

รังตะวัน ปันทะวงศ์

สิงหาคม 2558

สารบัญ

	หน้า
บทคัดย่อ	(3)
ABSTRACT	(5)
กิตติกรรมประกาศ	(7)
สารบัญ	(8)
สารบัญตาราง	(10)
สารบัญภาพ	(11)
สารบัญตารางผนวก	(13)
สารบัญภาพผนวก	(14)
อักษรย่อ	(15)
บทที่ 1 บทนำ	1
ความสำคัญของปัจจุบัน	1
วัตถุประสงค์ของการวิจัย	2
ประโยชน์ที่คาดว่าจะได้รับ	2
บทที่ 2 การตรวจเอกสาร	3
กระบวนการเกิดก้าชาชีวภาพ	3
กระบวนการการย่อยสลายในสภาพไร้ออกซิเจน	4
การหมักร่วม	12
หมักหมัก	14
การเลี้ยงสุกรในประเทศไทย	19
ลักษณะน้ำเสียจากฟาร์มสุกร	21
บทที่ 3 อุปกรณ์และวิธีการวิจัย	25
อุปกรณ์ในการวิจัย	25
วิธีการดำเนินการวิจัย	30
บทที่ 4 ผลและอภิปรายผลการทดลอง	40
ผลการแยกเชื้อแบคทีเรียกรดแอลกอฮอลิก	40

หน้า

ผลการทดสอบการเจริญ และการผลิตกรดของแบคทีเรียกรดแอลกอติก ในน้ำหล่อสักด้วยการจำแนกสายพันธุ์ของเชื้อแบคทีเรียกรดแอลกอติกโดยการลำดับเบส ในส่วนของยีน 16S rRNA	45
ผลการคัดเลือกหญ้าที่ใช้ในการหมัก	55
ผลของหญ้าหมักในระดับห้องปฏิบัติการ	56
ผลการทดลอง BMP Test	59
ผลของระยะเวลาการเก็บตัวอย่างต่อประสิทธิภาพในการผลิตก้าชมีเทน	62
บทที่ 5 สรุปผลการวิจัย และข้อเสนอแนะ	77
สรุปผลการวิจัย	77
ข้อเสนอแนะ	79
บรรณานุกรม	80
ภาคผนวก	88
ภาคผนวก ก ผลการทดสอบแบคทีเรีย และการเตรียมน้ำหล่อสักด้วยการจำแนกสายพันธุ์ของเชื้อแบคทีเรียโดยการเข้ารหัสดีเอ็นเอในส่วนของยีน 16s rRNA ของแบคทีเรียเมื่อเทียบกับ GenBank database	89
ภาคผนวก ข ลำดับเบสดีเอ็นเอในส่วนของยีน 16s rRNA ของแบคทีเรียเมื่อเทียบกับ GenBank database	96
ภาคผนวก ค กราฟมาตรฐาน	103
ภาคผนวก ง ประวัติผู้วิจัย	114

สารบัญตาราง

ตาราง	หน้า
1 ความเข้มข้นและยับยั้งของไอออนประจุบวกของโลหะเบา	9
2 ระดับความเป็นพิษของโลหะหนักในการย่อยสลายภายในตัวสกัด ไวร์ออกซิเจน	10
3 แบคทีเรียแผลติกที่พบในหญ้าหมัก	15
4 อัตราการเกิดน้ำเสียและลักษณะสมบัติของน้ำเสียจากฟาร์มสุกร จำแนกตามขนาดฟาร์ม	20
5 ปริมาณน้ำเสียที่เกิดขึ้นตามกิจกรรมการก่อให้เกิดน้ำเสียของฟาร์มสุกร แต่ละประเภท	21
6 ปริมาณสิ่งขับถ่ายจากสุกรระยะต่างๆ เนลี่ยต่อตัวต่อวัน	22
7 มาตรฐานน้ำทึ่งจากฟาร์มสุกร	22
8 พารามิเตอร์ที่ทำการวิเคราะห์	39
9 จำนวนเชื้อแบคทีเรียแผลติกที่แยกได้จากอาหารหมักพื้นเมือง และพืชอาหารสัตว์ในเขตจังหวัดเชียงใหม่	42
10 ประสิทธิภาพการเจริญ และการผลิตกรดแผลติกของแบคทีเรียกรดแผลติก	48
11 การจัดจำแนกแบคทีเรียกรดแผลติก โดยการหาลำดับเนสของ DNA ในส่วนของยีน 16S rRNA	55
12 องค์ประกอบทางเคมีของหญ้า	56
13 องค์ประกอบทางเคมีของหญ้าชนหมัก	58
14 ลักษณะเบื้องต้นของน้ำเสียจากฟาร์มสุกรและหญ้าชนหมัก	59
15 ค่าพารามิเตอร์การหมักร่วมที่อัตราส่วนต่างๆ	61
16 ความสัมพันธ์ของอัตราการเติมน้ำเสียและระยะเวลาකักเก็บน้ำ ที่ใช้ในการทดลอง	62
17 อัตราการผลิตก๊าซมีเทนของแต่ชุดการทดลอง	74

สารบัญภาพ

ภาพ	หน้า
1 กระบวนการย้อมสลายแบบไร้อากาศ	3
2 การย้อมสลายของไฟวูเวท	5
3 กระบวนการสร้างมีเทน	6
4 สรุปขั้นตอนการดำเนินการวิจัย	29
5 การหมักหญ้าในระดับห้องปฏิบัติการ	34
6 ชุดการทดลองที่ใช้ในการทดลอง	36
7 แบบจำลองของชุดการทดลอง	38
8 ตัวอย่างที่ใช้ในการคัดแยกเชื้อ	41
9 ลักษณะโคลโนนของแบคทีเรียกรดแอลกอติกที่แยกจากเหลืองต่างๆ	43
10 การจัดเรียงตัวของเซลล์ของแบคทีเรียกรดแอลกอติกที่แยกจากเหลืองต่างๆ	44
11 การเจริญของแบคทีเรียกรดแอลกอติกในสารสกัดจากหญ้าที่ OD _{600 nm}	45
12 จำนวนแบคทีเรียกรดแอลกอติกในน้ำหญ้าสกัด	46
13 การผลิตกรดแอลกอติกของแบคทีเรียกรดแอลกอติกที่ 48 ชั่วโมง	47
14 ขนาดของคีเอ็นเอ ที่ได้จากการทำ PCR ในส่วนของยีน 16S rRNA	49
15 ลำดับเบสของ DNA ในส่วนของยีน 16S rRNA ของแบคทีเรีย ไอโซเลต LGF 107	50
16 ลำดับเบสของ DNA ในส่วนของยีน 16S rRNA ของแบคทีเรีย ไอโซเลต LGF115	50
17 ลำดับเบสของ DNA ในส่วนของยีน 16S rRNA ของแบคทีเรีย ไอโซเลต LNF309	51
18 ลำดับชื่อของแบคทีเรียที่มีลำดับเบสคล้ายแบคทีเรีย ไอโซเลต LGF 107	52
19 ลำดับชื่อของแบคทีเรียที่มีลำดับเบสคล้ายแบคทีเรีย ไอโซเลต LGF115	53
20 ลำดับชื่อของแบคทีเรียที่มีลำดับเบสคล้ายแบคทีเรีย ไอโซเลต LKF 309	54
21 ปริมาณก๊าซมีเทนสะสมที่เกิดขึ้นทั้งหมดของแต่ละชุดการทดลอง	60
22 ค่าซีโอดีของน้ำเข้าและน้ำออกที่ระยะเวลาเก็บกักต่างๆ	63
23 ค่าซีโอดีกรองของน้ำเข้าและน้ำออกที่ระยะเวลาเก็บกักต่างๆ	64
24 ค่าของเงี้งทั้งหมดของน้ำเข้าและน้ำออกที่ระยะเวลาเก็บกักต่างๆ	65

ภาพ	หน้า
25 ค่าของแข็งแรงของน้ำเข้าและน้ำออกที่ระยะเวลาเก็บกักต่างๆ	66
26 ปริมาณกรดอะซิติกของน้ำออกที่ระยะเวลาเก็บกักต่างๆ	67
27 ปริมาณกรดโพร์พิโอนิกของน้ำออกที่ระยะเวลาเก็บกักต่างๆ	68
28 ปริมาณกรดบิวทีริกของน้ำออกที่ระยะเวลาเก็บกักต่างๆ	69
29 การเปลี่ยนแปลงค่าสภาพค่าคงของน้ำออกที่ระยะเวลาเก็บกักต่างๆ	70
30 การเปลี่ยนแปลงค่าพีอ่อนของน้ำออกที่ระยะเวลาเก็บกักต่างๆ	71
31 การเปลี่ยนแปลงค่าแอมโมเนีย-ในไตรเจนของน้ำออกที่ระยะเวลา เก็บกักต่างๆ	72
32 การเปลี่ยนแปลงค่าในไตรเจนทั้งหมดของน้ำออกที่ระยะเวลาเก็บกักต่างๆ	73
33 ปริมาณก้าซมีเทนที่ระยะเวลาเก็บกักที่ต่างกัน	74
34 ปริมาณก้าซมีเทนต่อกรัมของแข็งแรง	75

สารบัญตารางผนวก

ตารางผนวก		หน้า
1	ผลการทดสอบลักษณะของแบคทีเรียกรดแลคติกที่แยกได้จากแหล่งต่างๆ	90
2	ปริมาณกรดไขมันระเหยเฉลี่ยของการหมักร่วมระหว่างน้ำเสียจากฟาร์มสุกรและหญ้าขันหมัก	105
3	ผลวิเคราะห์คุณสมบัติทางเคมีของน้ำเข้าระบบ	107
4	ผลวิเคราะห์คุณสมบัติทางเคมีของน้ำที่ผ่านการทำบัดที่ระยะเวลา กักเก็บ 15 วัน	108
5	ผลวิเคราะห์คุณสมบัติทางเคมีของน้ำที่ผ่านการทำบัดที่ระยะเวลา กักเก็บ 20 วัน	109
6	ผลวิเคราะห์คุณสมบัติทางเคมีของน้ำที่ผ่านการทำบัดที่ระยะเวลา กักเก็บ 25 วัน	110
7	ข้อมูลปริมาณก้าชชีวภาพ และสัดส่วนก้าชมีเทนที่ระยะเวลา กักเก็บ 15 วัน	111
8	ข้อมูลปริมาณก้าชชีวภาพ และสัดส่วนก้าชมีเทนที่ระยะเวลา กักเก็บ 20 วัน	112
9	ข้อมูลปริมาณก้าชชีวภาพ และสัดส่วนก้าชมีเทนที่ระยะเวลา กักเก็บ 25 วัน	113

สารบัญภาพพนวก

ภาพพนวก	หน้า
1 ขั้นตอนการเตรียมน้ำหอยสักด้วยวิธีการต้มในน้ำซึ่งมีส่วนผสมของน้ำมันมะพร้าวและน้ำปลาทู ก่อนนำไปต้มในกาต้มน้ำอุ่น	95
2 ลำดับเบสของดีเอ็นเอบน acidic-prime 840 คู่เบส ในส่วนของยีน 16 s rRNA ของแบคทีเรียไฮโซเลต LGF 106	97
3 ชื่อของแบคทีเรียที่มีลำดับเบสคล้ายแบคทีเรียไฮโซเลต LGF 106	97
4 ลำดับเบสของดีเอ็นเอบน acidic-prime 840 คู่เบส ในส่วนของยีน 16 s rRNA ของแบคทีเรียไฮโซเลต LGF 2	98
5 ชื่อของแบคทีเรียที่มีลำดับเบสคล้ายแบคทีเรียไฮโซเลต LGF 2	98
6 ลำดับเบสของดีเอ็นเอบน acidic-prime 840 คู่เบส ในส่วนของยีน 16 s rRNA ของแบคทีเรียไฮโซเลต LGF 101	99
7 ชื่อของแบคทีเรียที่มีลำดับเบสคล้ายแบคทีเรียไฮโซเลต LGF 101	99
8 ลำดับเบสของดีเอ็นเอบน acidic-prime 840 คู่เบส ในส่วนของยีน 16 s rRNA ของแบคทีเรียไฮโซเลต LKF 207	100
9 ชื่อของแบคทีเรียที่มีลำดับเบสคล้ายแบคทีเรียไฮโซเลต LKF 207	100
10 ลำดับเบสของดีเอ็นเอบน acidic-prime 840 คู่เบส ในส่วนของยีน 16 s rRNA ของแบคทีเรียไฮโซเลต LGF 108	101
11 ชื่อของแบคทีเรียที่มีลำดับเบสคล้ายแบคทีเรียไฮโซเลต LKF 108	101
12 กราฟมาตราฐานการหาความเข้มข้นของกรดอะซิติก	103
13 กราฟมาตราฐานการหาความเข้มข้นของโพร์พิโอนิก	103
14 กราฟมาตราฐานการหาความเข้มข้นของบิวท์ริก	104

อักษรย่อ

อักษรย่อ	ย่อมาจาก	ความหมาย
AD	Anaerobic digestion	การย่อยสลายแบบไร้ออกซิเจน
ADF	Acid Detergent Fiber	เยื่อใยที่ละลายได้ในสารละลายที่เป็นกรด
Alk	Alkalinity	สภาพด่างของสารละลายใด ๆ คือ ความสามารถของสารละลายนั้นในการรับประตอน
AS	Activated Sludg	ตะกอนที่มีจุลินทรีย์ซึ่งเลี้ยงไว้ในถังเติมอากาศ
BMP	Biochemical Methane Potential	อัตราการผลิตก๊าซมีเทน
CF	Crude Fiber	เยื่อใบพยาบาล
CFU	Colony forming unit	หน่วยที่ได้จากการวิธีตรวจนับปริมาณจุลินทรีย์
COD	Chemical oxygen demand	ปริมาณออกซิเจนทั้งหมดที่ต้องการใช้เพื่อออกซิเดชันสารอินทรีย์ในน้ำให้เป็นสารบอนไดออกไซด์และน้ำ
CP	Crude Protein	โปรตีนพยาบาล
DM	Dry Matter	วัตถุแห้ง
DNA	Deoxyribonucleic Acid	ชื่อย่อของสารพันธุกรรม มีชื่อแบบเต็มว่า กรรมดีออกซีไรโนนิวคลีอิก
EE	Ether Extract	ไขมันพยาบาล
HRT	Hydraulic Retention Time	ระยะเวลาเก็บกัก
LAB	Lactic Acid Bacteria	แบคทีเรียกรดแลคติก
SRT	Solid Retention Time	ระยะเวลาที่จุลินทรีย์อยู่ในระบบ
NDF	Neutral Detergent Fiber	เยื่อใยที่ละลายได้ในสารละลายที่เป็นกลาง
NH ₃ -N	ammonia-nitrogen	ปริมาณแอนโนเนียม-ไนโตรเจนในน้ำ
RNA	Ribonucleic Acid	สารพอลิเมอร์ของนิวคลีโอไทด์
SCOD	Soluble Chemical oxygen demand	ชีโอดีที่ละลายนำได้
SMY	Specific Methane Yield	ปริมาณก๊าซมีเทนสะสมทั้งหมด

อักษรย่อ	ย่อมาจาก	ความหมาย
SS	Suspended Solids	ส่วนที่ไม่ละลายในน้ำแต่มีขนาดเล็กพอดีจะแขวนล่อง (suspend) อยู่ในน้ำได้
PCR	Polymerase Chain Reaction	กระบวนการในการสังเคราะห์ชิ้นส่วนของดีเอ็นเอ
TA	Total Acidity	ปริมาณกรดทั้งหมด
TP	Total Phosphorus	ปริมาณฟอสฟอรัสทั้งหมด
TKN	Total Kjeldahl Nitrogen	ในต่อเจนที่เป็นสารอินทรีย์และ ammonium ในต่อเจน
TOC	Total Organic Carbon	ปริมาณการบ่อนที่มีอยู่ในน้ำประกอบด้วยอนินทรีย์คาร์บอน
TS	Total Solid	ปริมาณของแข็งในน้ำ สามารถคำนวณจาก การระเหยน้ำออก
OLR	Organic Loading Rate	อัตราการป้อนสารอินทรีย์
VS	Volatile Solids	ของแข็งที่สามารถเผาที่อุณหภูมิ 550-600° C ซึ่งส่วนใหญ่จะเป็นสารประกอบอินทรีย์กล้ายเป็น CO_2 และ H_2O

บทที่ 1

บทนำ

ความสำคัญของปัจจัย

ปัจจุบันความต้องการใช้พลังงานมีเพิ่มมากขึ้น แต่พลังงานจากแหล่งอื่นๆ มีปริมาณน้อย จึงทำให้มีการคิดค้นและนำพลังงานจากแหล่งต่างๆ มาใช้ทดแทน คือ พลังงานจากชีวมวลซึ่งเป็นพลังงานทางเลือกรูปแบบหนึ่ง โดยอาศัยเทคโนโลยีจากการผลิตกําชีวภาพ และในปัจจุบันกำลังได้รับความสนใจอย่างกว้างขวาง เนื่องจากช่วยเพิ่มปริมาณพลังงานทดแทน ให้กับประเทศไทย และยังช่วยลดปริมาณเชื้อเพลิงที่นำเข้าจากต่างประเทศได้สูง ซึ่งทำให้ทุกประเทศหัวใจให้ความสนใจ โดยการนำวัตถุคิบเหลือใช้มาตามชุมชนหรือบ้านเรือนนำกลับมาใช้ให้ก่อประโยชน์

ดังเดต่อเดือนถึงปัจจุบัน ฟาร์มสุกรในประเทศไทยสามารถผลิตกําชีวภาพจากของเสียที่เกิดขึ้นมาใช้ภายในฟาร์ม แต่เนื่องจากพลังงานทดแทนที่ผลิตได้จากระบบกําชีวภาพของแต่ละฟาร์มมีศักยภาพในการผลิตกําชีวภาพที่ไม่เพียงพอ จึงมีความจำเป็นที่ต้องใช้สารอินทรีย์อื่นๆ มาทำการหมักร่วม (Co-Digestion) โดยการนำวัตถุคิบสองชนิดหรือมากกว่ามาทำการหมัก ซึ่งวัตถุคิบหมักหลักจะเป็นพอกมูลสัตว์หรือการตะกอน และวัตถุคิบหมักรองเป็นพอกที่มีเส้นใยในปริมาณสูง

การนำวัตถุคิบรอง เช่น วัชพืช ของเหลือจากการเกษตร ของเหลือจากอุตสาหกรรม เศษอาหาร เป็นต้น มาใช้เป็นสารอินทรีย์ในการหมักร่วม ควรมีการปรับสภาพเบื้องต้น เพื่อทำให้เส้นใยของวัตถุคิบหมักรองย่อยสลายได้่ายขึ้น โดยอาศัยการทำงานของจุลินทรีย์ภายในวัตถุคิบ หรือ anaerobic condition เพื่อช่วยให้เกิดกระบวนการหมัก นอกจากนี้ยังช่วยรักษาคุณภาพของวัตถุคิบ เพื่อใช้ในช่วงที่ขาดแคลน ซึ่งการหมักระหว่างวัตถุคิบหมักหลักร่วมกับวัตถุคิบรองจะช่วยลดขั้นตอนของการหมัก โดยมีระยะเวลาการหมักที่สั้น และสามารถผลิตกําชีวภาพได้อย่างมีประสิทธิภาพ

กําชีวภาพที่ผลิตได้จากการหมักร่วมเพื่อนำมาเป็นพลังงานทดแทนเป็นอีกทางเลือกหนึ่งที่ปัจจุบันมีการทำวิจัยอย่างแพร่หลายในประเทศไทยหัวใจ โลก เนื่องจากเป็นพลังงานที่มีประสิทธิภาพสูงสามารถผลิตได้จากชีวมวล และสารอินทรีย์หลากหลายชนิด ทำให้กําชีวภาพที่ผลิตได้จากการหมักร่วมถูกจัดเป็นพลังงานหมุนเวียน และสามารถใช้เป็นเชื้อเพลิงในรูปของ

พัฒนาทดสอบในรูปต่างๆ ได้ เช่น พัฒนาความร้อน พัฒนาไฟฟ้า เป็นต้น และเป็นการจัดการของเสียงได้อีกทางหนึ่งด้วย

ดังนั้นงานวิจัยนี้จึงได้มีการปรับสภาพญี่ปุ่นเบื้องต้น โดยอาศัยกิจกรรมของแบคทีเรียกรดแลคติกภายในได้สภาวะไรroxanthene เพื่อลดปริมาณเส้นใยของหญ้าให้มีปริมาณลดลง และช่วยให้มีระยะเวลาการหมักที่สั้น เพื่ออัตราส่วนการหมักระหว่างน้ำเสียจากฟาร์มสุกรร่วมกับหญ้าหมักที่เหมาะสม ต่อศักยภาพผลิตก้าชีวภาพอย่างมีประสิทธิภาพ

วัตถุประสงค์ของการวิจัย

1. เพื่อดีอกแบคทีเรียกรดแลคติกที่เหมาะสมต่อการหมักหญ้า
2. เพื่อศึกษาผลของอัตราส่วนการหมักระหว่างน้ำเสียจากฟาร์มสุกรร่วมกับหญ้าหมักต่อศักยภาพการผลิตก้าชีมีเทน
3. เพื่อศึกษาระยะเวลาเก็บกักที่มีผลต่อประสิทธิภาพในการผลิตก้าชีมีเทนระหว่างน้ำเสียจากฟาร์มสุกรร่วมกับหญ้าหมัก

ประโยชน์ที่คาดว่าจะได้รับ

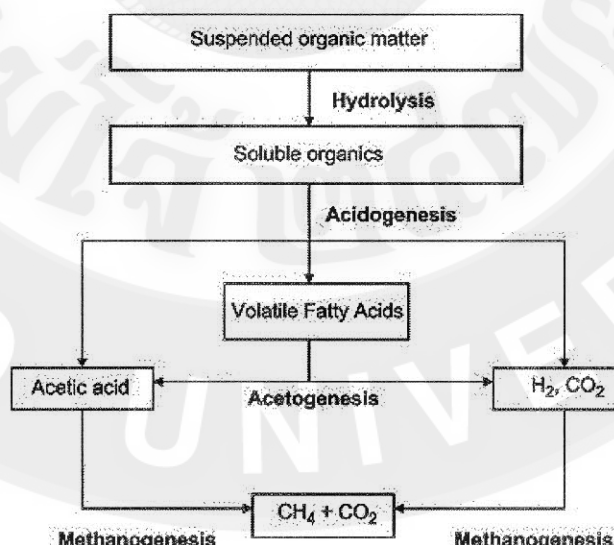
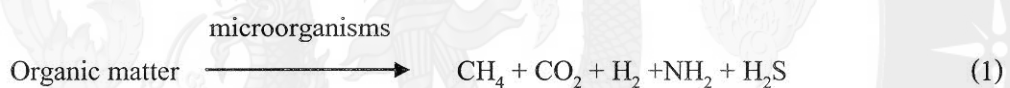
1. ได้แบคทีเรียกรดแลคติกที่มีประสิทธิภาพ และมีความเหมาะสมต่อการหมักหญ้า
2. สามารถผลิตก้าชีวภาพจากหญ้าหมักร่วมกับน้ำเสียจากฟาร์มสุกร ได้ ลดค่าใช้จ่ายในการบำบัดน้ำเสีย
3. ใช้เป็นแนวทางสำหรับการส่งเสริมการผลิตก้าชีวภาพ โดยใช้วัตถุคิดเห็นของเสียจากฟาร์มในระดับครัวเรือนและระดับชุมชน

บทที่ 2

การตรวจเอกสาร

กระบวนการเกิดก๊าซชีวภาพ

ก๊าซชีวภาพ (Biogas) คือ ก๊าซที่เกิดขึ้นจากการบวนย่อยสลายสารอินทรีย์ภายในสภาวะไร้ออกซิเจนด้วยแบคทีเรีย 2 กลุ่ม คือ แบคทีเรียผลิตกรด (Acid Forming Bacteria) และ แบคทีเรียผลิตมีเทน (Methane Forming Bacteria) โดยแบคทีเรียกลุ่มผลิตกรดจะทำการย่อยสลายสารอินทรีย์ที่มีโครงสร้างไม่เลกูลให้เป็นสารไม่เลกูลขนาดเล็ก จากนั้นแบคทีเรียกลุ่มผลิตมีเทนจะใช้สารอินทรีย์ที่โครงสร้างไม่เลกูลเล็กเป็นสารอาหาร และย่อยสลายให้ผลิตเป็นก๊าซมีเทน (CH_4) และก๊าซคาร์บอนไดออกไซด์ (CO_2) โดยมีก๊าซอื่นๆ เกิดขึ้นเล็กน้อย เช่น ไฮโดรเจนซัลไฟด์ (H_2S) และก๊าซแอมโมเนียม (NH_3) เป็นต้น ซึ่งเป็นองค์ประกอบของก๊าซชีวภาพดังสมการ (1) และภาพ 1



ภาพ 1 กระบวนการย่อยสลายแบบไร้ออกซิเจน

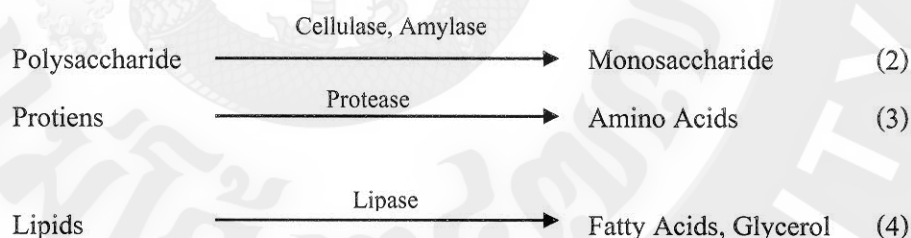
ที่มา Lise et al. (2008)

กระบวนการการย่อยสลายในสภาวะไร้ออกซิเจน

ระบบบำบัดน้ำเสียแบบไร้ออกซิเจน เป็นระบบที่มีความสำคัญต่อการบำบัดน้ำเสียที่มีปริมาณสารอินทรีย์ (Organic Matter) เข้มข้นสูง ภายในระบบจะมีการย่อยสลายสารอินทรีย์ในสภาวะไร้ออกซิเจนซึ่ง ประกอบด้วย การย่อยสลายหลายขั้นตอนที่มีความซับซ้อน โดยการทำงานร่วมกันของแบคทีเรียหลายกลุ่ม แต่ละกลุ่มนี้จะทำหน้าที่ต่างกันในแต่ละขั้นตอนของการย่อยสลาย เพื่อให้ได้ก๊าซชีวภาพซึ่งสามารถนำไปใช้เป็นแหล่งพลังงานได้

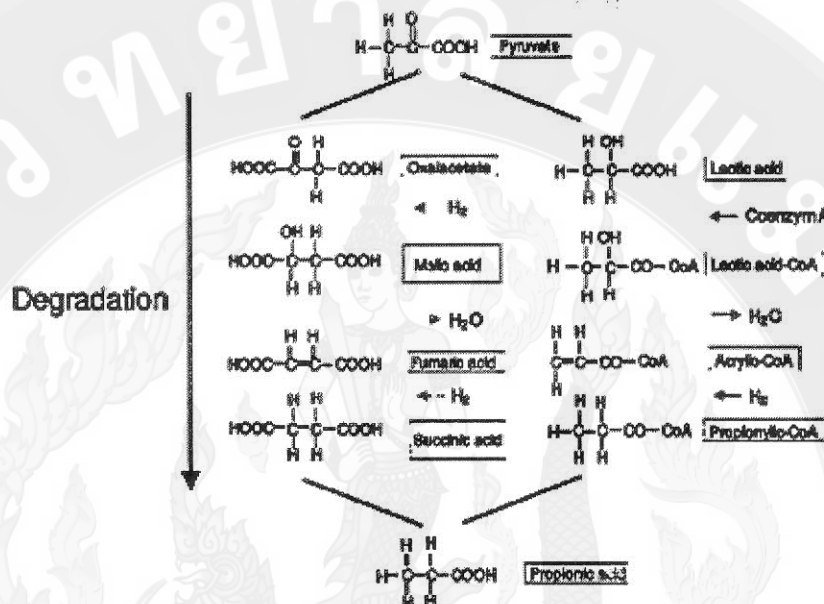
ขั้นตอนการย่อยสลายสารอินทรีย์แบบไร้ออกซิเจน

ขั้นตอนที่ 1 กระบวนการไฮโดรโลไซซิส (Hydrolysis) ในขั้นตอนนี้ สารอินทรีย์ไม่เลกุลใหญ่ ได้แก่ คาร์โบไฮเดรต โปรตีน และ ไขมัน จะถูกแบคทีเรียย่อยสลายให้กลไกสภาพเป็นสารอินทรีย์ไม่เลกุลเล็ก ความเร็วของการกระบวนการย่อยสลายขึ้นอยู่กับเอนไซม์ที่ถูกปล่อยออกมานอกแบคทีเรีย รวมถึงความเข้มข้นของสารอินทรีย์ ความเข้มข้นของเอนไซม์ อุณหภูมิ และการสัมผัสระหว่างเอนไซม์กับสารอินทรีย์ เป็นต้น ดังสมการ (2), (3) และ (4) (กรมควบคุมมลพิษ, 2546)



ขั้นตอนที่ 2 กระบวนการอะซิโอดีนิชิส (Acidogenesis) ในขั้นตอนนี้สารอินทรีย์ไม่เลกุลเล็กซึ่งเป็นสารผลิตภัณฑ์ของการย่อยในขั้นตอนแรก จะถูกเปลี่ยนให้เป็นกรดอินทรีย์ชนิดไม่เลกุลเล็ก เช่น กรดแลคติก (Lactic Acid) กรดอะซิติก (Acetic Acid) กรดโพโรโนนิก (Propionic Acid) และกรดวาเลอริก (Valeric Acid) โดยแบคทีเรียกลุ่มนี้ เรียกว่า แบคทีเรียกลุ่มผลิตกรด (Acid Forming Bacteria) ซึ่งชนิดของแบคทีเรียจะแตกต่างกันไปตามชนิดของสารอินทรีย์นั้นๆ ขั้นตอนต่อมากรดอินทรีย์จะหายใจที่เกิดขึ้นดังกล่าว จะถูกแบคทีเรียกลุ่มอะเซโตเจนิก (Acetogenic Bacteria) เปลี่ยนให้เป็นอะซิตेट ฟอร์เมต ก๊าซไฮโดรเจน และก๊าซคาร์บอนไดออกไซด์ ซึ่งเป็นสารประกอบที่สำคัญในการผลิตก๊าซมีเทน ปฏิกิริยานี้ถือเป็นสำคัญในการผลิต

กําชมีเทน (ภาพ 2) แบคทีเรียกลุ่มนี้อาจเรียกว่าแบคทีเรียกลุ่มผลิตไฮโดรเจน (Hydrogen Forming Bacteria) เนื่องจากแบคทีเรียกลุ่มนี้ไฮโดรเจนมักสร้างกรดอินทรี แต่ตัวที่ผลิตกรดแอลกอติกได้อาจไม่สามารถผลิตกําชไฮโดรเจนได้ จึงถือว่าแบคทีเรียกลุ่มผลิตไฮโดรเจนเป็นชนิดของแบคทีเรียกลุ่มผลิตกรดด้วย (กรมโรงงานอุตสาหกรรม, 2553)



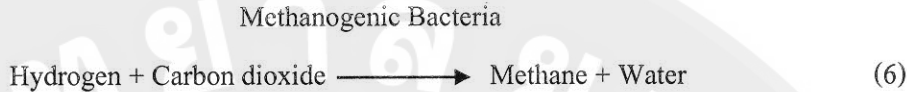
ภาพ 2 การขบยสลายของไฟฟูเรเวท
ที่มา Teodorita (2008)

ขั้นตอนที่ 4 กระบวนการสร้างมีเทน (Methanogenesis) ในกระบวนการสร้างกําชมีเทนจะสร้างจาก กรดอะซิติก กําชคาร์บอน ไดออกไซด์ (CO_2) และกําชไฮโดรเจน (H_2) ที่ได้จากกระบวนการสร้างกรด โดยแบคทีเรียสร้างมีเทน การสร้างกําชมีเทนมีได้ 2 แบบ คือ แบบแรกจะเกิดจากการเปลี่ยนกรดอะซิติกเป็นกําชมีเทน โดยปกติเป็นร้อยละ 70 ของกําชมีเทนที่เกิดขึ้นได้ในระบบ และอีกแบบหนึ่งเกิดจากการรวมตัวกันของกําชคาร์บอน ไดออกไซด์ และกําชไฮโดรเจนให้กลายเป็นกําชมีเทน

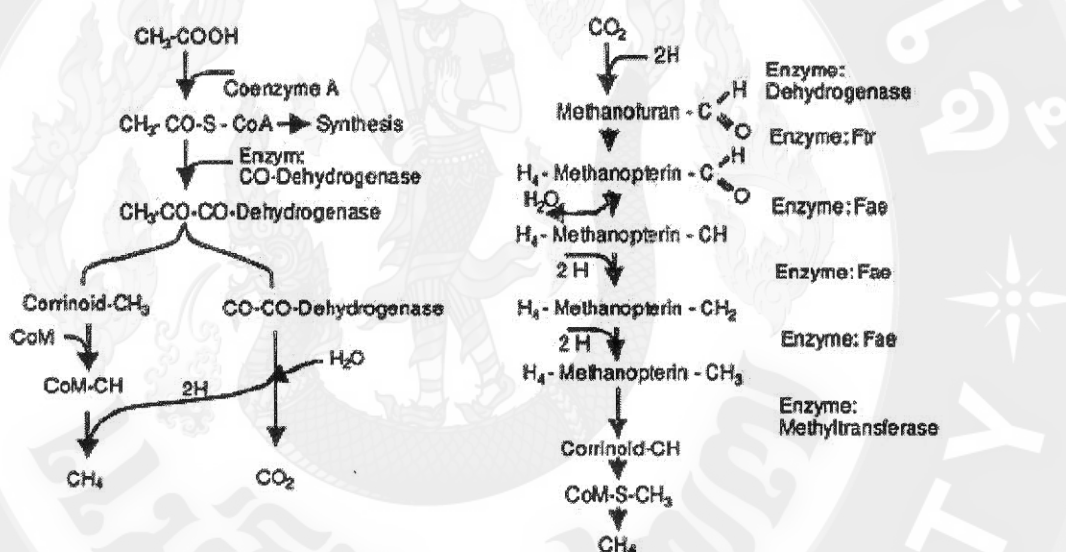
แบคทีเรียที่เป็นตัวสร้างกําชมีเทนจริงๆ เติบโตได้ช้า และสภาพแวดล้อมมีผลต่อการเจริญเติบโตค่อนข้างมาก ช่วงค่าพีเอชที่เหมาะสมต่อการทำงานของแบคทีเรีย โดยสามารถเจริญเติบโตได้ดีในช่วงพีเอชประมาณ 6.8-7.2 นอกจากนี้ อุณหภูมิก็มีผลต่ออัตราการเจริญเติบโต เช่นกัน อีกทั้งแบคทีเรียในกลุ่มนี้ต้องการสารอาหารที่โครงสร้างไม่ซับซ้อนในการดำรงชีพ ดังนั้น การเติบโตของแบคทีเรียที่เป็นตัวสร้างมีเทนจึงขึ้นอยู่กับการทำงานของแบคทีเรียในขั้นตอน

ไอโอดโรไลซีส และการสร้างกรด โดยแบคทีเรียทุกกลุ่มต้องทำงานอย่างสัมพันธ์กัน ดังสมการ (5) และ (6)

Methanogenic Bacteria



เมทานเจนิซิสเป็นขั้นตอนที่จำเป็นในกระบวนการย่อยสลายในสภาพแวดล้อม ประกอบด้วย ออกซิเจน และเป็นปฏิกิริยาทางชีวเคมีที่ซับซ้อนในกระบวนการ ดังแสดงในภาพ 3



ภาพ 3 กระบวนการสร้างมีเทน

ที่มา Teodorita (2008)

ปัจจัยที่มีผลต่อการย่อยสลายสารอินทรีย์ภายในสภาพแวดล้อม ไวroxออกซิเจน

เนื่องจากในกระบวนการย่อยสลายสารอินทรีย์ภายในสภาพแวดล้อม ไวroxออกซิเจนประกอบด้วย จุลินทรีย์ 2 กลุ่มที่เกี่ยวข้องกัน ได้แก่ แบคทีเรียที่ไม่สร้างก๊าซมีเทน และแบคทีเรียที่สร้างก๊าซมีเทน ดังนั้น จึงจำเป็นต้องรักษาสภาพแวดล้อมให้มีสภาพที่เหมาะสมที่จะทำให้จุลินทรีย์เหล่านี้อยู่ด้วยกัน ได้เป็นอย่างดี ในการที่จะควบคุมระบบให้ทำงานได้อย่างมีประสิทธิภาพจะต้องทำให้ จุลินทรีย์อยู่ในสภาพแวดล้อมที่ต้องการ ซึ่งขึ้นอยู่กับปัจจัย 2 ประการคือ ปัจจัยทางด้านสิ่งแวดล้อม และ ปัจจัยทางด้านการทำงาน

1. ปัจจัยทางด้านสิ่งแวดล้อม (Environmental Factor)

1.1 อุณหภูมิ

การย่อยสลายสารอินทรีย์ภายในได้สภาวะแบบ ไร้ออกซิเจน มีอุณหภูมิที่เหมาะสมอยู่ 2 ช่วงคือ อุณหภูมิระหว่าง 30-40 องศาเซลเซียส (Mesophilic Temperature) จุลินทรีย์ที่ทำงานในช่วงนี้เรียกว่า Mesophilic Bacteria และอุณหภูมิระหว่าง 50-60 องศาเซลเซียส (Thermophilic Temperature) จุลินทรีย์ที่ทำงานในช่วงนี้เรียกว่า Thermophilic Bacteria ในช่วง Thermophilic Temperature อัตราเร็วของปฏิกิริยาและประสิทธิภาพของระบบจะมากกว่าในช่วง Mesophilic Temperature สามารถทำให้ผลิตก๊าซชีวภาพได้มากที่ระยะเวลาอยู่สลายสันลง และลดปริมาณรังหมักลง แต่ระบบการหมักที่อุณหภูมิสูงมีข้อเสียคือ Thermophilic Bacteria ทนทานต่อการเปลี่ยนแปลงอุณหภูมิได้ไม่ดีเท่า Mesophilic Bacteria การควบคุมระบบจึงมีความเสี่ยงสูง ต่อการล้มเหลวของระบบ และยังต้องเปลี่ยนพัดลมงานในการควบคุมอุณหภูมิของระบบอีกด้วย

1.2 พีเอช

พีเอชเป็นปัจจัยที่สำคัญของระบบการย่อยสลายสารอินทรีย์ภายในได้สภาวะแบบ ไร้ออกซิเจน ที่ต้องรักษาให้อยู่ในช่วงที่เหมาะสมประมาณ 6.5-7.5 ถ้าค่าพีเอชนี้ค่าสูงหรือต่ำกว่านี้ประสิทธิภาพของระบบจะลดลงและถ้าพีเอชนี้ต่ำกว่า 6.2 ประสิทธิภาพของระบบจะลดลง ต่ำอย่างรวดเร็ว เพราะที่สภาวะนี้จะเป็นอันตรายต่อบækที่เรียกว่าที่สร้างก๊าซมีเทน เนื่องจากแบคทีเรียเหล่านี้ใช้กรดไฮมันระเหยไม่ทัน ทำให้ปริมาณกรดไฮมันระเหยถูกสะสมมากขึ้นพีเอชจึงต่ำลงอย่างรวดเร็ว ถ้าพีเอชลดต่ำลงถึง 4.5-5.0 จะทำให้ Methanogenic Bacteria หยุดการทำงาน หรือเติบโตซึ่งสามารถป้องกันได้โดยการเติมสารเคมีพวกค่างค่างๆ ลงไป เช่น ปูนขาว (CaO) โซเดียมไบคาร์บอนเนต (NaHCO_3) โซเดียมไฮดรอกไซด์ (NaOH) และโซเดียมคาร์บอนเนต (Na_2CO_3) เป็นต้น หรืออาจจะลดปริมาณสารอินทรีย์ที่เข้าระบบลง ในการใช้ค่างแก่หรือการบ่อนบนตัวรับสภาพจะทำให้การบ่อนไดออกไซด์ที่ละลายน้ำเกิดสมดุลชั่วคราว เนื่องจากในการบ่อนไดออกไซด์ในบรรยากาศถูกดึงเข้าไปทดแทนการบ่อนไดออกไซด์ในน้ำเพื่อสร้างด่าง ใบการบ่อนบนทำให้พีเอชเพิ่มขึ้น แต่เมื่อแบคทีเรียพวกสร้างก๊าซคาร์บอนไดออกไซด์มานแทนที่จะทำให้จุดสมดุลเคลื่อนไปจนกระทั่งการบ่อนไดออกไซด์ที่ละลายน้ำในน้ำสมดุลกับการบ่อนไดออกไซด์ในบรรยากาศ (Diaz et al., 1995)

ดังนั้นค่าพีเอชที่เหมาะสมภายในระบบบำบัดจึงเป็นช่วงของค่าพีเอชที่เหมาะสมของจุลินทรีย์ทั้ง 2 กลุ่มคือ มีค่าพีเอชอยู่ในช่วง 6.6-7.4 หากค่าพีเอชต่ำกว่านี้ ประสิทธิภาพของระบบบำบัดจะลดลง เนื่องจากในสภาวะที่เป็นกรดหรือด่างจะเป็นอันตรายต่อจุลินทรีย์

1.3 กรณีมันระเหย

กรณีมันระเหย เช่น กรณีอะซิติก กรณีบิวท์ริก กรณีโพธิโอนิก กรณีฟอร์นิก หากพบว่ามีการสะสมของกรณีมันระเหยในระบบอยู่มาก นักเป็นสัญญาณเตือนถึงความล้มเหลวของระบบบำบัด เนื่องจากกรณีเหล่านี้เป็นผลิตภัณฑ์สารตัวกลางที่เกิดขึ้นในกระบวนการย่อยสลายสารอินทรีย์ในสภาพแวดล้อม ระบบที่มีกรณีมันระเหยสะสมในปริมาณมาก ในช่วงแรกกรณีมันระเหยจะมีผลทำให้ความเป็นด่างของระบบลดลง ต่อมาก็จะไม่มีการใช้หรือกำจัดกรณีมันระเหยให้มีปริมาณลดน้อยลง ค่าพีเอยูของระบบจะต่ำลง และถ้าค่าพีเอยูต่ำกว่า 6.6 จะเป็นอันตรายต่อจุลินทรีย์กลุ่มผลิตภัณฑ์มีเทน

ถ้าระบบล้มเหลว เนื่องจากมีความเข้มข้นของกรณีมันระเหยสูงในระบบสูง วิธีการแก้ไขที่ดีที่สุดเพื่อให้ระบบกลับมาทำงานได้อีกมีประสาทิชภาพ คือ หยุดป้อนน้ำเสียเข้าสู่ระบบ จนกระทั่งความเข้มข้นของกรณีมันระเหยจะลดลงมาอยู่ในระดับปกติ แล้วจึงค่อยป้อนน้ำเสียเข้าสู่ระบบอีกครั้ง

1.4 สารอาหาร

สารอาหารแบ่งออกเป็น 2 ชนิด คือสารอาหารหลัก ได้แก่ คาร์บอน (C) ในไตรเจน (N) พอสฟอรัส (P) กำมะถัน (S) และสารอาหารรอง ได้แก่ แคลเซียม (Ca) แมกนีเซียม (Mg) สังกะสี (Zn) แมงกานีส (Mn) ทองแดง (Cu) โคบล็อก (Co) เหล็ก (Fe) นิกเกิล (Ni) ปริมาณไนโตรเจน และพอสฟอรัสที่จุลินทรีย์ต้องการในการย่อยสลายอินทรีย์ภายในได้สภาวะไร์ออกซิเจน จะมีอัตราส่วน BOD:N:P เท่ากับ 100:1.1:0.2 โดยใช้การบ่อนในการสังเคราะห์พลังงาน ในไตรเจน ในการสังเคราะห์โปรตีน และพอสฟอรัสในการสังเคราะห์ กรณีนิวคลิโอิก

1.5 สารพิษ

สารบางอย่างถ้ามีความเข้มข้นสูงเกินไปจะเป็นพิษต่อจุลินทรีย์ได้ ซึ่งระดับความเป็นพิษจะขึ้นอยู่กับชนิดและปริมาณของสารพิษ ได้แก่

1.5.1 ไอออนประจุบวกของโลหะเบา (Light Metal Cation)

ไอออนประจุบวกของโลหะเบา ได้แก่ โซเดียม (Na^+) โพแทสเซียม (K^+) แคลเซียม (Ca^+) และแมกนีเซียม (Mg^+) ซึ่งเกิดขึ้นจากการย่อยสลายสารอินทรีย์หรือการเติมสารเคมีเพื่อปรับพีเอยูในระบบ จะมีผลเป็นพิษต่อจุลินทรีย์ซึ่งความเป็นพิษของมันเป็นปฏิกิริยาที่ซับซ้อน และขึ้นอยู่กับปริมาณของไอออนประจุบวกของโลหะเบาด้วยว่ามีปริมาณมากน้อยเท่าใดแสดงดังตาราง 1 (Mc Carty., 1991)

ตาราง 1 ความเข้มข้นและยับยั้งของไอออนประจุบวกของโลหะเบา

ไอออนประจุบวก	ความเข้มข้น (มิลลิกรัม/ลิตร)		
	กราดตื้น	เริ่มยับยั้ง	ยับยั้งอย่างรุนแรง
โซเดียม (Na^+)	100-200	3,500-5,500	8,000
โพแทสเซียม (K^+)	200-400	2,500-4,500	12,000
แคลเซียม (Ca^{2+})	100-200	2,500-4,500	8,000
แมกนีเซียม (Mg^{2+})	75-150	1,000-1,500	3,000

ความเป็นพิษของไอออนประจุบวกของโลหะเบาแต่ละชนิดรุนแรงไม่เท่ากัน ไอออนประจุบวกของโลหะเบาที่มีวาเลนซ์เท่ากับ 1 จะมีความเป็นพิษต่อจุลินทรีย์น้อยกว่าไอออนประจุบวกของโลหะเบาที่มีวาเลนซ์เท่ากับ 2 ซึ่งพิษของ Ca^{2+} และ Mg^{2+} จะมากกว่าพิษของความเป็นพิษของ Na^+ และ K^+ ถึง 10 เท่า ดังนั้นพิษของไอออนประจุบวกของโลหะเบาที่สามารถลดลงได้ถ้ามีไอออนประจุบวกของโลหะเบาอีกชนิดหนึ่งอยู่ด้วย โดยจะทำให้ความเป็นพิษของไอออนประจุบวกของโลหะเบาชนิดแรกลดลง ซึ่งปรากฏการณ์นี้เรียกว่า Antagonism

ในทางตรงกันข้าม ไอออนประจุบวกของโลหะเบาบางชนิด จะไปเพิ่มความเป็นพิษของไอออนประจุบวกของโลหะเบาอีกชนิดหนึ่ง เมื่อมีอยู่ร่วมกัน เรียกปรากฏการณ์นี้ว่า Synergism

1.5.2 สารพิษและสารยับยั้งปฏิกิริยา

1.5.2.1. แอมโมเนีย (Ammonia) เป็นสารที่เกิดจากการย่อยสลายสารอินทรีย์ที่ประกอบด้วย ในโตรเจนภายในตัว ได้สภาวะไรroxotizien เช่น โปรตีน เป็นแอมโมเนียในโตรเจน ซึ่งในโตรเจนอาจอยู่ในรูปของแอมโมเนียไอออน (NH_4^+) หรือก๊าซแอมโมเนีย (NH_3) ดังสมการ (7)



ถ้า pH เฉลี่ยต่ำกว่า 7.2 จะมี NH_4^+ มากกว่าแต่ถ้า pH สูงกว่า 7.2 จะมี NH_3 มากกว่าซึ่งจะยับยั้งการทำงาน และมีความเป็นพิษต่อจุลินทรีย์มากกว่า NH_4^+ แอมโมเนียมีอยู่ในรูปของ NH_3 จะเป็นพิษก็ต่อเมื่อมีความเข้มข้นประมาณ 100 มิลลิกรัม/ลิตร แต่ในรูปของ NH_4^+ จะเป็นพิษเมื่อมีความเข้มข้นสูงเท่ากับ 7,000-9,000 มิลลิกรัม/ลิตร

1.5.2.2. ชัลไฟฟ์ (Sulfide) ในระบบไฮdroอกซิเจนเกิดขึ้นจากชัลไฟต์ (Sulfate) ที่มีอยู่ในน้ำที่เข้าสู่ระบบ หรือเกิดจากการย่อยสลายของสารอินทรีย์ที่มีชัลเฟอร์ เช่น โปรตีน ซึ่งชัลไฟฟ์ที่ละลายน้ำท่านั้นและมีความเข้มข้นสูงกว่า 200 มิลลิกรัม/ลิตร ที่เป็นพิษต่อจุลินทรีย์ เมื่อโลหะหนักทำปฏิกิริยากับชัลไฟฟ์จะสร้างผลึกที่ไม่ละลายน้ำขึ้น ดังนั้น การเติมโลหะบางชนิด เช่น เหล็กสามารถลดความเป็นพิษของชัลไฟฟ์ได้ ชัลไฟฟ์จะถูกแยกออกมาอยู่ในรูปของก้าชไฮdroเจนชัลไฟฟ์ (H_2S) ดังนั้น ความเข้มข้นของชัลไฟฟ์จะลดลงขึ้นอยู่กับพีเอชของแหล่งเหลว และส่วนประกอบของก้าช

1.5.2.3. โลหะหนัก (Heavy Metal) โลหะหนักได้แก่ เหล็ก ดีบุก ตะกั่ว สังกะสี ทองแดง แคนเดียม โคลบัต โกรเมียม นิกเกิล เป็นต้น ซึ่งไอออนของโลหะหนักเหล่านี้เป็นพิษต่อจุลินทรีย์ และพิษของโลหะหนักขึ้นอยู่กับว่าเกลือของโลหะนั้นจะละลายน้ำได้มากน้อยเพียงใด และพิษของโลหะหนักจะมากหรือน้อยเพียงใด ก็ขึ้นอยู่กับปริมาณความเข้มข้นของชัลไฟฟ์ที่มีอยู่ในของเสียนั้น แสดงดังตาราง 2 เพราะชัลไฟฟ์จะรวมตัวกับโลหะหนักเกิดเป็นเกลือชัลไฟฟ์ที่ไม่ละลายน้ำ และตกตะกอน ถ้าของเสียมีปริมาณชัลไฟฟ์ไม่เพียงพอที่จะทำให้เกิดการตกตะกอน ได้ ต้องเติมเกลือชัลไฟฟ์หรือเกลือชัลไฟต์ลงไป เกลือทั้งสองชนิดจะถูกรีดิวช์ไปเป็นชัลไฟฟ์ภายใต้สภาวะไฮdroอกซิเจน ทำให้สามารถลดพิษของโลหะหนักลงได้ (Hayes and Theis, 1978)

ตาราง 2 ระดับความเป็นพิษของโลหะหนักในการย่อยสลายภายในสภาวะไฮdroอกซิเจน

โลหะหนัก	ความเข้มข้น (มิลลิกรัม/ลิตร)		
	ยับยั่ง	เป็นพิษ	หยุดทำงาน
Cr(III)	130	260	<200
Cr(II)	110	420	<180
Cu	40	70	<50
Ni	10	30	>30
Cd	-	>20	>10
Pb	340	>340	>250
Zn	400	600	<1,700

1.6 คุณลักษณะสารอาหาร (Substrate Characteristic)

องค์ประกอบของสารอาหารจะเป็นตัวกำหนดลักษณะของระบบภายในถังหมักโดยจะทำหน้าที่เป็นตัวคัดเลือกจุลินทรีย์ที่จะใช้สารประกอบต่างๆ ซึ่งของเสียที่จะนำมาย่อยสลายภายในได้สภาวะไรroxokซิเจน มักประกอบด้วยองค์ประกอบในโตรเจนจากเซลล์ของสิ่งมีชีวิต

2. ปัจจัยทางด้านการทำงาน (Operational Factor)

2.1 อัตราการป้อนสารอินทรีย์ (Organic Loading Rate, OLR)

เป็นปัจจัยหนึ่งที่มีผลต่อประสิทธิภาพในการย่อยสลายสารอินทรีย์ภายในสภาวะแบบไรroxokซิเจน และเป็นตัวแปรสำคัญในการออกแบบระบบบำบัดในสภาวะแบบไรroxokซิเจน เนื่องจากการเปลี่ยนสารอินทรีย์ในระบบให้ถาวรเป็นก๊าซมีเทน ต้องมีความเข้มข้นของแบคทีเรียที่พอดีเหมาะสมกับปริมาณของสารอินทรีย์ จึงจะทำให้แบคทีเรียมีการย่อยสลายสารอินทรีย์ลดลง เนื่องจากแบคทีเรียบางส่วนถูกทำลายไป เพราะสภาพที่ไม่สมดุล ในทางตรงกันข้ามถ้ามีการป้อนสารอินทรีย์เข้าระบบน้อยเกินไป การปรับอัตราการป้อนสารอินทรีย์ให้มีค่าแตกต่างกัน ทำได้โดยเปลี่ยนอัตราการไหลของของเสียที่ไหลผ่านถังหมัก หรือเปลี่ยนค่าความเข้มข้นของของแข็ง หรือความเข้มข้นของสารอินทรีย์ที่ใส่เข้าไป ซึ่งการเปลี่ยนอัตราการป้อนสารอินทรีย์จะมีผลต่อระยะเวลาเก็บกักด้วย

2.2 ระยะเวลาเก็บกัก (Hydraulic Retention Time, HRT)

เป็นปัจจัยหนึ่งใช้ควบคุมประสิทธิภาพของระบบการย่อยสลายสารอินทรีย์ภายในสภาวะแบบไรroxokซิเจนอัตราเร็วของการย่อยสลายจะเพิ่มขึ้นตามระยะเวลาเก็บกักสารอินทรีย์จนถึงค่าสูงสุดค่าหนึ่ง ต่อจากนั้นก็จะลดลงจนกระทั่งถึงขั้นหนึ่งที่จุลินทรีย์ถูกล้างออกจากระบบในอัตราที่เร็วกว่าจุลินทรีย์จะเพิ่มจำนวนขึ้น ซึ่งเป็นสาเหตุที่ทำให้ระบบล้มเหลวได้สามารถแก้ไขการที่จุลินทรีย์ถูกล้างออกจากระบบได้โดยการเพิ่มระยะเวลาเก็บกักให้นานขึ้น นอกจากนี้ระยะเวลาเก็บกักจะเป็นปัจจัยหลักในการออกแบบการหมักกล่าว คือ ระยะเวลาเก็บกักเป็นระยะเวลาที่ของเสียอยู่ในถังหมัก สามารถหาได้โดยการหารปริมาตรถังหมักด้วยปริมาตรของเสียที่เติมลงในถังหมักต่อหน่วยเวลา

ระยะเวลาที่จุลินทรีย์อยู่ในระบบ (Solid Retention Time, SRT) หมายถึง มวลของของแข็งภายในระบบหารด้วยมวลของของแข็งที่ปล่อยออกจากระบบต่อวัน ในถังหมักแบบธรรมชาติที่ไม่มีการหมุนเวียนตatkอน มีระยะเวลาที่จุลินทรีย์อยู่ภายในระบบจะเท่ากับระยะเวลาเก็บกัก ($SRT=HRT$) แต่ในถังหมักที่มีการหมุนเวียนตatkอน มีระยะเวลาที่จุลินทรีย์อยู่ภายในระบบมากกว่าระยะเวลาเก็บกักน้ำเสีย ($SRT>HRT$)

ดังนั้น ในระบบถังหมักแบบธรรมชาติที่ไม่มีการหมุนเวียนตะกอน HRT จะเท่ากับ SRT โดยสามารถคำนวณได้จากสมการ (8)

$$HRT = SRT = \text{Volume}/\text{Flow Rate} = V/Q \quad (8)$$

2.3 การกวน (Mixing)

การกวนเป็นสิ่งสำคัญในการย่อยสลายสารอินทรีย์ภายในสภาพสารแวดล้อม เพื่อให้เกิดการสัมผัสนันระหว่างสารอาหารกับจุลินทรีย์ เป็นการเพิ่มประสิทธิภาพของระบบด้วย และป้องกันการเกิดการสะสมของสารอินทรีย์ตามจุดต่างๆ ของถังหมัก และทำให้ของเหลวภายในถังหมักมีสภาพเป็นเนื้อเดียวกัน (อว.สค.า, 2545)

การหมักร่วม

ประเทศไทยเป็นประเทศเกษตรกรรม ในแต่ละปีประเทศไทยมีผลผลิตด้านการเกษตรเป็นจำนวนมาก อาทิ เช่น ข้าว อ้อย ข้าวโพด มันสำปะหลัง ฯลฯ จากการเพาะปลูกพืชผลทางการเกษตรส่วนใหญ่ใช้ในพื้นที่แปลงเพาะปลูกเป็นจำนวนมาก ดังนั้นรากน้ำอาจมีนโยบายให้เกษตรกรมีความสนใจต่อการจัดการวัสดุเหลือใช้ทางการเกษตร โดยนำมาเปลี่ยนแปลงเป็นพลังงานหรือนำไปใช้ประโยชน์ในด้านต่างๆ ไม่ว่าจะเป็นอาหารสัตว์ การหมักอุทกนอล เป็นต้น ซึ่งการเก็บรักษาคุณภาพของวัสดุที่เหลือจากการเกษตรที่เป็นที่นิยมมี 2 รูปแบบ คือ การเก็บแบบแห้ง และการหมัก โดยการเก็บรักษาแบบแห้งที่ได้มีคุณภาพที่ไม่ค่อยดี เสี่ยงต่อการเน่าเสื่อม ส่วนการเก็บรักษาแบบหมักเป็นการเก็บรักษาโดยอาศัยการทำงานของจุลินทรีย์ที่ผลิตกรดแลคติก (Lactic Acid Bacteria) ในสภาพที่ไร้ออกซิเจน โดยใช้น้ำตาลที่มีในวัสดุเหลือใช้ทางการเกษตร และยับยั้งการเจริญของจุลินทรีย์ชนิดอื่น ทำให้สามารถเก็บรักษาคุณภาพของวัสดุที่หมักไว้ได้ (Mc Donald et al., 1991) โดยทั่วไปการผลิตก๊าซชีวภาพสามารถทำได้โดยการหมักด้วยวัตถุคุณภาพเพียงประเภทเดียว เช่น การใช้มูลสัตว์เป็นวัสดุหมัก แต่ปัจจุบันได้มีการหมักร่วมกันระหว่างสองวัตถุคุณภาพมากกว่า ที่เรียกว่า การหมักร่วม ซึ่งจะช่วยเพิ่มประสิทธิภาพในการผลิตก๊าซชีวภาพให้สูงขึ้น โดยจะทำให้ได้ก๊าซชีวภาพในปริมาณที่มากขึ้นและได้ผลผลิตของมีเทนที่สูงขึ้น นอกจากนี้ยังช่วยกำจัดของเสียจากแหล่งต่างๆ ได้อย่างมีประสิทธิภาพและเกิดประโยชน์สูงสุด

หลักเกณฑ์พื้นฐานสำหรับการเลือกวัตถุคิบในการหมักร่วมเพื่อผลิตก๊าซชีวภาพ คือ วัตถุคิบต้องประกอบไปด้วยวัตถุคิบหมักหลักและวัตถุคิบหมักรอง โดยวัตถุคิบหมักหลักส่วนใหญ่เป็นพากมูลสัตว์หรืออาหารคงgon และวัตถุคิบหมักรองเป็นพากที่มีเส้นใยในปริมาณที่สูง เนื่องจากเส้นใยจะมีสารประกอบพากเซลลูโลสในปริมาณมากส่งผลให้การเกิดก๊าซมีเทนได้เพิ่มขึ้น การหมักร่วมช่วยให้เกิดความสมดุลระหว่างค่าอัตราส่วนคาร์บอนต่อในโตรเจน (C/N Ratio) อย่างไรก็ตาม การนำเศษพืชมาใช้ในการหมักร่วมกับมูลสัตว์นี้ การปรับสภาพเศษพืชเบื้องต้นด้วยแบบที่เรียกว่าครัดแลกติกก่อนนำไปหมักร่วมกับมูลสัตว์ทำให้ได้ปริมาณก๊าซมีเทนที่เพิ่มขึ้น (Neureiter et al., 2005)

จากการศึกษาข้อมูลงานวิจัยการหมักร่วมที่ผ่านมาหนึ่ง พบว่าการหมักร่วมสามารถผลิตก๊าซชีวภาพให้เป็นพลังงานทดแทนได้สูง และยังสามารถแก้ไขปัญหาด้านสิ่งแวดล้อมของสารอินทรีย์ที่มีระยะเวลาการย่อยสลายที่ใช้เวลานาน เช่น การศึกษาเก็บข้อมูลจากสถานที่จริงโดย Lindorfer et al. (2007) ได้ทำการศึกษาการผลิตก๊าซชีวภาพจากของเหลือทางการเกษตรซึ่งทำการหมักย่อยระหว่างมูลสัตว์กับพืชพังงาน พบว่าการหมักย่อยร่วมดังกล่าวสามารถเพิ่มภาระบรรทุกสารอินทรีย์ได้มากขึ้นถึงหนึ่งเท่าตัว ส่งผลให้สามารถเพิ่มกำลังการผลิตไฟฟ้าจากเดิม 50 กิโลวัตต์ เป็น 1,000 กิโลวัตต์โดยใช้ถังหมักย่อยเดิม นอกจากราคา Forster et al. (2008) ได้ทำการศึกษาผลของการหมักย่อยร่วมแบบต่อเนื่อง โดยทำการศึกษาการหมักย่อยร่วมระหว่างมูลวักบับเชยพืชผัก และผลไม้ผสมกับมูลไก่ พบร่วมกับการหมักย่อยร่วมในอัตราส่วนของเศษผักผลไม้ร้อยละ 50 มีการเกิดการย่อยสลายร่วมในรูปแบบมีเทนได้ดี และการหมักร่วมระหว่างตะกอนปศุสัตว์กับมูลไก่ พบร่วมไม่ประสบผลสำเร็จซึ่งเมื่อเพิ่มอัตราภาระบรรทุกทำให้ค่ามีเทนลดลง และการศึกษาสถานบันวิชัย และพัฒนาพังงานมหาวิทยาลัยเชียงใหม่ ได้ดำเนินการการหมักร่วมทดลองทางนิodicของเสียที่จะนำมาหมักย่อยร่วมกับของเสียที่เกิดจากฟาร์มสุกร โดยทดลองกับของเสียทั้งหมด 5 ชนิด คือ เศษอาหาร กลีเซอรีน หญ้าเนเปียร์ ฟางข้าว และต้นข้าวโพด โดยของเสียที่มีเส้นใยสูง เช่นหญ้าเนเปียร์ ฟางข้าว และต้นข้าวโพด ต้องนำบัดเบี้งต้นด้วยการลดขนาด และแช่ในสารเคมี ก่อนนำไปหมักร่วม ผลการทดลองพบว่า ฟางข้าวที่อัตราส่วนร้อยละ 60 ของของแข็งระเหย มีศักยภาพในการเพิ่มการผลิตมีเทนของน้ำเสียฟาร์มสุกรมาที่สุด รองลงมาคือหญ้าเนเปียร์ที่อัตราส่วนร้อยละ 30 ของของแข็งระเหย ต้นข้าวโพดที่อัตราส่วนร้อยละ 60 ของของแข็งระเหย เศษอาหารที่อัตราส่วนร้อยละ 60 ของของแข็งระเหย ส่วนกลีเซอรีน พบร่วมไม่เพียงพอต่อความต้องการ

ปัจจุบันการเลี้ยงสัตว์ภายในประเทศเจริญเติบโตและมีการพัฒนาขึ้นอย่างรวดเร็ว ผลจากการเลี้ยงสัตว์ได้ก่อให้เกิดปัญหาของเสีย และน้ำเน่าจากฟาร์มเลี้ยงสัตว์โดยเฉพาะอย่างยิ่ง จากฟาร์มสุกรเป็นปัญหาทำให้เกิดน้ำเสียและสภาพเสื่อมโทรมเนื่องจากของเสียที่เกิดจากมูลสัตว์

น้ำเสียและขยะ ซึ่งปัญหานี้นับวันจะทวีความรุนแรงมากขึ้น ก้าชชีวภาพเป็นอีกหนึ่งทางเลือกที่มีการนำมาประยุกต์ใช้ในฟาร์มเลี้ยงสัตว์และมีการนำเทคโนโลยีใหม่ๆ มาพัฒนาการเปลี่ยนแปลงเพื่อให้เกิดพลังงานเพิ่มขึ้น ก้าชชีวภาพซึ่งเป็นก้าชที่ผลิตขึ้นจากจุลินทรีย์ภายในตัวส่วนใหญ่ ต้องการให้เกิดพลังงานเพิ่มขึ้น นอกเหนือจากแหล่งพลังงานธรรมชาติซึ่งมีการใช้กันมากและมีค่าสูงขึ้นในปัจจุบัน (Chae et al., 2008)

หญ้าหมัก

หญ้าหมัก หมายถึง หญ้านิดต่างๆ ที่เก็บเกี่ยวในขณะที่มีความชื้นเหมาะสม นำมาหมักในสภาพแวดล้อมที่มีอุณหภูมิสูง เช่น ห้องอบแห้ง หรือเตาเผา จนกว่าจะมีการเปลี่ยนสภาพเป็นหญ้าหมัก กระบวนการหมักนี้จะเกิดขึ้นโดยคุณค่าทางอาหารไม่เปลี่ยนแปลง พืชเกื้อชุมชนที่อยู่ในหญ้าหมักจะสามารถคงอยู่ได้ เช่น สาหร่าย หางกระรอก ฯลฯ รวมทั้งวัชพืชสามารถทำการหมักได้ทั้งสิ้น การที่หญ้าหมักเปลี่ยนสภาพเป็นหญ้าหมักนี้ต้องอาศัยจุลินทรีย์เป็นตัวช่วยที่สำคัญ ซึ่งจุลินทรีย์เหล่านี้จะมีอยู่ตามธรรมชาติ และติดอยู่กับหญ้าที่จะนำมาหมัก อาจมีทั้งชนิดที่ต้องการออกซิเจน ไม่ต้องการออกซิเจน และกลุ่มที่เจริญอยู่ได้ในสภาพที่มีหรือไม่มีออกซิเจน จุลินทรีย์เหล่านี้จะก่อให้เกิดการเปลี่ยนแปลงทางเคมีในหญ้าที่กำลังหมัก ได้รับความนิยมทำเพื่อใช้ในการถอนหญ้าหมักสำหรับเก็บไว้ใช้ในฤดูแล้งที่มีหญ้าสลดไม่เพียงพอ

กระบวนการหมักหญ้า

หญ้าหมักเกิดขึ้นได้ตามธรรมชาติโดยอาศัยการทำงานของจุลินทรีย์ที่อยู่ตามส่วนต่างๆ ของหญ้า (Epiphytic Microbial) ซึ่งมีบทบาทสำคัญต่อกระบวนการหมักของหญ้าที่จะให้หญ้าหมักมีคุณภาพดี ซึ่งคุณภาพโดยแท้จริงของหญ้าหมักนี้จะขึ้นอยู่กับแบคทีเรียกรดแลคติก (Lactic Acid Bacteria, LAB) ที่มีอยู่ในส่วนของหญ้าซึ่งเป็นแบคทีเรียกลุ่มที่ผลิตกรดแลคติกภายใต้สภาวะที่ไร้ออกซิเจน ทำให้ค่าพีเอชในหญ้าหมักลดลง มีผลทำให้จุลินทรีย์ที่ไม่ต้องการลดจำนวนลง มีผลทำให้จุลินทรีย์กลุ่มที่ไม่ต้องการลดลง เนื่องจากไม่สามารถเจริญเติบโตได้ในสภาวะที่มีความเป็นกรดໄล์ ถ้าปริมาณกรดแลคติกที่ผลิตได้มีมาก แบคทีเรียกรดแลคติกก็จะหยุดการเจริญเติบโตด้วยเช่นกัน ทำให้หญ้าหมักเข้าสู่สภาวะคงที่ แบคทีเรียจะหยุดการใช้สารอาหารในหญ้า เพื่อการเจริญเติบโต ทำให้เหลือปริมาณสารอาหารในหญ้าหมักมากขึ้น ลดการสูญเสียสารอาหาร (McDonald et al., 1991) แบคทีเรียกรดแลคติกในกลุ่มของหญ้าหมักมีอยู่ 2 กลุ่ม คือ แสลงในตาราง

ตาราง 3 แบคทีเรียแลคติกที่พบในหูข้าวมัก

Genus	Glucose fermentation	Morphology	Species
Lactobacillus	Homofermentation	Rod	<i>L. acidophilus</i> , <i>L. casei</i>
	Heterofermentation	Rod	<i>L. plantarum</i> , <i>L. salivarius</i>
Pediococcus	Homofermentation	Coccus/tetrad	<i>P. acidilacti</i> , <i>P. pentosaceus</i>
			<i>P. damnosus (cerevisiae)</i>
Enterococcus	Homofermentation	Coccus	<i>E. faecalis</i> , <i>E. faecium</i>
Lactococcus	Homofermentation	Coccus	<i>L. lactis</i>
Streptococcus	Homofermentation	Coccus	<i>S. bovis</i>
Leuconostoc	Heterofermentation	Coccus	<i>L. mesenteroides</i>

ที่มา McDonald et al. (1991)

แบคทีเรียกรดแลคติกสามารถเจริญเติบโตได้ที่อุณหภูมิตั้งแต่ 5-50 องศาเซลเซียส ทั้งนี้ขึ้นอยู่กับชนิด และลักษณะของหูข้าวที่ใช้แบคทีเรียกรดแลคติก เมื่อพิจารณาถึงการใช้ประโยชน์จากน้ำตาลของแบคทีเรียกรดแลคติกสามารถจำแนกได้เป็น 3 กลุ่มใหญ่ๆ ด้วยกัน (จันทกานต์, 2545) คือ

1. Obligate Homofermenter หมายถึง แบคทีเรียพวกที่หมักแล้วได้ผลผลิตเป็นกรดแลคติกเพียงอย่างเดียวในสภาพที่ไม่มีออกซิเจน ได้แก่ *P. damnosus* และ *L. ruminis* แบคทีเรียนอกลุ่มนี้สามารถผลิตกรดแลคติกได้มากกว่าร้อยละ 85 จากน้ำตาล Hexose (น้ำตาลที่มีคาร์บอนอยู่ 6 อะตอม หรือ 6 C sugar) เช่น กลูโคส แต่ไม่สามารถย่อยสลายน้ำตาล Pentose (น้ำตาลที่มีคาร์บอนอยู่ 5 อะตอม หรือ 5 C sugar) เช่น Xylose ได้

2. Facultative Heterofermenter หมายถึง แบคทีเรียพวกที่หมักแล้วให้ผลผลิตเป็นกรดแลคติก ก้าชคาร์บอน ไดออกไซด์ และกรดอะซิติก หรืออ่อนล็อก ได้ทั้งในสภาพที่มีออกซิเจน และไม่มีออกซิเจน ได้แก่ *L. plantarum*, *L. pentosus*, *P. acidilactici*, *P. pentosaceus* และ *E. faecium* แบคทีเรียกลุ่มนี้สามารถผลิตกรดแลคติกจากน้ำตาล Hexose ได้ และสามารถใช้น้ำตาล Pentose ได้เล็กน้อย

3. Obligate Heterofermenter หมายถึง แบคทีเรียพวกที่หมักแล้วให้ผลผลิตเป็นกรดแลคติก ก้าชคาร์บอน ไดออกไซด์ และกรดอะซิติก หรืออ่อนล็อก ได้ในสภาพที่ไม่มีออกซิเจน

ได้แก่ แบคทีเรียในกลุ่มของ *Leuconostoc* และกลุ่มของ *Lactobacillus* บางชนิด เช่น *L. brevis* และ *L. buchneri* แบคทีเรียกลุ่มนี้สามารถสามารถใช้น้ำตาล Hexose และ Pentose ได้ดี

ปัจจัยสำคัญที่มีผลต่อการผลิตญ้าหมักให้มีคุณภาพดีนี้ โดยญ้าที่นำมาหมัก ควรมีปริมาณวัตถุแห้งในญ้าหมักร้อยละ 25-30 มีปริมาณน้ำตาลมากกว่าร้อยละ 2 ของน้ำหนัก (Ohmomo et al. 2002) โดยทั่วไปปริมาณน้ำตาลในญ้าเบตอรอนมีปริมาณค่อนข้างต่ำ และต่ำกว่าในเบตหนา (Catchpoole and Henzell, 1971) นอกจากนั้นจำนวนแบคทีเรียกรดแอลกอติกในญ้าเบตอรอนยังมีจำนวนน้อยกว่าจุลินทรีย์ชนิดอื่นๆ ที่อาศัยอยู่ เช่น ยีสต์ และเชื้อรา (Cai et al., 1994; Ohmomo et al., 2002; Yahaya et al., 2004) ทำให้ไม่สามารถแบ่งขันกับจุลินทรีย์ชนิดอื่นที่ใช้น้ำตาลที่มีอยู่ในปริมาณจำกัดในการผลิตกรดแอลกอติกได้ปริมาณกรดแอลกอติกที่ผลิตได้จะไม่เพียงพอ ต่อการรักษาสภาพญ้าหมัก การเกิดจุลินทรีย์ในระหว่างกระบวนการหมักด้วย ซึ่งการทำงานของแบคทีเรียกลุ่มนี้จะทำให้เกิดการใช้น้ำตาลอxydative stress และมีประสิทธิภาพส่งผลให้ผลิตกรดแอลกอติกในปริมาณมาก และค่าพีเอชของระบบลดลงอย่างรวดเร็ว และมีประสิทธิภาพในการลดการสูญเสียเมื่อสัมผัสอากาศ และเพิ่มประสิทธิภาพในตัวสัตว์ ซึ่งแบคทีเรียกรดแอลกอติกที่ใช้เป็นเชื้อตั้งต้นที่เหมาะสมควรมีคุณสมบัติดังนี้ (Weinberg and Muck, 1996)

1. จัดอยู่ในกลุ่ม Homofermentative Lactic Acid Bacteria
2. สามารถแบ่งขันกับแบคทีเรียที่อิงอาศัยในพืชได้และเจริญเติบโตอย่างรวดเร็ว
3. ผลิตกรดแอลกอติกปริมาณมากในเวลาอันสั้น
4. ทนทานต่อความเป็นกรด
5. สามารถเจริญเติบโตในอุณหภูมิที่สูงถึง 50 องศาเซลเซียส และในวัตถุดิบที่มีความชื้นต่ำ

โดยหลักการแล้วญ้าหมักที่มีคุณภาพที่ดีควรมีค่าพีเอชประมาณ 4.2 หรืออาจจะต่ำกว่านี้ประกอบด้วยกรดแอลกอติกร้อยละ 3-13 กรดบิวทิริก (Butyric Acid) น้อยกว่าร้อยละ 2 และแอมโมเนียม-ไนโตรเจน (NH_3-N) น้อยกว่าร้อยละ 11 ของไนโตรเจน (สาขัณฑ์, 2540) มีวัตถุแห้งอยู่ร้อยละ 25-30 ญ้าหมักที่ดีควรมีสีเขียวแกมเหลืองหรือน้ำตาลอ่อน และมีกลิ่นหอมของกรด ไม่น่าเหม็น และกลิ่นไม่ฉุน

ปัจจัยที่ควบคุมคุณภาพของหญ้าหมัก

ในการทำหญ้าหมักมีปัจจัยหลายอย่างที่เกี่ยวข้องและมีอิทธิพลต่อการเปลี่ยนแปลงส่วนประกอบทางเคมี และคุณสมบัติทางกายภาพต่างๆ ของหญ้าสดเมื่อทำเป็นหญ้าหมัก ดังนั้นเพื่อให้ได้หญ้าหมักที่มีคุณภาพสูงจะต้องคำนึงปัจจัยดังต่อไปนี้

1. ชนิดของหญ้าที่เหมาะสมในการทำหญ้าหมักควรเลือกหญ้าที่มีปริมาณแป้งหรือน้ำตาลสูงพอสมควรเพื่อเป็นอาหารให้แบคทีเรียที่สร้างกรดแอลกอติกให้เจริญได้เร็ว ซึ่งเป็นการป้องกันไม่ให้จุลทรรศน์นิดอื่นเจริญเติบโต ลักษณะของหญ้าควรมีลำต้นขนาดเล็กเพื่อลดปริมาณอากาศให้น้อยที่สุด ถ้าใช้หญ้าที่มีลำต้นกว้างทำหญ้าหมักจะต้องพยายามทำให้ปล่องแตก และอัดให้แน่นเพื่อไม่ถูกออกไห้มากที่สุด

2. การตัดหญ้า คือ การตัดหญ้าที่อายุเหมาะสมไม่แก่ และไม่อ่อนจนเกินไป โดยตัดในช่วงที่หญ้าให้ผลผลิตสูงพร้อมทั้งยังมีคุณค่าทางอาหารเพียงพอทั้ง โปรตีนแร่ธาตุ และวิตามินซึ่งอายุของหญ้าที่จะตัดทำพืชหมักไม่แน่นอน

3. ความยาวของท่อนหญ้า เนื่องจากหญ้าหมักต้องอยู่ในสภาพไร้ออกซิเจน ดังนั้นการตัด หรือสับหญ้าให้เป็นชิ้นจะมีผลต่อการอัดแน่นเพื่อไม่ถูกออกไห้ ความยาวของท่อนหญ้านั้นขึ้นอยู่กับชนิดหญ้า ควรจะหั่นให้สั้นกว่าหญ้าที่มีความชื้นสูง การที่ต้องตัดหญ้าเป็นท่อนสั้นๆ นั้น ก็เพื่อที่จะช่วยในการอัดแน่นในถังหมักทำได้ง่าย และทำได้ดียิ่งขึ้นรวมทั้งเพื่อให้น้ำตาลถูกปล่อยออกมากได้เร็ว ซึ่งจะช่วยให้เกิดกรดแอลกอติกเร็วขึ้นเป็นผลดีต่อคุณภาพของหญ้าหมัก

4. ระดับความชื้นที่เหมาะสมในหมักหญ้าโดยปกติแล้วหญ้าจะมีความชื้นอยู่ระหว่างร้อยละ 65-70 ถ้าหญ้าแห้งเกินไปจะอัดให้แน่นได้ยาก ทำให้มีอากาศหลงเหลือค้างอยู่มาก เป็นผลให้เกิดเชื้อราได้ง่าย หญ้าหมักที่มีความชื้นต่ำจะทำให้กรรมของจุลทรรศน์ที่สร้างกรดลดลงด้วย ดังนี้ ถ้าหากหญ้าแห้งมากไป อาจเกิดไข้โดยพยาบาลตัดเป็นท่อนสั้น ๆ หรือใช้น้ำพรมก่อนบรรจุลงในหลุมหรือถังหมัก ในทางตรงข้ามถ้าหญ้าที่นำมาหมักมีความชื้นมากเกินไปโอกาสที่จะทำให้หญ้าหมักมีคุณภาพลดลง อาจทำให้หญ้าหมักมีลักษณะเป็นเมือกหรือเปรี้ยวจัดเกินไป และจะดึงเอาชาตุอาหารในหญ้าหมักออกจากตัว

5. การกำจัดอากาศออกจากหลุมหมัก ในการทำหญ้าหมักมีหลักสำคัญที่จะต้องทำให้แบคทีเรียกรดแอลกอติกเจริญได้เร็ว และผลิตกรดแอลกอติกได้สูง เนื่องจากแบคทีเรียกรดแอลกอติกจะช่วยรักษาคุณภาพของหญ้าหมัก และช่วยป้องกันไม่ให้จุลทรรศน์นิดอื่นเจริญขยายจำนวนขึ้น หญ้าสดเมื่อตัดมาใหม่ ๆ เชลล์ของหญ้าในถังหมักจะถูกยับบ่อนอกออกไซต์ น้ำ และคายความร้อนออก ถ้ายังมีอากาศอยู่ภายในหลังเชลล์หญ้าตายแล้ว พากเชื้อรานและยีสต์จะเจริญขึ้น ทำให้หญ้าหมักมี

คุณภาพไม่ดี ด้วยเหตุนี้ จึงต้องพยายามกำจัดอากาศให้ออกจากหลุมหมักมากที่สุด เพื่อที่เมื่อเซลล์หญ้าตาย เชื้อแบคทีเรียที่ไม่ต้องการออกซิเจน ซึ่งเป็นพวกที่สร้าง กรดอินทรีย์ต่าง ๆ เจริญขยายจำนวน ช่วยให้หญ้ายู่ในรูปของพืชหมัก

6. สารช่วยหมัก เป็นพวกสารหรือวัตถุอื่นที่ใส่เพิ่มคุณภาพของหญ้าหมักหรือรักษายาหญ้าหมักให้อยู่ในสภาพหมัก นอกจากปัจจัยต่างๆ ที่กล่าวแล้ว การที่จะทำให้เกิดกรดแอลกอติกเร็ว จึงต้องเพิ่มปริมาณสารเสริมเพื่อช่วยเป็นอาหารของเชื้อแบคทีเรียกรดแอลกอติก ทำให้หญ้าหมักมีประสิทธิภาพสูง (กรมปศุสัตว์, 2546)

หญ้าแต่ละชนิดสามารถปรับตัว เจริญเติบโต และให้ผลผลิตสูงภายใต้ปัจจัย สภาพแวดล้อมที่แตกต่างกัน ทั้งสภาพพื้นที่ ความอุดมสมบูรณ์ของดิน และสภาพภูมิอากาศ ได้แก่ อุณหภูมิ ช่วงแสง ความชื้น เป็นต้น ดังนั้น พืชที่จะนำมาใช้เป็นพืชหมักให้ได้ผลดีจึงจำเป็นต้อง พิจารณาเลือกชนิดของหญ้าให้เหมาะสมกับสถานที่นั้นๆ และการนำไปทำหญ้าหมัก ซึ่งหญ้าแต่ละชนิดมีความเหมาะสมสำหรับการนำไปใช้ประโยชน์ที่แตกต่างกัน

หญ้ากินนี (*Panicum maximum*)

ลักษณะทั่วไป

เป็นหญ้าที่มีอายุหลายปี ลักษณะเป็นกอตั้งตรงแตกกอตี มีใบขนาดใหญ่ ใบคลadosium อยู่ในช่วงต้น ลักษณะของช่อบลัง กลุ่มดอก และเมล็ดมีสีม่วงอมเขียว เหมาะสำหรับปลูกบนพื้นที่ ดอนมีดินเหนียวจนถึงดินราย และในพื้นที่เขตคลประทาน ทนทานต่อสภาพพื้นที่แห้งแล้ง และสามารถเติบโตได้ในสภาพร่วน ให้ผลผลิตน้ำหนักแห้งประมาณ 2.5-3 ตัน/ไร่/ปี มีปรตีนประมาณ ร้อยละ 8-10 ของน้ำหนักแห้ง

หญ้ารูซี่ (*Brachiaria ruziziensis*)

ลักษณะทั่วไป

หญ้ารูซี่เป็นหญ้าอายุหลายปี มีลักษณะการเจริญเติบโตแบบกึ่งเลื้อยกึ่งตั้งต้นสูง ปานกลาง ชอบอากาศในเขตวอทันที่มีฝนตก ต้องการดินที่มีความอุดมสมบูรณ์ค่อนข้างดี แต่ก็สามารถเจริญเติบโตในดินที่มีความอุดมสมบูรณ์ค่อนข้างดี ได้ ผลผลิตน้ำหนักแห้งประมาณ 2.0-2.5 ตัน/ไร่/ปี มีปรตีนร้อยละ 7-10 ลักษณะเด่นของหญ้ารูซี่คือ สามารถผลิตเมล็ดได้มาก และเมล็ดมีความคงทนสูง แต่หญ้ารูซี่มีข้อเสียคือ มีระยะพักตัวในช่วงฤดูแล้ง ทำให้ผลผลิตของหญ้าในช่วงฤดูแล้ง ขาดแคลน

หญ้าขัน (*Brachiaria mutica*)

ลักษณะทั่วไป

หญ้าขันมีลักษณะการเจริญเติบโตของลำต้นแบบกึ่งเลื้อยกึ่งตั้ง (Semi-Erect Type) ในกรณีที่มีพื้นที่ว่างมาก ๆ จะเลื้อยและมีไหล (Stolon) เกิดขึ้นมากมาก มีลักษณะลำต้นเป็นเดาเลื้อยคลุมดินแตกหน่อ และรากตามข้อที่แต่พื้นดิน เมื่อโตเต็มที่อาจสูงถึง 2 เมตร บริเวณข้อมือขันปักกลุ่มเป็นสีขาว บริเวณข้อและก้านใบมีขันสีขาวปักกลุ่มช่อดอกเป็นแบบ Panicle ซึ่งก้านยาว 10-30 เซนติเมตร กว้าง 1-2 เซนติเมตร

ลักษณะทางเกษตร

หญ้าขันมีอายุหลายปีและเหมาะสมสำหรับใช้ปลูกในเขตวอนหรือเขตอบอุ่นชั่งชั้นมาก ๆ สามารถเจริญเติบโตได้ดีในดินทุกชนิด เพียงแต่ให้มีความชื้นเพียงพอ สำหรับในสภาพที่มีน้ำขัง (Water Logging) หรือน้ำอาจท่วม การใช้หญ้าขันปลูกเหมาะสมที่สุด (บุญญา, 2532)

หญ้าคา (*Imperata Cylindrica Beauv*)

ลักษณะทั่วไป

หญ้าคาเป็นวัชพืชอายุหลายปีพร้อมรากค้ำยึดตื้น ไหลได้ดีและเมล็ด ลำต้นตั้งตรงสูง 15-20 เซนติเมตร ไหลได้ดีมีใบเกลี้ดหุ้ม ใบเรียบรูปหนาน ปลายใบแหลม อาจยาวถึง 150 เซนติเมตรกว้าง 4-18 มิลลิเมตรมีขันที่บริเวณโคนต้น และขอนก้านใบ ช่อดอกแบบแขนง ดอกย่อย อัดกันแน่น ยาว 3-20 เซนติเมตร กว้าง 0.5-2.5 เซนติเมตร สีขาวหรือครีม ดอกย่อยยาว 3-6 มิลลิเมตร ต้องรอบด้วยขน อ่อนนุ่มยาว 10 มิลลิเมตรผลิตเมล็ดได้

เนื่องจากหญ้าคาเป็นวัชพืชที่มีความสามารถในการกระจายพันธุ์ได้ทั่วจากเมล็ด โดยลมที่พัดพาเมล็ดไป และการแตกหน่อจากไหลทำให้สามารถปักกลุ่มพื้นที่ได้รวดเร็ว

การเลี้ยงสุกรในประเทศไทย

การเลี้ยงสุกรเป็นอาชีพหนึ่งที่มีความสำคัญต่อระบบเศรษฐกิจของไทย และสุกรเป็นสินค้าเกษตรกรรมที่มีบทบาทสำคัญต่อเศรษฐกิจของประเทศไทย ทั้งทางด้านการผลิต การบริโภค และการค้าระหว่างประเทศ แต่การเลี้ยงสุกรในปัจจุบันได้ก่อให้เกิดปัญหา และอุปสรรคตามมาหลายประการ ทั้งในด้านการปรับปรุงคุณภาพเนื้อสุกรให้ได้มาตรฐานความปลอดภัยต่อผู้บริโภค และปัญหาการก่อผลกระทบต่อสภาพแวดล้อมอันเนื่องมาจากมูลสัตัว และของเสียต่างๆ ที่เกิดจากกิจกรรมการเลี้ยงสุกรภายในฟาร์ม โดยเฉพาะอย่างยิ่งจากฟาร์มที่ยังไม่สามารถ

กำจัดของเสียเหล่านี้ได้อย่างถูกต้องเหมาะสม ทำให้เกิดปัญหามลภาวะทั้งภายในฟาร์มเอง และชุมชนใกล้เคียงจนกลายเป็นปัญหาต่อคุณภาพชีวิตและสิ่งแวดล้อม

จากการแบ่งขนาดฟาร์มเลี้ยงสุกรเป็น 3 ขนาด คือ ขนาดเล็กที่เลี้ยงสุกรน้อยกว่า 500 ตัว ขนาดกลางที่เลี้ยงตั้งแต่ 500-5000 ตัว ฟาร์มขนาดใหญ่ที่เลี้ยงเกินกว่า 5000 ตัวขึ้นไป มีรายงานถึงปริมาณน้ำเสียที่เกิดขึ้นมีค่า BOD และ COD ซึ่งสูงถึง 3000 และ 7000 มิลลิกรัม/ลิตร ในฟาร์มขนาดใหญ่นับว่าเป็นน้ำที่สกปรกมาก (ตาราง 4) ซึ่งเกษตรกรควรมีระบบบำบัดน้ำเสียภายในฟาร์มที่มีประสิทธิภาพ สามารถกำจัดของเสียภายในฟาร์มและน้ำทึ่งปล่อยสู่สาธารณะเป็นไปตามกฎหมายมาตรฐาน อย่างไรก็ตามพบว่า น้ำเสียเหล่านี้มีมาตรฐานต่ำๆ อยู่มาก

จากสาเหตุดังกล่าวก่อให้เกิดการพัฒนาเปลี่ยนแปลงระบบการเลี้ยงไส่สู่ระบบฟาร์มน้ำมาตรฐาน ซึ่งทำให้สัตวแพทย์มีความหลากหลายเพียงแค่การดูแลสุขภาพสัตว์เท่านั้น ยังคงต้องมีความรู้ในเรื่องขององค์ประกอบ การจัดการฟาร์ม รวมถึงการจัดการสิ่งแวดล้อมซึ่งเป็นองค์ประกอบหนึ่งในการป้องกันมิให้เกิดการแพร่ระบาดของโรคสั่งภายนอก (กรมปศุสัตว์, 2546) อันเป็นหน้าที่ของสัตวแพทย์ผู้ควบคุมฟาร์มและเข้าหน้าที่ในฐานะผู้ตรวจสอบในระบบฟาร์มน้ำมาตรฐาน (อดีตร, 2549)

ตาราง 4 อัตราการเกิดน้ำเสียและลักษณะสมบัติของน้ำเสียจากฟาร์มสุกรจำแนกตามขนาดฟาร์ม

ขนาดฟาร์ม สุกร	อัตราการเกิดน้ำเสีย (ลิตร/ตัว/วัน)	ลักษณะสมบัติของน้ำเสีย (มิลลิกรัม/ลิตร)				
		BOD	COD	SS	TKN	TP
ขนาดใหญ่*	10	3,000	7,000	4,800	540	8.0
ขนาดกลาง**	16	2,500	6,900	3,000	540	9.6
ขนาดเล็ก***	20	1,500	4,000	2,000	400	17.0

ที่มา: กรมควบคุมมลพิษ (2546)

หมายเหตุ: ฟาร์มขนาดใหญ่ (ฟาร์มที่มีจำนวนสุกรตั้งแต่ 5000 ตัวขึ้นไป)

ฟาร์มขนาดกลาง (ฟาร์มที่มีจำนวนสุกรในช่วง 500-5000 ตัว)

ฟาร์มขนาดเล็ก (ฟาร์มที่มีจำนวนสุกรในช่วง 50-500 ตัว)

ลักษณะน้ำเสียจากฟาร์มสุกร

ในฟาร์มสุกรของเสียเกิดขึ้นในรูปแบบต่าง ๆ คือ เศษอาหาร น้ำ ปัสสาวะ น้ำล้างคอก ก๊าซต่าง ๆ และสารระเหยที่มีกลิ่นจากการสลายตัวของน้ำดินและปัสสาวะที่ขับถ่ายแล้วปริมาณสิ่งขับถ่าย และลักษณะน้ำเสียที่เกิดขึ้นในฟาร์มแต่ละวัน ขึ้นอยู่กับปัจจัยต่าง ๆ ได้แก่ ขนาดของฟาร์ม หรือจำนวนสัตว์ปีนคอก ลักษณะอาหาร และวิธีการให้อาหาร ขนาด ชนิดของสัตว์ ประเภทสัตว์ที่เลี้ยง ลักษณะโรงเรือน ระบบการจัดการของเสีย วิธีการทำความสะอาดคอก และปริมาณน้ำที่ใช้ล้างหรือทำความสะอาด โดยปริมาณสิ่งขับถ่ายของสุกรในแต่ละวันจะแตกต่างกันตามขนาดของสุกร ดังนั้น น้ำเสียส่วนใหญ่จะเกิดจากการล้างทำความสะอาดคอก และโรงเรือนสุกร (ตาราง 5) ซึ่งมักจะทำการทำความสะอาดพื้นคอก และประเภทของสุกรที่เลี้ยง จะมีปริมาณปศุสัตว์ (2546) รายงานว่า ส่วนประกอบทางเคมี และปริมาณน้ำดื่มน้ำที่ขับถ่ายออกมาก็ขึ้นอยู่กับปัจจัยหลายประการ ได้แก่ อายุ น้ำหนักตัว พันธุ์ อาหาร ปริมาณน้ำที่กิน ความสามารถในการย่อยอาหาร สิ่งแวดล้อม และการจัดการเกี่ยวกับของเสีย ซึ่งลักษณะน้ำเสียของฟาร์มสุกรโดยทั่วไป ปริมาณสิ่งขับถ่ายจากสุกรจะต่างๆ เนื่องจากต้องตัวต่อวัน เช่น แม่สุกรกับสุกรขุนที่มีน้ำหนักเท่ากัน คือ 90-120 กิโลกรัม จะขับถ่ายของเสียเท่ากับ 4 และ 12 ลิตรต่อวัน ตามลำดับ (ตาราง 6) และเมื่อเปรียบเทียบกับการขับถ่ายของสัตว์ชนิดอื่น ปรากฏว่าสุกรขับถ่ายมากกว่าม้าและโค กระเบื้องดึงสองเท่า (เมื่อคิดต่อหน่วยน้ำหนัก)

ตาราง 5 ปริมาณน้ำเสียที่เกิดขึ้นตามกิจกรรมการก่อให้เกิดน้ำเสียของฟาร์มสุกรแต่ละประเภท

กิจกรรม	ค่าเฉลี่ยปริมาณน้ำเสียที่เกิดขึ้น (วัน/ตัว/ลูกนาฬิกาเมตร)		
	พ่อ-แม่พันธุ์	สุกรขุน	สุกรอนุบาล
การล้างคอก/โรงเรียน	0.038	0.012	0.011
การระบายน้ำร้อนให้สุกร/ส้วมน้ำ	0.026	0.012	0.009
รวม	0.064	0.024	0.02

ที่มา กรมควบคุมมลพิษ (2546)

ตาราง 6 ปริมาณสิ่งขับถ่ายจากสุกรระยะต่างๆ เนลี่ยต่อตัวต่อวัน

สุกร	น้ำหนักตัว (กิโลกรัม)	ปริมาณสิ่งที่ขับถ่าย*(กิโลกรัม/วัน)
สุกรเล็ก	15	1.04
สุกรห่าน	30	1.90
สุกรชุน	70	4.60
สุกรชุน	90	5.40
แม่สุกรไม่อุ้นท้อง	125	4.30
แม่สุกรเลี้ยงลูก	170	14.90
พ่อพันธุ์	160	4.90

ที่มา กรมควบคุมมลพิษ (2546)

น้ำเสียจากฟาร์มสุกรจะมีความเข้มข้นสูงมาก ทั้งในรูปของน้ำโอดีและชาตุอาหาร (นงชัย, 2544) ซึ่งเมื่อปล่อยน้ำเสียลงสู่แม่น้ำ จะทำให้เกิดปัญหาอย่างพิเศษ (Eutrophication) จากการมีชาตุอาหาร ในโตรเจน หรือฟอสฟอร์สมากเกิน ไปในแหล่งน้ำปิด ในประเทศไทยพบปัญหาอย่างพิเศษ หรือสาหร่ายสะสมพังพัง ที่เรียกว่า จีปลาวาพ โดยกรมควบคุมมลพิษจึงได้มีการควบคุมการปล่อยน้ำเสียจากฟาร์มสุกร เพื่อให้มีการบำบัดน้ำเสียให้มีคุณภาพดีก่อนปล่อยสู่สิ่งแวดล้อม ซึ่ง มาตรฐานน้ำทึบมีค่ากำหนดดังตาราง 7

ตาราง 7 มาตรฐานน้ำทึบจากฟาร์มสุกร

พารามิเตอร์	หน่วย	ค่าสูงสุด	
		ประเภท ก.	ประเภท ข.
พีเอช	-	5.5-9	5.5-9
BOD	มิลลิกรัม/ลิตร	60	100
COD	มิลลิกรัม/ลิตร	300	400
SS	มิลลิกรัม/ลิตร	150	200
TKN	มิลลิกรัม/ลิตร	120	200

ที่มา กรมควบคุมมลพิษ (2546)

หมายเหตุ ประเภท ก ฟาร์มขนาดใหญ่ (ฟาร์มที่มีจำนวนสุกรตั้งแต่ 5,000 ตัวขึ้นไป)
 ประเภท ข ฟาร์มขนาดกลาง (ฟาร์มที่มีจำนวนสุกรในช่วง 500 – 5,000 ตัว)

งานวิจัยที่เกี่ยวข้อง

Habiba et al. (2009) ศึกษาการหมักร่วมระหว่างเศษผักผลไม้ร่วมกับตะกอน โดยศึกษาผลของของแข็งทั้งหมดคร่าวางเศษผักผลไม้ และตะกอนที่อัตราส่วนการหมักที่ต่างกันมีประสิทธิภาพต่อการหมัก อัตราส่วนของแข็งระหว่างของแข็งทั้งหมดคร่าวางเศษผักผลไม้ ต่อตะกอน (FVW:AS) ที่ 100:0, 65:35 และ 35 :65 ที่ระยะเวลาถูกเก็บ 20 วัน และที่อัตราส่วน (FVW:AS) ที่ 30:70, 20:80, 15:85, 10:90 และ 0:100 ที่ระยะเวลาถูกเก็บ 10 วัน โดยมีการควบคุมอุณหภูมิที่ 35 องศาเซลเซียส ผลการทดลองพบว่า การเพิ่มขึ้นของปริมาณเศษผักผลไม้มีผลทำให้อัตราในการผลิตก๊าซมีเทนเพิ่มขึ้น ซึ่งอยู่ในระหว่างร้อยละ 58- 60 ในขณะที่การย่อยตะกอนเพียงอย่างเดียวมีอัตราการผลิตก๊าซชีวภาพที่ 0.29 มิลลิลิตร $\text{CH}_4/\text{กรัม VS}_{\text{added}}$ ผลจากการทดลองการย่อยสลายร่วมระหว่างเศษผักผลไม้ และตะกอนที่อัตราส่วนที่ 30:70 สามารถกำจัดของแข็งระหว่างเวลาที่สุดที่ร้อยละ 88 และมีอัตราการผลิตก๊าซชีวภาพ 0.57 มิลลิลิตร $\text{CH}_4/\text{กรัม VS}_{\text{added}}$ ที่ระยะเวลาถูกเก็บ 10 วัน และมีอัตราการระบบรุกสารอินทรีย์ที่ 1.03 กิโลกรัม VS (ลูกบาศก์เมตร/วัน)

Burak and Paul (2009) ศึกษาการผลิตก๊าซชีวภาพโดยใช้วัตถุดินที่มีค่าความเป็นกรดสูง ในการทดลองได้ทำการหมักร่วมระหว่างน้ำเสีย และต้น Sugar Beet เพื่อใช้เป็นวัสดุหมักร่วม ทำการทดลองในสภาพ Mesophilic ซึ่งมีค่าพีเอช อยู่ที่ 3.3-3.4 ใช้ถังปฏิกรณ์ขนาด 6 ลิตร (ปริ-มาตรการหมัก 5.7 ลิตร) ทำการป้อนของเสียวันละครั้ง ที่ระยะเวลาถูกเก็บกันน้ำมี 9.5 และ 15 วัน กำหนดให้มีอัตราการระบบรุกสารอินทรีย์อยู่ในช่วง 6.35 และ 10 กิโลกรัม VS (ลูกบาศก์เมตร/วัน) พบว่า ที่ระยะเวลาถูกเก็บ 9.5 วัน ซึ่งมีอัตราการระบบรุกสารอินทรีย์อยู่ในช่วง 6.35 กิโลกรัม VS (ลูกบาศก์เมตร/วัน) สามารถผลิตก๊าซมีเทนได้สูงที่ 0.67 มิลลิลิตร $\text{CH}_4/\text{กรัม VS}_{\text{added}}$

Benjamin et al. (2001) ทำการศึกษาหาระดับประสิทธิภาพของการหมักร่วมโดยใช้มูลสุกรผสมกับมูลไก่ในอัตราส่วน 80:20 70:30 60:40 และ 50:50 โดยใช้ถังปฏิกรณ์แบบแบบท (Batch) ขนาด 125 มิลลิลิตร ทำการทดลองทั้งหมด 113 วัน ที่อุณหภูมิ 35 ± 2 องศาเซลเซียส ลักษณะของน้ำเสียจะมีค่า COD อยู่ในช่วง 9,750-17,400 มิลลิกรัม/ลิตร และค่าของแข็งระหว่างเท่ากับ 7,000-14,000 มิลลิกรัม/ลิตร ซึ่งอัตราส่วนที่ให้ประสิทธิภาพสูงสุดคือ 80:20 โดยปริมาตรซึ่งได้ค่าอัตราการเกิดก๊าซมีเทนเท่ากับ 0.13 มิลลิลิตร $\text{CH}_4/\text{กรัม VS}_{\text{added}}$

Callaghan et al. (2002) ทำการศึกษาการหมักร่วม เพื่อเพิ่มอัตราการเกิดก๊าซมีเทนโดยใช้ Substrate เป็นมูลวัว (CM) และเศษผักผลไม้ (FVW) โดยใช้ถังปฏิกรณ์ขนาด 18 ลิตร ที่อุณหภูมิ 35 องศาเซลเซียส ที่เวลาถูกเก็บ 21 วัน ใช้อัตราการระบบรุกสารอินทรีย์ที่ 3.15-5.01 กิโลกรัม VS (ลูกบาศก์เมตร/วัน) และใช้อัตราส่วน CM:FVW ที่ 100:0, 80:20, 70:30, 60:40 และ 50:50 เริ่มต้นระบบ โดยใช้มูลวัวเป็นเชื้อตั้งต้น ผลการทดลองพบว่า สามารถกำจัดของแข็งระหว่าง夷ได้ที่ร้อย

ละ 50 ของของแข็งระเหยที่เข้าสู่ระบบ และให้อัตราการเกิดก๊าซมีเทนในช่วง 0.23-0.45 มิลลิลิตร CH_4 /กรัม VS_{added} โดยที่อัตราส่วน 50:50 จะให้ค่าอัตราการเกิดก๊าซมีเทนสูงสุดที่ 0.45 มิลลิลิตร CH_4 /กรัม VS_{added}

Prasad and Jukka (2005) ได้ศึกษาการย่อยสลายสารอินทรีย์ภายใต้สภาวะไร้ออกซิเจนระหว่างน้ำเสียจากอุตสาหกรรมมันสำปะหลังร่วมกับมูลสุกรในระดับห้องปฏิบัติการ ได้ทำการย่อยสลายแบบกึ่งต่อเนื่อง โดยมีอัตราการป้อนสารอินทรีย์แบบต่อเนื่องที่ 2 ลูกบาศก์เมตร/กิโลกรัม VS_{added} อุณหภูมิ 35 องศาเซลเซียส อัตราส่วนการหมักร่วมระหว่างมูลสุกรร่วมกับน้ำเสียจากอุตสาหกรรมมันสำปะหลัง 100:0, 85:15 และ 80:20 ผลการทดลองพบว่า ที่อัตราส่วนการหมักร่วมระหว่างมูลสุกรร่วมกับน้ำเสียจากอุตสาหกรรมมันสำปะหลัง 100:0, 85:15 และ 80:20 ให้ผลผลิตมีเทนที่ 0.13–0.15, 0.21–0.24 และ 0.30–0.33 ลูกบาศก์เมตร/ กิโลกรัม VS_{added} ตามลำดับ แสดงให้เห็นว่าการหมักร่วมระหว่างมูลสุกรร่วมกับน้ำเสียจากอุตสาหกรรมมันสำปะหลังสามารถนำมาเป็นพลังงานทดแทน และสามารถนำมานำบัดของเสียในอุตสาหกรรมมันสำปะหลังได้

Xie et al. (2011) ศึกษาการย่อยสลายสารอินทรีย์ภายใต้สภาวะไร้ออกซิเจนของหญ้าหมักแห้งร่วมกับมูลสุกรในอัตราส่วนของ VS ที่ 100:0, 75:25, 50:50, 25:75 และ 0:100 ได้ประเมินการดำเนินของระบบและศักยภาพการผลิตก๊าซมีเทน ผลที่ได้พบว่า การหมักร่วมระหว่างหญ้าหมักแห้งร่วมกับมูลสุกรมีระยะเวลาการเกิดก๊าซมีเทนที่ต่างกันคือ 29.5, 28.1, 24.6 และ 21.3 วัน ของการหมักที่อัตราส่วน 100:0, 75:25, 50:50 และ 25:75 ตามลำดับ โดยในอัตราส่วนของหญ้าหมักแห้งร่วมกับมูลสุกรที่อัตราส่วน 75:25 และ 50:50 มีประสิทธิภาพในการผลิตก๊าซมีเทนได้สูงสุดที่ 304.2 และ 302.8 มิลลิลิตร CH_4 /กรัม VS_{added} ก๊าซมีเทนที่ผลิตขึ้นในแต่ละวันมีความสัมพันธ์กับความเข้มข้นของกรดอะซิติก ซึ่งบ่งบอกได้ว่า ก๊าซมีเทนมีความเกี่ยวข้องกับกระบวนการของจุลินทรีย์ที่ผลิตมีเทน

Lehtomaki et al. (2006) ศึกษาระบวนการย่อยสลายร่วมระหว่างมูลวัวร่วมกับเศษผัก ฟางข้าว และหญ้าเลี้ยงสัตว์เพื่อเบริญเทียนประสีทธิภาพการหมักโดยใช้มูลวัวเพียงอย่างเดียว โดยทำการทดลองในถังปฏิกรณ์ขนาด 5 ลิตร ที่อุณหภูมิ 35 องศาเซลเซียส ซึ่งใช้มูลวัวเป็นเชื้อตั้งต้น และมีอัตราส่วนมูลวัวร่วมกับเศษผัก ฟางข้าว และหญ้าเลี้ยงสัตว์ที่ 90:10 จนถึง 60:40 และเพิ่มอัตราการบรรทุกสารอินทรีย์เป็น 3 และ 4 กิโลกรัม และศึกษาระยะเวลา geken ที่ 16 และ 18 วัน ผลจากการทดลองการหมักร่วมระหว่างมูลวัวหมักร่วมกับเศษผัก ฟางข้าว และหญ้าเลี้ยงที่อัตราส่วน 70:30 มีอัตราการเกิดก๊าซมีเทนสูงสุดที่ 229 213 และ 268 มิลลิลิตร CH_4 /กรัม VS_{added} ตามลำดับ เมื่อเบริญเทียนกับการหมักโดยใช้มูลวัวเพียงอย่างเดียวมีอัตราการเกิดก๊าซมีเทนเท่ากับ 150 มิลลิลิตร CH_4 /กรัม VS_{added}

บทที่ 3

อุปกรณ์และวิธีการวิจัย

อุปกรณ์ในการวิจัย

อุปกรณ์

1. เครื่องสเปกโตรโฟโตมิเตอร์ (Spectrophotometer: Spectronic genesis 5,

Germany)

2. ตู้อบลมร้อน (Hot Air Oven: Memmert/ UM 500 , Norway)

3. หม้อนึ่งความดันไอน้ำ (Autoclave: Hirayama, Model HVE – 50, Japan)

4. เครื่องวนสารด้วยแม่เหล็กและให้แทนความร้อน (Magnetic Stirrer& Hot plate: Clifton cerastis,)

5. เครื่องวัดความเป็นกรด – ด่าง (pH Meter: Satorius, Model PP -50, Germany)

6. ตู้ปลอดเชื้อ (Laminar Air Fow Cabinet: Forma Scientific, Model 1285, USA)

7. ตู้บ่มเพาะเชื้อ (Incubator: Binder, Model ED240 (E2), Norway)

8. อ่างน้ำควบคุมอุณหภูมิ (Water Bath: Memmert, Model TW 20, USA)

Switzerland)

9. เครื่องชั่ง 2 ตำแหน่ง (Analytical Balance: Metter Toledo/ PL 3002,

UK)

10. เครื่องชั่ง 4 ตำแหน่ง (Analytical Balance: Precisa/ 62 A, Switzerland)

11. เครื่องปั่นเหวี่ยงแบบควบคุมอุณหภูมิ (Centrifuge: MSE, Model Harrier 18/80,

12. เครื่องเขย่าผสม (Vortex Mixer: Vortex genic2, USA)

13. ตู้แช่แข็ง -20 °C (Sharp/ FC27)

14. เครื่องกลั่นหาปริมาณไนโตรเจน (Nitrogen apparatus: Buchi/ K-424)

15. เครื่องดักไออกซ์ (Nitrogen apparatus: Buchi/ B-414)

16. เครื่องกลั่น (Nitrogen apparatus: Buchi/ K-350)

17. เครื่องโคมากาฟ/แมสสเปกโตรมิเตอร์ (Gas chomatograph/ mass spectrometer: Agilent 6890/ HP5973)

18. กล้องจุลทรรศน์เลนส์ประกอบ (Compound Microscope with Image Analysis System)

19. จานเพาะเชื้อ (Petri dish)
20. กระบอกตวง (Cylinder)
21. แผ่นสไลด์และแผ่นกระจกปิดสไลด์ (Slide and Cover glass)
22. ตะเกียงแอลกอฮอล์ (Alcohol Burner)
23. ห่วงถ่ายเชื้อ (Loop)
24. ตะแกรงวางหลอดทดลอง (Rack)
25. ไนโตรปีเปต 100- 1000 ul (Micropipette)
26. ไนโตรปีเปต 20-200 ul (Micropipette)
27. หลอดไนโตรทิวบ์ (Microcentrifuge tube)
28. บีกเกอร์ (Beaker)
29. ขวดรูปช่ำพุ่มน้ำด 250 มิลลิลิตร (Erlenmeyer flask)
30. ขวด Duran
31. ถูซิเบิล (Crucible)
32. หลอดทดลอง (Test tube)
33. แท่งแก้วคนสาร (Stirring Rod)
34. ปีเปต (Pipette)
35. บิวเรตต์ (Burette)
36. ขวดวัดปริมาตร (Volumetric flask)
37. กระดาษกรองไยเก้า GF/C
38. โถดุดความชื้น
39. หลอด COD
40. หลอดตัวอย่าง (Digestion tube)

สารเคมีและน้ำยาทดสอบ

1. Sodium chloride (NaCl)
2. Glycerol
3. Hydrogen peroxide (H_2O_2)
4. Glucose
5. Potassium Dichromate ($K_2Cr_2O_7$)

6. Sulfuric acid (H_2SO_4)
7. Silver sulfate ($AgSO_4$)
8. Ferroin
9. Ammonium ferrous sulphate (FAS)
10. Phenolphthalein
11. Methyl orange
12. Sodium hydroxide (NaOH)
13. Mixed indicator
14. Boric acid 4%
15. Potassium sulfate (K_2SO_4)
16. Copper sulfate ($CuSO_4 \cdot 5H_2O$)
17. Hydrochloric acid (HCl)
18. Sodium Carbonate Anhydrous (Na_2CO_3)

ตัวอย่างอาหารหมักดองภาคเหนือ และพืชอาหารสัตว์หมัก

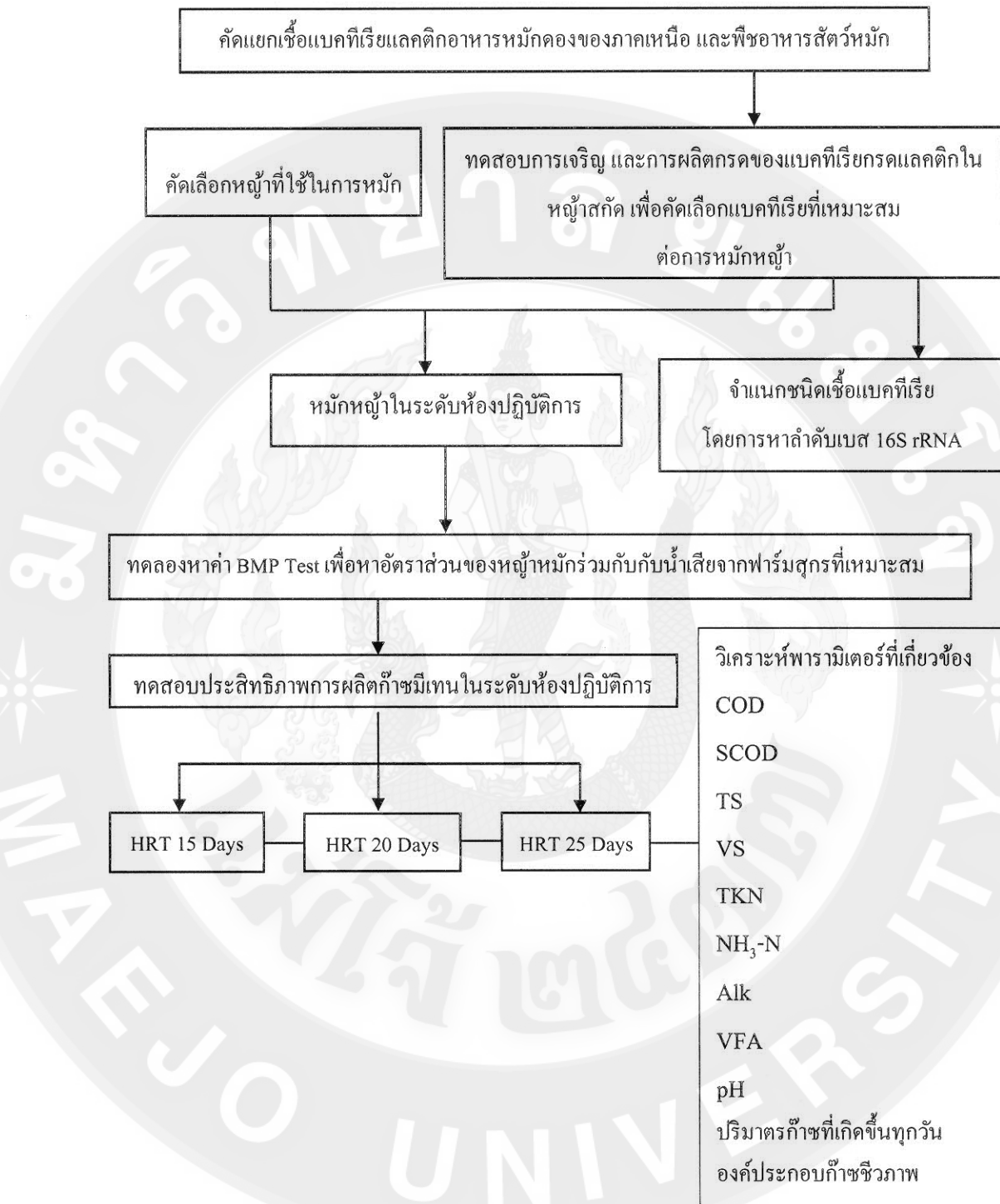
- | | |
|--|--|
| 1. เมี่ยง | ตลาดแม่โข่ อ.สันทราย จ.เชียงใหม่ |
| 2. พักกาดคง | ตลาดแม่โข่ อ.สันทราย จ.เชียงใหม่ |
| 3. กะหล่ำปลีดองตลาดหนองอุบสก อ.สันทราย จ.เชียงใหม่ | |
| 4. พักเสี้ยนคง | ตลาดแม่โข่ อ.สันทราย จ.เชียงใหม่ |
| 5. หมูเนเปียร์หมัก | บริษัท ยูโรซี โกลบล็อก จำกัด (มหาชน) อ.แม่แตง
จ.เชียงใหม่ |
| 6. ข้าวโพดหมัก | ฟาร์มโคนม อ.แม่วาง จ.เชียงใหม่ |

อาหารเลี้ยงเชื้อ

1. Men Rogosa Sharp Agar (MRS)
2. M17 Base Agar (M17)

หญ้า

1. หญ้ากินนี (*Panicum maximum*)
2. หญ้ารูซิส (*Brachiaria ruziziensis*)
3. หญ้าขัน (*Brachiaria mutica*)
4. หญ้าค่า (*Imperata Cylindrica Beauv*)



ภาพ 4 สรุปขั้นตอนการดำเนินการวิจัย

วิธีการดำเนินการวิจัย

การคัดแยกแบคทีเรียกรดแผลติก

1. การเตรียมตัวอย่าง

ตัวอย่างที่นำมาทดสอบจำนวน 6 ชนิด ได้แก่ ตัวอย่างอาหารหมักดองของภาคเหนือ จำนวน 4 ชนิด คือ เมี่ยง ผักกาดดอง กะหล่ำปลีดอง ผักเสียงดอง ตัวอย่างจากพืชอาหารสัตว์หมัก จำนวน 2 ชนิด คือ หอยนางเปียร์หมัก และข้าวโพดหมัก นำตัวอย่างชนิดละ 25 กรัม นำมาเจือจางในโถเดี่ยมกลอไรด์เข้มข้น 0.85 เปอร์เซนต์ ที่ผ่านการฆ่าเชื้อแล้วปริมาตร 225 มิลลิลิตร ต่อจากนั้นทำการเจือจาง (Serial Dilution) จนถึง 10^{-5} ปีเปตตัวอย่างที่เจือจางปริมาตร 0.1 มิลลิลิตร เกลี่ยสารละลายของเชื้อ (Spread-Plate) บนอาหารแข็งสูตร MRS และ M17 Agar จากนั้นนำไปบ่มในโถไร้ออกซิเจน (Anaerobic Jar) ที่อุณหภูมิ 37 องศาเซลเซียส เป็นเวลา 48 ชั่วโมง สังเกตลักษณะของโคลoni และนับจำนวนโคลoni ที่เกิดขึ้นในอาหารเดี่ยงเชื้อทั้งสองชนิด จากนั้นสุ่มเลือกโคลoni ที่มีลักษณะแตกต่างกัน นำมาทำใช้บริสุทธิ์ด้วยเทคนิค Cross Streak บนอาหารเดี่ยงเชื้อสูตร MRS และ M17 Agar บ่มในโถไร้ออกซิเจน ที่อุณหภูมิ 37 องศาเซลเซียส เป็นเวลา 48 ชั่วโมง

2. การศึกษาลักษณะทางสัณฐานของแบคทีเรียกรดแผลติกที่แยกได้

นำโคลoni เชื้อที่คัดเลือกมาทดสอบโดยการข้อมสีแบบแกรม (Gram's Staining) เพื่อศึกษาลักษณะสัณฐานวิทยา รูปร่าง และการติดสีแกรม ภายใต้กล้องจุลทรรศน์

3. การทดสอบการสร้างเอนไซม์คATALASE (Catalase Enzyme) (Garbutt, 1997)

ทดสอบการละลายไฮโดรเจนเปอร์ออกไซด์ความเข้มข้น 3 เปอร์เซนต์ ลงบนแผ่นกระჯานสไลด์ จากนั้นแตะโคลoni ที่บริสุทธิ์ที่เตรียมไว้มาขี้ยลงบนแผ่นกระჯานสไลด์ สังเกตผล หากมีฟองกําชาเกิดขึ้น แสดงผลเป็นบวก (เชื้อจุลินทรีย์ชนิดนี้สามารถสร้างเอนไซม์คATALASE ได้) แสดงผลลบ (เชื้อจุลินทรีย์ชนิดนี้ไม่สามารถสร้างเอนไซม์คATALASE ได้) เลือกเฉพาะโคลoni ที่ไม่เกิดฟองกําชาไว้ใช้ในขั้นตอนต่อไป

4. การเก็บรักษาเชื้อแบคทีเรียกรดแผลติก

นำโคลoni ที่บริสุทธิ์มาลีบงลงในอาหารเหลวสูตร MRS บ่มในโถไร้ออกซิเจน ที่อุณหภูมิ 37 องศาเซลเซียส เป็นเวลา 48 ชั่วโมง เพื่อทำเป็น Stock Culture โดยเก็บรักษาในกลีเซอรอลความเข้มข้น 20 เปอร์เซนต์ จากนั้นจึงนำไปเก็บที่อุณหภูมิ -20 องศาเซลเซียส เพื่อใช้สำหรับการศึกษาต่อไป

ทดสอบการเจริญ และการผลิตกรดแอลกอติกของแบคทีเรียกรดแอลกอติกในน้ำผักกาด เพื่อคัดเลือกแบคทีเรียที่เหมาะสมต่อการหมักหอย

1. การเตรียมน้ำหอย

นำหอยกินน้ำและหอยขันสดตัวอย่างละ 500 กรัม ตัดให้มีขนาด 0.5-1 เซนติเมตร ต่อ น้ำกลั่นปริมาตร 5 ลิตร นำไปปั่นให้ละเอียด กรองน้ำหอยด้วยผ้าขาวบาง จากนั้นนำน้ำหอยผสมกับโซเดียมคลอไรด์เข้มข้น 0.85 เปอร์เซนต์ และกลูโคสเข้มข้น 1 เปอร์เซนต์ ในอัตราส่วน 1:2 ปริมาตร 100 มิลลิลิตร นำเข้าท่ออุณหภูมิ 121 องศาเซลเซียส เป็นเวลา 15 นาที (Saarisalo, 2007)

2. การเตรียมกล้าเชื้อแบคทีเรียกรดแอลกอติก

เตรียมตัวอย่างแบคทีเรียกรดแอลกอติกที่ต้องการทดสอบให้เท่ากับสารละลาย McFarland Standards No.0.5 นำไปวัดความถูกต้องด้วยเครื่อง Spectrophotometer ที่ความยาวคลื่น 600 นาโนเมตร โดยใช้ค่าการคูณกันแล้วใส่ในช่วง 0.09-0.1 ซึ่งมีเชื้อปริมาณเท่ากับ 1×10^8 CFU/ มิลลิลิตร แล้วเจือจางตัวอย่างแบคทีเรียกรดแอลกอติกในโซเดียมคลอไรด์เข้มข้น 0.85 เปอร์เซนต์ หลังจากนั้นปลูกเชื้อแบคทีเรียที่ต้องการทดสอบลงในน้ำหอยสักด้วยมีประมาณเชื้อเริ่มต้นเท่ากับ 1×10^4 CFU/มิลลิลิตร บ่มที่อุณหภูมิ 37 องศาเซลเซียส โดยเก็บตัวอย่างทุก 12 ชั่วโมง โดยทดสอบดังต่อไปนี้

2.1. วัดปริมาณเชื้อแบคทีเรียกรดแอลกอติกโดยปีเปตตัวอย่างปริมาตร 1 มิลลิลิตร นำมาเจือจางในโซเดียมคลอไรด์เข้มข้น 0.85 เปอร์เซนต์ ให้มีระดับความเจือจางที่เหมาะสม นำมาเพาะเลี้ยงบนอาหารเลี้ยงเชื้อสูตร MRS และ M17 Agar ด้วยวิธีการ Pour Plate บ่มในโถไร้ออกซิเจน ที่อุณหภูมิ 37 องศาเซลเซียส เป็นเวลา 48 ชั่วโมง นับจำนวนโคโลนีที่เกิดขึ้น โดยนับจำนวนเพาะเชื้อที่มีโคโลนี อยู่ในช่วง 30-300 โคโลนี คำนวณจำนวนเชื้อแบคทีเรียกรดแอลกอติกทั้งหมด ดังสมการ

$$\frac{\text{จำนวนเชื้อแบคทีเรียกรดแอลกอติก}}{(\text{โคโลนีต่อมิลลิลิตร})} = \frac{\text{จำนวนโคโลนีที่นับได้}}{\text{Dilution Factor}}$$

2.2. วัดค่าการเจริญของแบคทีเรียกรดแอลกอติกโดยวัดค่าการคูณกันแล้วด้วยเครื่อง Spectrophotometer ที่ 600 นาโนเมตร

2.3. วัดค่าพีเอชด้วยเครื่องวัดพีเอช

2.4. วัดปริมาณกรดแอลกอติกโดยวิธี Titratable Acidity (AOAC, 1990)

นำตัวอย่างปริมาตร 2 มิลลิลิตร ในขวดรูปทรงพู่ขนาด 250 มิลลิลิตร เติมน้ำกลั่นปริมาตร 20 มิลลิลิตร นำไปต้มให้เดือด ตั้งทึงไว้ในอุณหภูมิห้องจนเย็น หยดฟีโนอล์ฟทาลิน 2-3 หยด นำไปไถเตรทด้วยสารละลายน้ำตาลโซนโซเดียมไฮดรอกไซด์ ความเข้มข้น 0.01 นอร์ಮอล จนกระทั่งสารละลายตัวอย่างจากสีใสเปลี่ยนเป็นสีชมพู คำนวณปริมาณกรดแอลกอติก ดังสมการ

$$\text{ร้อยละกรดแอลกอติก} = \frac{(N \times V_1 \times 90.08 \times 100)}{1000 \times V_2}$$

N = ความเข้มข้นของสารละลายน้ำตาลโซนโซเดียมไฮดรอกไซด์ (N)

V_1 = ปริมาตรของสารละลายน้ำตาลโซนโซเดียมไฮดรอกไซด์ที่ใช้ในการไถเตรทด้วยสารละลายน้ำตาลโซนโซเดียมไฮดรอกไซด์ (มิลลิลิตร)

V_2 = ปริมาตรของสารตัวอย่างที่ใช้ (มิลลิลิตร)

90.08 = น้ำหนักโมเลกุลของกรดแอลกอติก (กรัม/โมล)

จำแนกชนิดเชื้อแบคทีเรีย โดยการหาลำดับเบส 16S rRNA

1. การสกัดดีเอ็นเอของเชื้อแบคทีเรีย

นำเชื้อบริสุทธิ์เพาะเลี้ยงในอาหารเหลวสูตร MRS และนำไปบ่มที่อุณหภูมิ 37 องศาเซลเซียส นาน 24 ชั่วโมง จากนั้นแยกเซลล์แบคทีเรียออกจากอาหารเหลว MRS โดยการนำไปบ่มเหนี่ยง 10,000 รอบ/นาที เป็นเวลา 5 นาที เซลล์แบคทีเรียจะแตกตะกอนอยู่ที่ก้นหลอด Eppendorf Tube ทำการสกัดดีเอ็นเอของเชื้อแบคทีเรียด้วยชุดสกัดดีเอ็นเอสำเร็จรูป Genomic DNA Mini Kit (Blood/Cultured Cell) (Gene Aid, Taiwan)

2. การเพิ่มปริมาณดีเอ็นเอด้วยเทคนิค PCR (Polymerase Chain Reaction) และตรวจสอบความบริสุทธิ์ของผลิตภัณฑ์ PCR (PCR Product) ด้วยการโรสเจลอะลีกโพรไฟซ์ (Agarose Gel Electrophoresis)

นำดีเอ็นเอของเชื้อแบคทีเรียมาเพิ่มปริมาณด้วยเทคนิค PCR ด้วยเครื่อง PCR Master Cycler Personal โดยใช้ Primer กีอ 27F (5'AGAGTTTGATCMTGG CTCAG-3') และ 1522R (5' AAGGAGGTGATCCRCCGCA -3') จากนั้นตรวจสอบ PCR Product ด้วย Agarose Gel Lectrophoresis โดยนำเจลไปส่องภายใต้แสงอัลตราไวโอเลตด้วยเครื่อง Transluminator ทำให้สังเกตเห็นแบบของดีเอ็นเอปรากฏขึ้น จากนั้นนำ PCR Product ของชิ้นส่วน 16S rDNA ที่ได้มาทำ

ให้บริสุทธิ์ ด้วยชุด GEL/PCR DNA Fragments Extraction Kit ดีอีนแอบรรจุอยู่ภายใน Eppendorf Tube และนำไปเก็บไว้ที่ -20 องศาเซลเซียส

3. การจำแนกชนิดของเชื้อแบคทีเรีย โดยการหาลำดับเบสในส่วนของยีน 16S rRNA

นำ PCR product ที่ทำให้บริสุทธิ์แล้ววิเคราะห์หาลำดับเบสในส่วนของยีน 16S rRNA โดยในการวิจัยครั้งนี้ได้จัดส่งไปหาลำดับเบสที่บริษัท First BASE Laboratories ณ ประเทศมาเลเซีย และนำลำดับเบสที่ได้ไปเปรียบเทียบกับฐานข้อมูล โดยใช้โปรแกรม BLAST ของ The National Center for Biotechnology Information (NCBI) (<http://www.ncbi.nlm.nih.gov>) เพื่อรับรายพันธุ์ของเชื้อแบคทีเรีย

การคัดเลือกหญ้าที่ใช้ในการหมัก

ในการเลือกตัวแทนหญ้าที่ใช้ในการหมักพิจารณาผลผลิตต่อไปต่อไปเป็นหลัก และนอกเหนือนี้ยังพิจารณาถึงอายุการเก็บเกี่ยวรวมด้วย ซึ่งหญ้าที่มีอายุน้อยจะมีองค์ประกอบทางเคมีต่ำกว่าหญ้าที่มีอายุมาก โดยคัดเลือกหญ้าที่มีการเจริญเติบโต และแตกกอได้ดี มีจำนวนใบมาก ตั้งแต่เป็นกอ เพื่อย่างต่อการเก็บเกี่ยว จำนวน 4 ชนิด ได้แก่ หญ้ารูซี่ หญ้ากินนี หญ้าคา และหญ้าขัน ซึ่งทำการตัดที่อายุประมาณ 45-50 วัน ตัดให้มีขนาด 1-2 เซนติเมตร จากนั้นนำไปอบที่อุณหภูมิ 60 องศาเซลเซียส เป็นเวลา 48 ชั่วโมง บดให้ละเอียดแล้วร่อนผ่านตะกรงขนาด 1 มิลลิเมตร นำไปวิเคราะห์ทางค์ประกอบทางเคมีของหญ้า ประกอบด้วย วัตถุแห้ง (Dry Matter) , โปรตีนหยาบ (Crude Protein), เศ้า (Ash), ปริมาณเยื่อใยหยาบ (Crude Fiber), ไขมัน (Ether Extract) ตามวิธีการของ Association of Official Analytical Chemists (1995) และปริมาณเยื่อไอลีฟ (Neutral Detergent Fiber), ปริมาณเยื่อไอลีด (Acid Detergent Fiber)

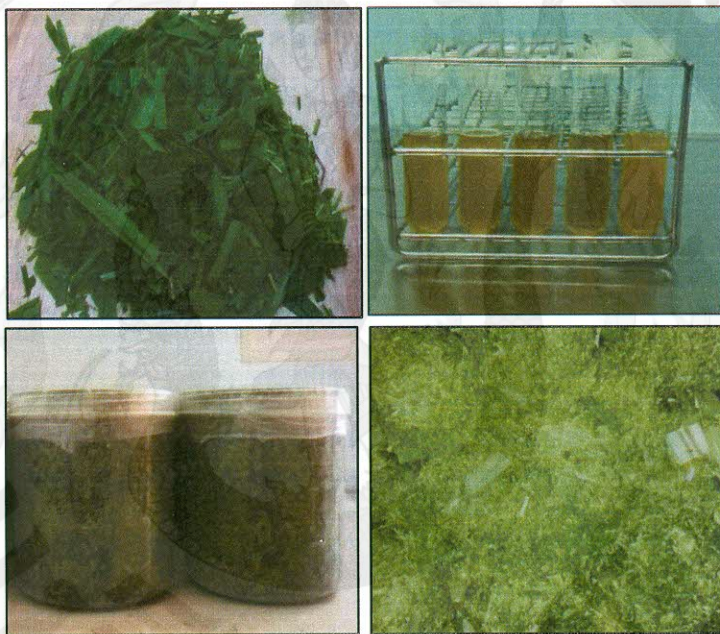
เลือกหญ้าที่มีองค์ประกอบทางเคมีที่อยู่ในเกณฑ์ที่เหมาะสม มากทำการหมักในระดับห้องปฏิบัติการ

การทำหญ้าหมักในระดับห้องปฏิบัติการ

1. การเตรียมกล้ามเชื้อแบคทีเรียกรดแดคติก

นำเชื้อแบคทีเรียกรดแดคติกจำนวน 3 โลโซลูต (คัดเลือกได้จากข้อ 1) มาทำการเพาะเลี้ยงในอาหารเพาะเลี้ยงเชื้อสูตร MRS Broth ปั่นในโถไวร์ออกซิเจน ที่อุณหภูมิ 37 องศา-

เซลเซียส เป็นเวลา 48 ชั่วโมง เตรียมตัวอย่างแบปคทีเริยกรดแลคติกให้เท่ากับสารละลายน้ำ McFarland Standards No.0.5 ซึ่งมีจำนวนเชื้อประมาณ 1×10^8 CFU/มิลลิลิตร จากนั้นเลือจังตัวอย่างแบปคทีเริยกรดแลคติกปริมาตร 1 มิลลิลิตร ในโซเดียมคลอ-ไพร็อตเข้มข้น 0.85 เปอร์เซ็นต์ ปริมาตร 9 มิลลิลิตร ให้ได้ความเข้มข้นของเชื้อเริ่มต้นประมาณ 1×10^6 CFU/กรัมของวัสดุหมัก หลังจากนั้นปลูกเชื้อแบปคทีเริยที่ต้องการทดสอบลงในภาชนะที่มีฝาเกลี่ย瓦ลีคอกขนาด 1.5 ลิตร ที่มีหัวสูดขนาด 2-3 เซนติเมตร อัดหัวสูดลงภาชนะให้แน่นเพื่อไม่ล้าอากาศออกให้มากที่สุด แล้วปิดฝาภาชนะให้สนิทในสภาพไร้ออกซิเจน ที่อุณหภูมิห้องเป็นเวลา 30 วัน (ภาพ 5)



ภาพ 5 การหมักหัวสูดในระดับห้องปฏิบัติการ

2. การเก็บตัวอย่างหัวสูดหมัก

เก็บตัวอย่างหัวสูดหมักโดยใช้ปากคีบ (ทำให้ปลอดเชื้อก่อนใช้ โดยจุ่มแลอกซอลส์ 95 เปอร์เซ็นต์ แล้วผ่านเปลวไฟ ทิ้งให้เย็นประมาณ 15 วินาที ก่อนใช้งาน) คีบตัวอย่างออกจากภาชนะ เพื่อนำมาวิเคราะห์ห้องคปะกอบทางเคมีในห้องปฏิบัติการ

3. การวิเคราะห์ตัวอย่างหัวสูดหมัก

นำตัวอย่างหัวสูดหมักที่ได้อบที่อุณหภูมิ 60 องศาเซลเซียส เป็นเวลา 48 ชั่วโมง บดผ่านตะแกรงขนาด 1 มิลลิลิตร และนำไปวิเคราะห์ห้องคปะกอบทางเคมี ได้แก่

3.1 วัตถุแห้ง (Dry Matter), โปรตีนหยาบ (Crude Protein), เศ้า (Ash), ปริมาณเยื่อใยหยาบ (Crude Fiber), ไขมัน (Ether Extract) และปริมาณเยื่อใย NDF (Neutral Detergent Fiber), ปริมาณเยื่อใย ADF (Acid Detergent Fiber)

3.2 วัดค่าพีเอช และปริมาณกรดแอลกอลิก กรดอะซิติก กรดบิวทิริก และไพรพิโอนิก ด้วยเครื่อง GC-MS

3.3 ตรวจนับปริมาณแบคทีเรียกรดแอลกอลิกในตัวอย่างหญ้าหมักด้วยวิธีนับนาตรฐาน (Standard Plate Count) บนอาหารแข็งสูตร MRS และ M17 Agar จำนวนนำไปปั่นในโถ-ไรร์ออกซิเจน ที่อุณหภูมิ 37 องศาเซลเซียส เป็นเวลา 48 ชั่วโมง สังเกตลักษณะของโคโลนี และนับจำนวนโคโลนีที่เกิดขึ้น

เลือกหญ้าหมักที่มีคุณภาพการหมักที่ดี และมีปริมาณเยื่อใยหยาบ (Crude Fiber) ปริมาณเยื่อใย NDF (Neutral Detergent Fiber), และปริมาณเยื่อใย ADF (Acid Detergent Fiber) สูง ที่สุด ไปทำการทดสอบในขั้นต่อไป

การทดลอง Biochemical Methane Potential เพื่อศึกษาอัตราส่วนการหมักร่วมที่เหมาะสม

1. การทำ BMP Test

ในการทดลองหาศักยภาพในการผลิตก๊าซมีเทนจะใช้อัตราส่วนการหมักในรูปของของแข็งระหว่างน้ำเสียจากฟาร์มสุกรร่วมกับหญ้าหมักในอัตรา 50:50, 60:40 และ 70:30 (v/v) ในขวดปริมาตร 1000 มิลลิลิตร (ปริมาตรการหมัก 800 มิลลิลิตร) (ภาพ 6) และเติมตะกอนหัวเชื้อปริมาตร 10 เปอร์เซ็นต์ของชุดการทดลอง ปิดขวดการทดลองให้สนิท นำไปต่อเข้ากับชุดเก็บก๊าซโดยใช้วิธีแทนที่น้ำ โดยอุปกรณ์วัดก๊าซจะบรรจุด้วยสารละลายโซเดียมไฮดรอกไซด์ความเข้มข้น 1.5 เปอร์เซ็นต์ ปริมาตร 30 ลิตร หยดฟินอล์ฟทาลีน (จนสารละลายมีสีชมพูเข้ม) ปริมาณก๊าซมีเทนทั้งหมดจะถูกเก็บสะสมไว้ในชุดเก็บก๊าซ จากนั้นทำการบันทึกค่าปริมาณก๊าซมีเทนที่เกิดขึ้นตามระยะเวลาที่กำหนดจนกระทั่งไม่พบปริมาณของก๊าซมีเทนที่เกิดขึ้น ซึ่งในการทดลองจะควบคุมอุณหภูมิให้อยู่ในช่วง 35 ± 2 องศาเซลเซียส เมื่อสิ้นสุดการทดลองทำการวัดค่าพีเอชทันที จำนวนนำตัวอย่างที่ได้ไปทำการวิเคราะห์ค่าซีโอดี (COD) กรดไขมันระเหยง่าย (VFA) สภาพด่าง (Alk) ของแข็งทั้งหมด (TS) ของแข็งระหว่างหมอด (VS) ในไตรเจนทั้งหมด (TKN) และแอมโมเนีย-ในไตรเจน ($\text{NH}_3\text{-N}$) เพื่อศึกษาศักยภาพการเกิดก๊าซมีเทนสูงสุด (สถาบันวิจัยและพัฒนาพลังงาน, 2552)



ภาพ 6 ชุดการทดลองที่ใช้ในการทดลอง

2. การวิเคราะห์ข้อมูล

นำผลการทดลองที่ได้มาศึกษาศักยภาพในการผลิตก๊าซมีเทนของเสียตามอัตราส่วนที่แตกต่างกัน โดยอาศัยปริมาณก๊าซมีเทนที่วัดได้แต่ละวัน นำมาพล็อตกราฟแสดงปริมาณก๊าซมีเทนสะสมตามระยะเวลาที่ทำการทดลอง และนำค่าปริมาณก๊าซมีเทนสะสมทั้งหมดลบปริมาณก๊าซมีเทนสะสมที่เกิดจากเชื้อตั้งต้นเพียงอย่างเดียว เพื่อนำปริมาณก๊าซมีเทนที่เกิดขึ้นจริงมาคำนวณหาค่าอัตราการผลิตก๊าซมีเทน (Total Specific Methane Yield) ของของเสียในรูปของ Volatile Solid ที่ป้อนเข้าระบบ ซึ่งผลการวิเคราะห์ส่วนผสมในขวดทดลองเริ่มต้นและถึงสุดการทดลอง เป็นค่าที่ใช้ในการประเมินประสิทธิภาพของระบบ ดังสมการต่อไปนี้

$$\text{อัตราการผลิตก๊าซมีเทน} = \frac{\text{ปริมาณของก๊าซมีเทนสะสมทั้งหมด (มล.)} - \text{ปริมาณของก๊าซมีเทนสะสมจากเชื้อ (มล.)}}{\text{กรัมของ VS ที่ป้อนเข้า}}$$

$$(มล./กг.VS_{added})$$

ข้อมูลที่ได้จากการวิเคราะห์ ทำให้ทราบถึงปริมาณมีเทนสูงสุดที่สามารถผลิตได้และประสิทธิภาพการย่อยสลายสารอินทรีย์ในรูป VS อย่างไรก็ตาม การออกแบบระบบก๊าซชีวภาพให้เหมาะสมกับการนำไปใช้จริงจะต้องทำการทดลองด้วยการเดินระบบแบบต่อเนื่อง เพื่อศึกษาระยะเวลาถูกเก็บ และวิธีการเดินระบบที่เหมาะสม

การทดสอบประสิทธิภาพการผลิตก้าชมีเทนในระดับห้องปฏิบัติการ

ข้อมูลที่ได้จากการศึกษาอัตราส่วนการหมักของน้ำเสียจากฟาร์มสุกร และญ้าหมัก ในอัตราส่วนการหมัก 50:50, 60:40 และ 70:30 (v/v) โดยเลือกใช้อัตราส่วนที่ให้ค่าการเกิดมีเทนจำเพาะที่ได้จากการทดลองหาศักยภาพการเกิดมีเทนสูงสุดมาดำเนินการทดลอง คือ ที่ อัตราส่วนการหมักของน้ำเสียจากฟาร์มสุกร และญ้าหมัก ในอัตราส่วนการหมัก 70:30 และทำการศึกษาการทดลองที่ระยะเวลาเก็บกีบที่ 15 20 และ 25 วัน โดยทำการเปรียบเทียบประสิทธิภาพในการกำจัดสารอินทรีย์ในรูป Volatile Solid (VS) ที่สามารถย่อยสลายให้กล้ายเป็นก้าชมีเทน ได้รวมทั้งอัตราการผลิตก้าชมีเทน

1. การเตรียมวัสดุหมักร่วม

1.1 ญ้าหมัก

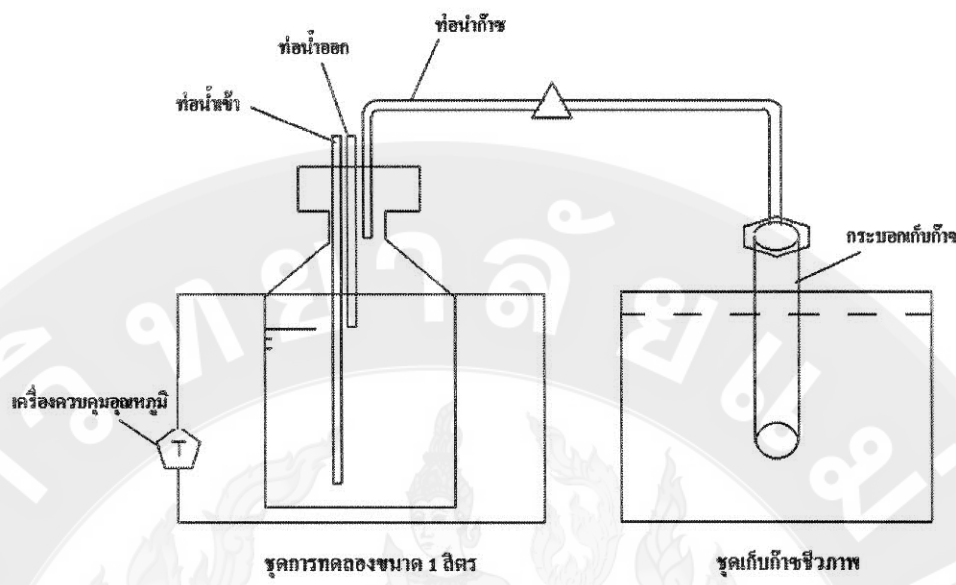
ตัดญ้าสดให้มีขนาด 2-3 เซนติเมตร ลงในภาชนะที่มีฝาเกลียวล็อกขนาด 1.5 ลิตร จากนั้นเติมเชือแบคทีเรียกรดแลคติก ปิดฝาภาชนะให้สนิทในสภาวะไร์ออกซิเจน ที่อุณหภูมิห้อง เป็นเวลา 30 วัน

1.2. แบบจำลองของชุดการทดลอง

ชุดการทดลองที่ใช้ในการทดลองของศึกษาประสิทธิภาพการผลิตก้าชมีเทนของน้ำเสียจากฟาร์มสุกรและญ้าหมักในรูปแบบการหมักย่อยร่วม (ภาพ 7) โดยแบบจำลองที่ใช้ในการดำเนินการวิจัยมีรายละเอียดดังนี้

ก. ชุดการทดลองเป็นขวดบริมาตร 1000 มิลลิลิตร ที่ฝาบนของชุดการทดลองติดตั้งหัวนำก้าชซึ่งเป็นสายยางพลาสติกสำหรับนำก้าชไปยังชุดเก็บก้าช และหัวสำหรับการเติมน้ำเสีย และระบายน้ำเสียออกจากชุดการทดลอง

ข. ชุดเก็บก้าชทำจากขวดพลาสติกขนาด 600 มิลลิลิตร ด้านล่างของขวดจะระบุเข้มต่อกับชุดการทดลอง และอีกสายหนึ่งใช้เพื่อสำหรับปล่อยก้าชออก (Gas Releasing) ซึ่งในการเก็บตัวอย่างก้าชจะใช้หลักการแทนที่น้ำโดยการวัดปริมาณก้าชที่เกิดขึ้นในแต่ละวัน



ภาพ 7 แบบจำลองของชุดการทดลอง

2. การดำเนินการทดลอง

เริ่มต้นระบบโดยนำตัวgonหัวเชื้อจากบ่อหมักแบบไวร์ออกซิเจนจากฟาร์มสุกรของคุณแแดง พรหมมนิทร์ ในการทดลองใช้เชือตั้งตันมีค่าของแข็งแขวนลอย และของแข็งระเหยง่ายเท่ากับ 18,975 และ 15,180 มิลลิกรัม/ลิตร โดยนำตัวgonหัวเชื้อมาใส่ยังชุดการทดลองปริมาตร 10 เปอร์เซ็นต์ของชุดการทดลอง เติมน้ำเสียจากฟาร์มสุกรที่ผสมกับวัสดุหมักร่วมเข้าชุดการทดลองเพื่อให้ตัวgonหัวเชื้อปรับสภาพให้เข้ากับน้ำเสียเป็นเวลา 1 สัปดาห์ จนครบปริมาตรการหมักสั่งเกตองค์ประกอบของมีเทน หลังจากนั้นจึงเริ่มเดินระบบโดยการป้อนน้ำเสียตามปริมาตรที่กำหนดไว้ตามระยะเวลา กักเก็บน้ำ

หลังจากปรับสภาพน้ำเสียจากฟาร์มสุกรและหญ้าหมักที่ใช้ในการทดลอง โดยสั่งเกตการเกิดก๊าซชีวภาพที่เกิดขึ้นในแต่ละวัน จากนั้นป้อนน้ำเสียเข้าสู่ระบบตามอัตราส่วนที่ใช้ในการทดลอง โดยทำการทดลองที่เวลา กักเก็บ 15, 20 และ 25 วัน ในชุดการทดลองขนาด 1 ลิตร (ปริมาตรการหมัก 800 มิลลิลิตร) จากนั้นทำการเก็บตัวอย่างของน้ำเข้า และน้ำออกจากระบบ ก๊าซชีวภาพที่เกิดขึ้นในแต่ละวัน และวิเคราะห์องค์ประกอบของก๊าซสัปดาห์ละ 3 ครั้ง ทำการเดินระบบจนเข้าสู่สภาวะคงที่ (เมื่อความแปรปรวนของค่าซีโอดีในน้ำออกมีค่าที่ค่อนข้างคงที่หรือใช้ระยะเวลาในการเดินระบบไม่น้อยกว่า 2 เท่าของระยะเวลา กักเก็บ) พารามิเตอร์ที่ทำการวิเคราะห์และวิวิเคราะห์ที่ใช้ (ตาราง 8)

ทำการวิเคราะห์ค่าพารามิเตอร์ตาม Standard Method for the Examination of Water and Wastewater (American Public Health Association, 1998)

ตาราง 8 พารามิเตอร์ที่ทำการวิเคราะห์

พารามิเตอร์	ตัวอย่าง	ความถี่	วิธีการวิเคราะห์
pH	น้ำเข้า น้ำออก	ทุกวัน	pH Meter
COD	น้ำเข้า น้ำออก	3 ครั้ง/สัปดาห์	Close Reflux Method
VS	น้ำเข้า น้ำออก	3 ครั้ง/สัปดาห์	Gravimetric Method
VSS	น้ำเข้า น้ำออก	3 ครั้ง/สัปดาห์	Gravimetric Method
VFA	น้ำเข้า น้ำออก	3 ครั้ง/สัปดาห์	GC-MS
Alkalinity	น้ำเข้า น้ำออก	3 ครั้ง/สัปดาห์	Titration Method
TKN	น้ำเข้า น้ำออก	3 ครั้ง/สัปดาห์	Kjedahl Method
ปริมาณก๊าซ	ก๊าซชีวภาพ	ทุกวัน	เครื่องวิเคราะห์องค์ประกอบ
องค์ประกอบก๊าซ	ก๊าซชีวภาพ	3 ครั้ง/สัปดาห์	ก๊าซชีวภาพ (BIOGAS 5000)

3 การวิเคราะห์ข้อมูลทางสถิติ

การวิเคราะห์ข้อมูลทางสถิติทำโดยโปรแกรม SPSS V.16 โดยเปรียบเทียบด้วยวิธี One-Way ANOVA ที่ระดับความเชื่อมั่น 95 เปอร์เซ็นต์ และเลือกใช้การบ่งชี้จุดต่าง โดยวิธี Duncan

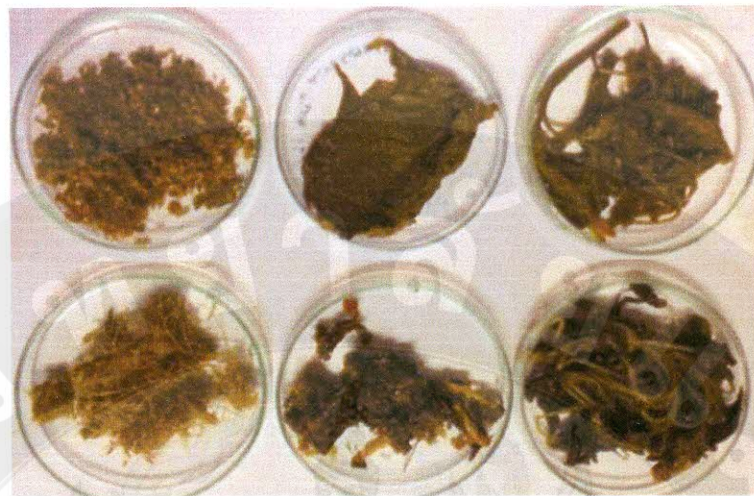
บทที่ 4

ผลและอภิปรายผลการทดลอง

การศึกษานี้แบ่งการทดลองออกเป็น 5 การทดลองคือ การทดลองที่ 1 คัดเลือกแบบที่เรียกรดแลคติกที่เหมาะสมต่อการหมักญ้าวที่สามารถผลิตกรดแลคติก และเจริญได้ดี การทดลองที่ 2 คือ คัดเลือกญ้าว ได้แก่ ญ้าวซี ญ้าวคินนี ญ้าวขัน และญ้าวคา โดยเลือกจากองค์ประกอบของญ้าวที่อยู่ในเกลนที่เหมาะสมต่อการหมัก การทดลองที่ 3 คัดเลือกเชื้อแบบที่เรียกรดแลคติกที่มีประสิทธิภาพในการผลิตญ้าวหมัก การทดลองที่ 4 ศึกษาศักยภาพในการผลิตก๊าซมีเทนจากการหมักร่วมระหว่างน้ำเสียจากฟาร์มสุกร และญ้าวหมักในระดับห้องปฏิบัติการโดยการปรับสภาพก่อนการหมักด้วยแบบที่เรียกรดแลคติกสายพันธุ์ *L. plantarum* 107 ที่อัตราส่วน 50:50, 60:40 และ 70:30 การทดลองที่ 5 ศึกษาผลของระยะเวลาකเก็บต่อประสิทธิภาพการนำบดน้ำเสียจากการหมักร่วมระหว่างน้ำเสียจากฟาร์มสุกรกับญ้าวหมักซึ่งจะใช้อัตราส่วนระหว่างน้ำเสียจากฟาร์มสุกรกับญ้าวหมักที่อัตราส่วน 70:30 โดยใช้ชุดการทดลองขนาด 1 ลิตร (ปริมาตรการหมัก 800 มิลลิลิตร) ที่ระยะเวลาเก็บ 15, 20 และ 25 วัน ซึ่งผลการทดลอง และการวิเคราะห์ผลแสดงในหัวข้อต่อไปนี้

ผลการแยกเชื้อแบบที่เรียกรดแลคติก

คัดเลือกเชื้อแบบที่เรียกรดแลคติกจากตัวอย่างที่นำมาทดสอบจำนวน 6 ชนิด ได้แก่ ตัวอย่างอาหารหมักดองของภาคเหนือ จำนวน 4 ชนิด คือ เมือง พัກกาดดอง กะหลាปnie ดอง พักเสี้ยนดอง และตัวอย่างจากพืชอาหารสัตว์หมัก จำนวน 2 ชนิด คือ ญ้าวเนเปียร์หมัก และ ข้าวโพดหมัก (ภาพ 8) มาทำการคัดแยก และตรวจนับจำนวนของแบบที่เรียกรดแลคติกที่ในอาหารเพาะเดี้ยงเชื้อสูตร MRS และ M17 Agar ด้วยเทคนิค Spread Plate บ่มเชื้อที่อุณหภูมิ 37 องศาเซลเซียส ในสภาวะไร้ออกซิเจน เป็นเวลา 48 ชั่วโมง และทำการสุ่มเก็บโคลoni ตามลักษณะสัณฐานวิทยาที่แตกต่างกันมาทำให้บริสุทธิ์ด้วยการ Cross Streak เพื่อศึกษาในขั้นต่อไป



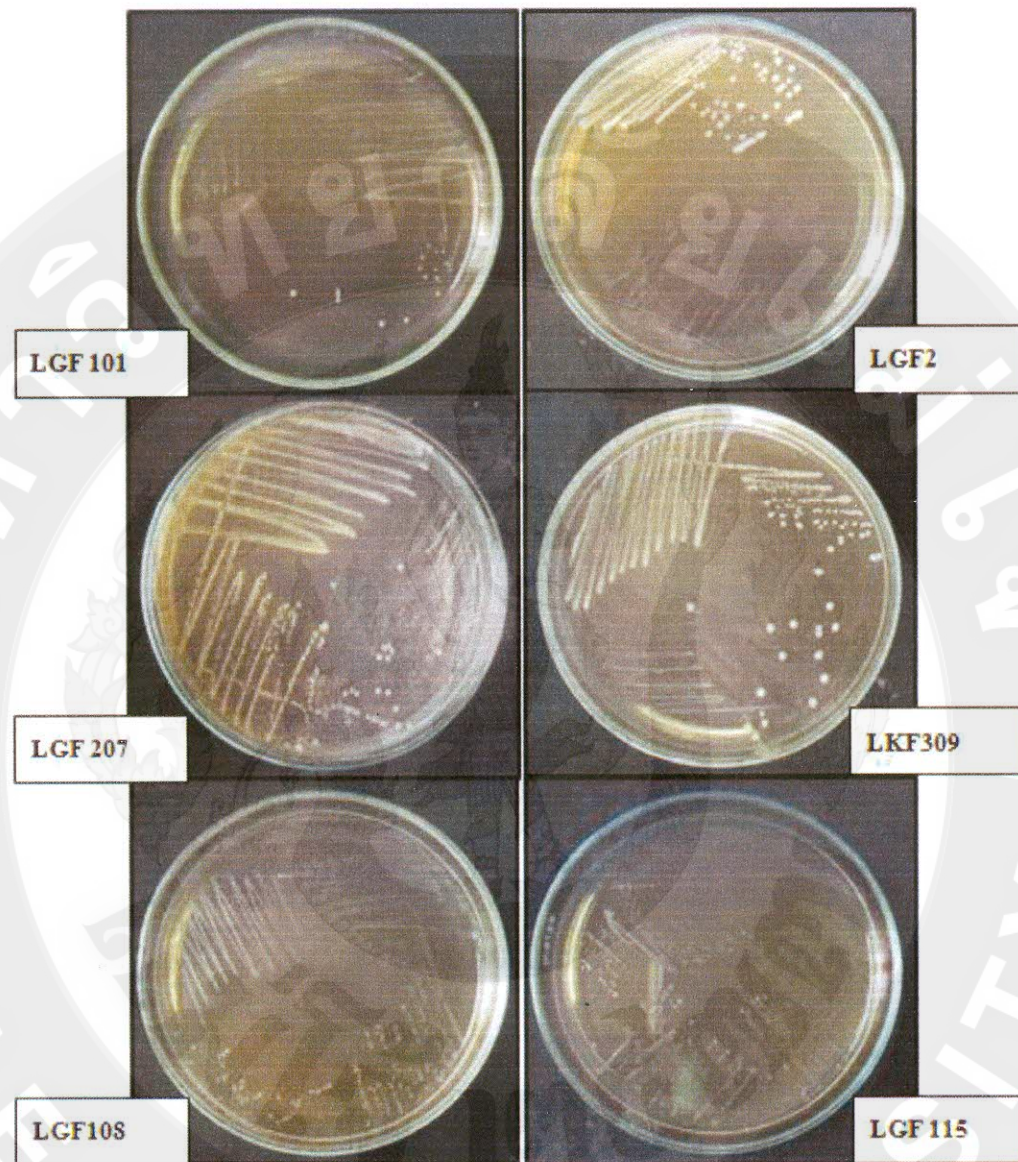
ภาพ 8 ตัวอย่างที่ใช้ในการคัดแยกเชื้อ

จากการคัดแยกแบคทีเรียกรดแลคติกจากตัวอย่าง พบร้า ลักษณะโคโลนีของแบคทีเรียกรดแลคติกที่เจริญบนสูตรอาหารดังกล่าว จะมีลักษณะโคโลนีที่แตกต่างกันออกไป ซึ่งสามารถคัดแยกแบคทีเรียกรดแลคติกได้ทั้งหมดจำนวน 137 ไอโซเลต บนอาหาร MRS Agar จำนวน 79 ไอโซเลต และอาหาร M17 Agar จำนวน 58 ไอโซเลต (ตาราง 9) และจากการสังเกต ลักษณะโคโลนีของแบคทีเรียกรดแลคติกที่แยกได้จากตัวอย่างทั้งหมด พบร้า สีของโคโลนีมีทั้งสีขาว และสีขาวขุ่น ลักษณะโคโลนีค่อนข้างทึบแสง บริเวณรอบๆ โคโลนีมีลักษณะกลม (Circular) ขอบเรียบ (Entire) บริเวณด้านบนของโคโลนีมีลักษณะแบบราบ (Flat) แบบบุบ (Raised) แบบโค้งบุบ (Convex) และแบบบุบตรงกลางเล็กน้อย (Umbonate) ขนาดของโคโลนีมีทั้งขนาดใหญ่มีเส้นผ่านศูนย์กลางประมาณ 2-3 มิลลิเมตร ขนาดเล็กมีเส้นผ่านศูนย์กลางประมาณ 0.5-1 มิลลิเมตร (ภาพ 9) โดยลักษณะโคโลนีแบคทีเรียกรดแลคติกที่พบดังกล่าว มีลักษณะทั่วไปของแบคทีเรียกรดแลคติก (Kandler and Weiss, 1993)

ตาราง 9 จำนวนเชื้อแบคทีเรียแผลติกที่แยกได้จากอาหารหมักพื้นเมืองและพืชอาหารสัตว์ในเขต
จังหวัดเชียงใหม่

ลำดับ	ชนิดตัวอย่าง	จำนวนแบคทีเรียแผลติก (ໄໂໂນເລກ)	
		MRS Agar	M17 Agar
1.	ผักกาดดอง	17	12
2	เมี่ยง	10	8
3	ผักเสี้ยนดอง	11	9
4.	กระหล้าดอง	12	10
5	ต้มข้าวโพดหมัก	11	6
6	หมูเนเปิร์หมัก	18	13
รวม		79	58

สำหรับจำนวนแบคทีเรียกรดแลคติกที่อยู่ในตัวอย่างอาหารหมักดอง และพืช
อาหารสัตว์หมักทั้ง 6 โดยจำนวนเฉลี่ยของแบคทีเรียกรดแลคติกอยู่ในช่วง 10^4 - 10^5 CFU/กรัมของ
ตัวอย่าง ซึ่งช่วงที่ตรวจเชื้อดังกล่าวมีค่าใกล้เคียงกับการศึกษาของ ทองเลียน (2541; สุรีลักษณ์,
2554) ที่พบว่า จำนวนของแบคทีเรียกรดแลคติกที่แยกได้จากอาหารหมักดอง และพืชอาหารสัตว์
หมักมีค่าอยู่ในช่วง 10^4 - 10^6 CFU/กรัมของตัวอย่าง

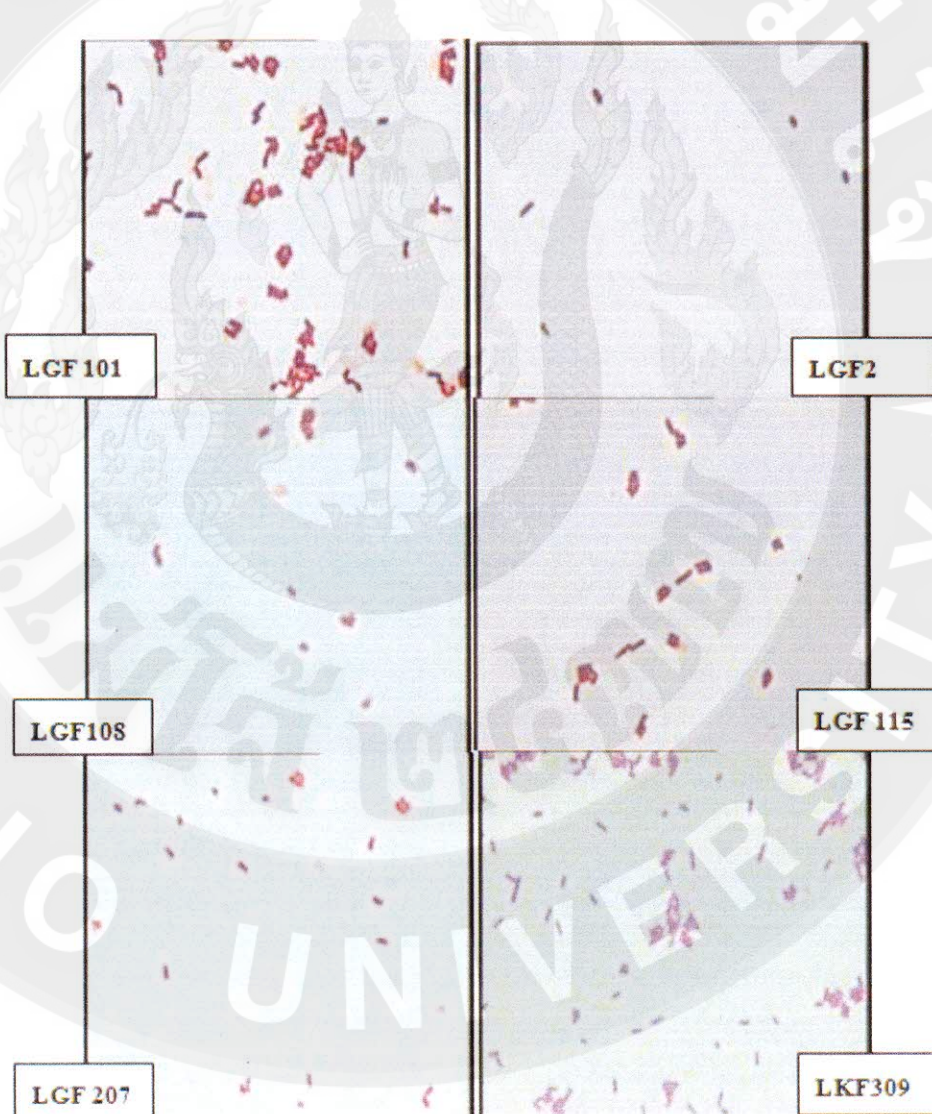


ภาพ 9 ลักษณะโคโนนีของแบคทีเรียกรดแลคติกที่แยกจากเหลืองต่างๆ

นำตัวอย่างของแบคทีเรียกรดแลคติกที่บริสุทธิ์ นำไปศึกษาลักษณะทางด้านสัณฐานทางวิทยา โดยการย้อมสีแกรมเพื่อตรวจสอบดูรูปร่าง และการจัดเรียงตัวของเชื้อแบคทีเรีย ได้แก่ ติดสีแกรมบวก ซึ่งมีลักษณะรูปร่างของเซลล์ทั้งแบบท่อน และแบบกลม บางลักษณะของเซลล์คือรูปห่อหันออกกลมรี

การจัดเรียงตัวเซลล์แบบท่อนจะมีการจัดเรียงตัวต่อกันเป็นสายโซ่ เป็นคู่ ขนาดของเซลล์จะแตกต่างกันออกไป (ภาพ 10)

หลังจากที่มีการทดสอบการสร้างonen ไซม์คะยะเลส พบร้า แบบคทีเรียกรดแลคติกไม่เกิดปฏิกิริยากับสารไฮโดรเจนperอ็อกไซด์ ซึ่งใหผลเป็นลบ ซึ่งจากการทดสอบทางชีวเคมีของแบบคทีเรียกรดแลคติก พบร้า ได้แบบคทีเรียกรดแลคติกจำนวน 87 ไอโซเลท ซึ่งแบ่งเป็นเชื้อแบบคทีเรียแกรมบวกกรุปร่างท่อน จำนวน 79 ไอโซเลท เชื้อแบบคทีเรียแกรมบวกกรุปร่างกลม จำนวน 8 ไอโซเลท

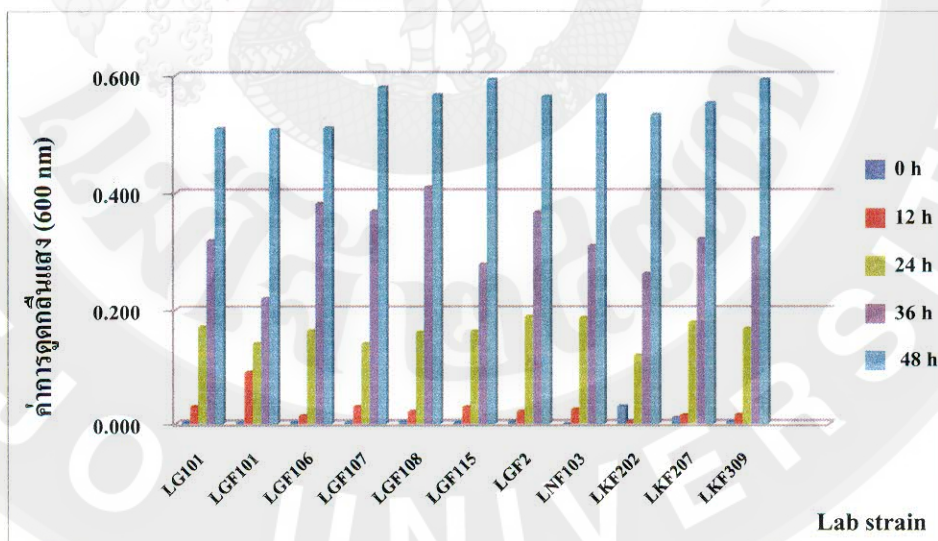


ภาพ 10 การจัดเรียงตัวของเซลล์ของแบบคทีเรียกรดแลคติกที่แยกจากแหล่งต่างๆ

**ผลการทดสอบการเจริญ และการสร้างกรดของ
แบคทีเรียกรดแลคติกในน้ำผึ้งสกัด**

ผลของการเจริญของแบคทีเรียกรดแลคติก

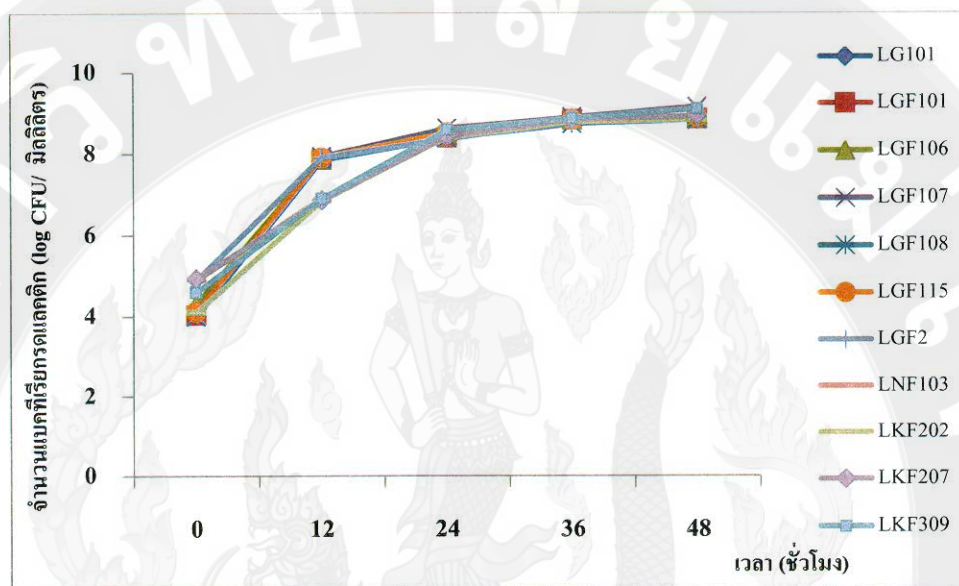
จากการนำเชื้อแบคทีเรียกรดแลคติกที่คัดแยกได้มาเพาะเลี้ยงในน้ำผึ้งสกัดที่ อุณหภูมิ 37 องศาเซลเซียสในสภาวะ ไร้ออกซิเจน โดยวิเคราะห์ความแตกต่างทางสถิติ Analysis of Variance (ANOVA) และวิเคราะห์ความแตกต่างระหว่างค่าเฉลี่ยด้วยวิธี Duncan's multiple range test ด้วยโปรแกรม SPSS พบร้า แบคทีเรียกรดแลคติกจำนวน 11 ไอโซเลท (LG101, LGF101, LGF106, LGF107, LGF108, LGF115, LGF2, LNF103, LNF202, LNF207 และ LNF309) สามารถเจริญได้สูงกว่าไอโซเลಥื่นๆ (ภาพ 11) โดยสามารถเจริญเติบโตได้สูงที่สุด (OD_{600} ที่ 0.508-0.593) ซึ่งมีค่าใกล้เคียงกับงานวิจัยของ Akerberg et al. (1998); Yumoto and Ikeda (1995) พบร้า เชื้อแบคทีเรียกรดแลคติกสามารถเจริญได้สูงสุด เมื่อบ่มที่อุณหภูมิ 33-37 องศาเซลเซียส เป็นเวลา 48 ชั่วโมง โดยมีค่าการเจริญของแบคทีเรียที่ $OD_{600} = 0.530-0.660$



ภาพ 11 การเจริญของแบคทีเรียกรดแลคติกในน้ำผึ้งสกัดที่ $OD_{600 \text{ nm}}$

เมื่อทำการนับจำนวนแบคทีเรียกรดแลคติกโดยทำการเก็บตัวอย่างทุก 12 ชั่วโมง ที่ อุณหภูมิ 37 องศาเซลเซียส ในสภาวะ ไร้ออกซิเจน ซึ่งการเจริญของแบคทีเรียกรดแลคติกทั้ง 11 ไอโซเลท สามารถเจริญได้สูงสุดในชั่วโมงที่ 24-48 ซึ่งมีปริมาณเซลล์สูงสุดโดยเฉลี่ยที่ $10^8 - 10^9 \text{ CFU}/$

มิลลิลิตร ซึ่งพบว่า แบคทีเรีย LGF107 มีปริมาณเซลล์ที่ $9.14 \text{ log CFU/ มิลลิลิตร}$ รองลงมาคือ LGF115 และ LNF309 มีปริมาณเซลล์ที่ 9.10 และ $9.09 \text{ log CFU/ มิลลิลิตร}$ ส่วน LG101, LGF101, LGF106, LGF108, LGF2, LNF103, LNF202 และ LNF207 มีปริมาณเซลล์ที่ $8.82-8.89 \text{ log CFU/ มิลลิลิตร}$ ตามลำดับ (ภาพ 12)



ภาพ 12 จำนวนแบคทีเรียกรดแลคติกในน้ำหมู้าสกัด

ผลทดสอบการผลิตกรดแลคติกของแบคทีเรียกรดแลคติก

ผลการทดสอบความสามารถในการผลิตกรดแลคติกที่คัดแยกได้โดยการปลูกเชื้อลงในน้ำหมู้าสกัด ที่อุณหภูมิ 37 องศาเซลเซียส พบว่า แบคทีเรียกรดแลคติกจำนวน 11 ไอโซเลท สามารถผลิตกรดแลคติกได้ประมาณสูงสุดที่ร้อยละ 1.7-2.1 (ดังภาพ 13) ซึ่งผลที่ได้ใกล้เคียงกับผลการทดลองของ Marques et al. (2008) ได้ศึกษาการผลิตกรดแลคติกในน้ำทึ้งจากโรงงานผลิตเยื่อกระดาษ พบร่วมกับ แบคทีเรียสามารถผลิตกรดแลคติกได้ร้อยละ 1.1 และ Beatriz et al. (2004) ได้ใช้น้ำแข็งข้าวโพดเป็นแหล่งอาหารในการเจริญของแบคทีเรียกรดแลคติก หลังจากบ่มเป็นเวลา 48 ชั่วโมง พบร่วมกับ แบคทีเรียสามารถผลิตกรดแลคติกถึงร้อยละ 2.1 และงานวิจัยของ Kimaryo et al. (2000; Sanni et al, 2002) ได้คัดเลือกแบคทีเรียกรดแลคติกที่สามารถย่อยเซลลูโลสจากมันสำปะหลัง และข้าวพืช พบร่วมกับ แบคทีเรียกรดแลคติกมีความสามารถในการย่อยแป้ง และผลิตกรดแลคติกได้ถึงร้อยละ 1.2



ภาพ 13 การผลิตกรดแลคติกของแบคทีเรียกรดแลคติกที่ 48 ชั่วโมง

ผลการทดสอบการเจริญ และการผลิตกรดของแบคทีเรียกรดแลคติกในน้ำหล่อสักด เป็นเวลา 48 ชั่วโมง พบว่า ในช่วงเริ่มน้ำหล่อสักดมีค่าพีเอชเท่ากับ 5.3 ซึ่งแบคทีเรียกรดแลคติกจะอาศัยน้ำตาลกลูโคสจากน้ำหล่อสักดเป็นแหล่งพลังงานเพื่อใช้ในการสร้างกรดแลคติก ทำให้ค่าพีเอชมีค่าที่ลดลง โดยที่เวลา 48 ชั่วโมง มีค่าพีเอชเท่ากับ 3.8-4.1 ซึ่งเป็นช่วงที่แบคทีเรียสามารถผลิตกรดแลคติกได้ดีที่สุด ซึ่งสอดคล้องกับรายงานของ McDonald et al. (1991; Muck, 1991) ที่พบว่า ค่าพีเอชเหมาะสมสำหรับการผลิตกรดแลคติกของแบคทีเรียรวมจะค่าระหว่าง 3.8 - 4.6

เมื่อวิเคราะห์ความแตกต่างทางสถิติ แบคทีเรียกรดแลคติกจำนวน 11 ไอโซเลท มีประสิทธิภาพการเจริญ และการผลิตกรดแลคติกที่แตกต่างกันอย่างมีนัยสำคัญทางสถิติ โดย แบคทีเรียกรดแลคติกรหัส LGF107, LGF115 และ LNF309 มีประสิทธิภาพในการเจริญได้ดี (OD_{600} ที่ 0.580, 0.593 และ 0.593) และผลิตกรดแลคติกได้สูงสุดเท่ากับ 2.10 ตามลำดับ (ตาราง 10)

ตาราง 10 ประสิทธิภาพการเจริญ และการผลิตกรดแลคติกของแบคทีเรียกรดแลคติก

ไอโซเลท	OD600nm	(ร้อยละ) กรดแลคติก	พีอีช
LG101	0.510 ^b c	2.00 ^a b	4.1 ^{abc}
LGF101	0.508 ^b c	1.80 ^{abc}	3.2 ^a
LGF106	0.511 ^b c	1.80 ^{abc}	4.0 ^{abc}
LGF107	0.580 ^a	2.10 ^a	3.9 ^{ab}
LGF108	0.567 ^{ab}	1.80 ^{abc}	4.1 ^{abc}
LGF115	0.593 ^a	2.10 ^a	3.4 ^a
LGF2	0.564 ^{ab}	2.00 ^{ab}	4.1 ^{abc}
LNF103	0.566 ^{ab}	1.80 ^{abc}	3.6 ^a
LKF202	0.533 ^{abc}	1.80 ^{abc}	4.0 ^{ab}
LKF207	0.553 ^{abc}	1.70 ^{abc}	4.1 ^{abc}
LKF309	0.593 ^a	2.10 ^a	4.0 ^{ab}

F-test

*

*

*

หมายเหตุ ค่าเฉลี่ยที่ตามด้วยตัวอักษรที่เหมือนกันในแนวตั้ง ไม่มีความแตกต่างกันทางสถิติ เมื่อ
เปรียบเทียบค่าเฉลี่ยโดยวิธี DMRT ที่ระดับความเชื่อมั่น 95 เปอร์เซ็นต์

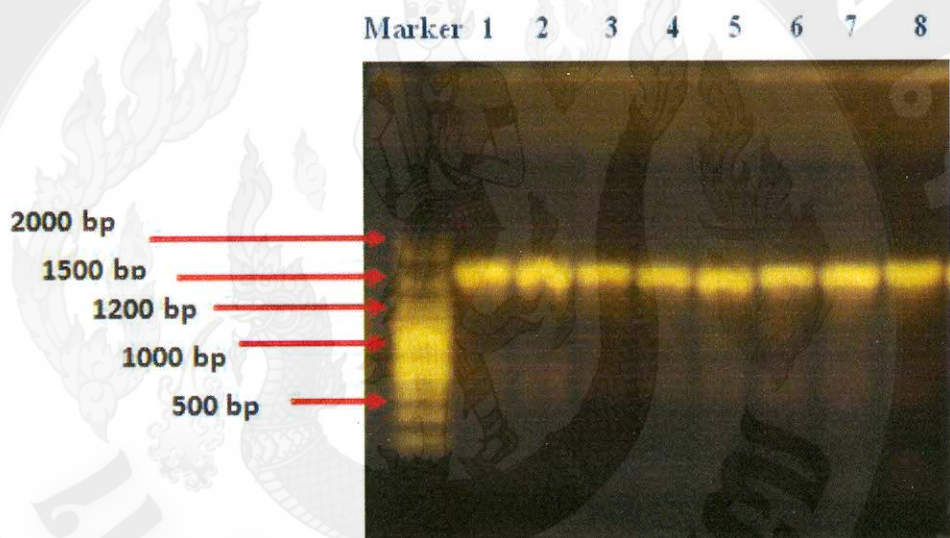
ดังนั้น ในการทดลองนี้จึงคัดเลือกแบคทีเรียกรดแลคติกที่มีประสิทธิภาพในการ
เจริญได้ดี และการผลิตกรดแลคติกได้สูงที่สุดจำนวน 3 ไอโซเลท คือ LGF107, LGF115 และ
LNF309 เพื่อใช้เป็นหัวเชื้อในการปรับสภาพเบื้องต้นของหญ้ามักในขั้นตอนต่อไป

ผลการจำแนกสายพันธุ์ของเชื้อแบคทีเรียกรดแลคติก

โดยการคัดบันเบสในส่วนของยีน 16S rRNA

หลังจากที่ศึกษาลักษณะสัณฐานทางวิทยาของแบคทีเรียกรดแลคติก และทดสอบ
การเจริญและการผลิตกรดแลคติกในหญ้าสักด้ พนวจ ปัจจัยที่ต้อง พิจารณา คือ ความสามารถในการ
การเจริญ และการผลิตกรดแลคติกที่สูง มีชีวิตродในกระบวนการผลิต จากนั้นคัดเลือกแบคทีเรีย-
กรดแลคติกจำนวน 8 ไอโซเลท ที่มีการผลิตกรดแลคติกสูง มาสักดีอีนเอดดี้ชุดสักดีอีนเอ-
สำเร็จรูป Genomic DNA Mini Kit (Blood/Cultured Cell) (Geneaid, Taiwan) และเพิ่มปริมาณ

ชั้นส่วนของยีน 16S rRNA ด้วยเทคนิค PCR โดยใช้ไพรเมอร์ 27F และ 1522R ตรวจสอบ PCR Product โดยการทำ Agarose Gel Electrophoresis ได้ PCR Product ของยีน 16S rRNA มีขนาดประมาณ 1,500 คู่เบส (ภาพ 14) จากการวิจัยครั้งนี้ ดำเนินการวิเคราะห์หาลำดับเบสของยีน 16S rRNA โดยบริษัท First BASE ประเทศไทย จำกัด นำมาระบุใน NCBI โดยใช้โปรแกรม Bio Edit เมื่อเป็นสายดีเอ็นเอที่ต่อเนื่องกันแล้วนำเอาลำดับเบสที่ได้ไปเปรียบเทียบกับลำดับเบสในฐานข้อมูลใน The National Center for Biotechnology Information (NCBI) ได้ผลการวิเคราะห์ ลำดับเบสของยีน 16S rRNA ดังนี้ (ภาพ 15-17)



ภาพ 14 ขนาดของดีเอ็นเอ ที่ได้จากการทำ PCR ในส่วนของยีน 16s rRNA

หมายเหตุ: Lane Marker คือ O' GeneRuler™ 100bp Plus DNA Ladder
 Lane 1-8 คือขนาดของดีเอ็นเอที่ได้จากการทำ PCR ของเชื้อแบคทีเรียไอโซเลท LG101, LGF101, LGF106, LGF107, LGF108, LGF115, LGF2, LNF103, LNF202, LNF207 และ LNF309 ตามลำดับ

CATGATTACATTGAGTGAGTGGCGAAGTGGTAGTAACACGTGGAAACCTGCCAGAACGG
 GGGATAACACCTGGAAACAGATGCTAATACCGATAACAACCTGGACCGATGGCCAGTTGA
 AAGATGGCTCGGCTATCACTTTGGATGGTCCCGCGCGTATTAGCTAGATGGTAGGTAACGGC
 TCACCATGGCAATGATACTAGCCGACCTGAGAGGGTAATCGGCCACATTGGACTGAGACACGG
 CCCAAACTCCTACGGGAGGCAGCAGTAGGGAATCTTCACAATGGACGAAAGTCTGATGGAGCAA
 CGCCCGCGTAGTGAAGAAGGGTTGGCTCGTAAAACCTCTGTTAAAGAAGAACATATCTGAG
 AGTAACCTGTTAGGTATTGACGGTATTAAACCAGAAAGCCACGGCTAACTACGTGCCAGCAGCCG
 CGGTAATACGTAGGTGGCAAGCGTTGCCGATTATTGGCGTAAAGCGAGCGCAGGCGTTTT
 TTAAGTCTGATGTAAAAGCCTCGGCTAACCGAAGAAGTGCATCGAAACTGGAAACTTGAGT
 GCAGAAGAGGACAGTGGAACTCCATGTGTAGCGGTAAATCGTAGATATATGAAAGAACACCA
 GTGGCGAAGGCGGCTGTCTGGCTGTAACTGACGCTGAGGCTCGAAAGTATGGTAGCAAACAGG
 ATTAGATAACCTGGTAGTCCATACCGTAAACGATGAATGCTAAGTGTGGAGGGTTCCGCCCTC
 AGTGCTGCAGCTAACGCTTAAGCATTCCGCCTGGGAGTACGGCCGCAAGGCTGAAAC

ภาพ 15 ลำดับเบสของ DNA ในส่วนของยีน 16S rRNA ของแบคทีเรียไอโซเลต LGF 107

GCTTGCAC TGAAATGAGATTTAACACGAAGTGAGTGGCGGACGGGTGAGTAACACGTGGTAACC
 TGCCCAGAACGAGGGATAACACCTGGAAACAGATGCTAATACCGTATAACAGAGAAAACGCC
 TGGTTTCTTAAAGATGGCTCTGCTATCACTCTGGATGGACCCGCGCGCATTAGCTAGTTG
 GTGAGGTAACGGCTCACCAAGGCGATGATGCGTAGCCGACCTGAGAGGGTAATCGGCCACATTGG
 GACTGAGACACGGCCCAGACTCCTACGGGAGGCAGCAGTAGGGAATCTTCACAATGGACGCAA
 GTCTGATGGAGCAACGCCCGTGAGTGAAGAAGGGTTGGCTCGTAAAGCTCTGTTAAAGA
 AGAACGTGGGTGAGAGTAACGTTACCCAGTGACGGTATTAAACCAGAAAGCCACGGCTAACTA
 CGTGCACGCCCGGTAATACGTAGGTGGCAAGCGTTATCCGGATTATTGGCGTAAAGCGA
 GCGCAGGGGGCTTTAACTGAAAGCCTCGGCTAACCGAAGAAGTGCATTGGAAAC
 TGGGAGACTTGAGTGCAGAAGAGGACAGTGGAACTCCATGTTAGCGGTAAATCGTAGATATA
 TGGAAAGAACACCAGTGGCGAAGGCGGCTGTCTGGCTGTAACTGACGCTGAGGCTCGAAAGCATG
 GGTAGCGAACAGGATTAGATAACCTGGTAGTCCATGCCGTAAACGATGATTACTAAGTGTGGAG
 GGTTCCGCCCTCAGTGCTGCAGCTAACGCTTAAGTAATCCGCCTGGGAGTACGACCG

ภาพ 16 ลำดับเบสของ DNA ในส่วนของยีน 16S rRNA ของแบคทีเรียไอโซเลต LGF115

GCATCATGATTACATTGAGTGAGTGGCGAACTGGTGAGTAACACGTGGAAACCTGCCAGAA
 GCGGGGGATAACACGTGGAAACAGATGCTAATACCGATAACAACATTGGACCGCATGGTCCGAGT
 TTGAAAGATGGCTTCGGCTATCACTTTGGATGGTCCC CGCGTATTAGCTAGATGGTGGGTAA
 CGGCTCACCATGGCAATGATA CGTAGCCGACCTGAGAGGGTAATGGCCACATTGGACTGAGAC
 ACGGCCAAACTCCTACGGGAGGCAGCAGTAGGAAATCTCCACAATGGACGAAAGTCTGATGGA
 GCAACGCCCGTGAGTGAAGAAGGGTT CGGCTCGTAAA ACTCTGTTAAAGAAGAACATATC
 TGAGAGTAACTGTT CAGGTATTGACGGTATTAACCAGAAAGCCACGGCTAACTACGTGCCAGCA
 GCCGCGGTAATACGTAGGTGGCAAGCGTT CGGATT TATTGGCGTAAAGCGAGCGCAGGCG
 TTTTTAAGTCTGATGTGAAAGCCTCGGCTAACCGAAGAAGTGCATCGAAACTGGAAACTT
 GAGTGCAGAAGAGGACAGTGGAACTCCATGTGAGCGGTGAAATGCGTAGATATATGGAAGAAC
 ACCAGTGGCGAAGGCCGCTGCTGGCTGTA ACTGACGCTGAGGCTGAAAGTATGGTAGCAAA
 CAGGATTAGATA CCTGGTAGTCCATACCGTAAACGATGAATGCTAAGTGTGGAGGGTTCCGC
 CCTTCAGTGCTGCAGCTAACGCATTAAGCATTCCGCTGGGAGTACGGCCGCAAGGCTG

ภาพ 17 ลำดับเบสของ DNA ในส่วนของยีน 16S rRNA ของแบคทีเรียไอโซเลต LKF 309

จากนั้นนำลำดับเบสที่ได้ไปเทียบความคล้ายจากฐานข้อมูลลำดับเบสใน GenBank โดยใช้โปรแกรม BLAST ได้ผลดังนี้คือ แบคทีเรียไอโซเลต LGF101 และ LGF106 มีลำดับเบสของยีน 16S rRNA เมื่อเทียบกับ *Enterococcus gallinarum* 100 เปอร์เซ็นต์ แบคทีเรียไอโซเลต LGF107, LGF2, LGF207 และ LKF309 มีลำดับเบสของยีน 16S rRNA เมื่อเทียบกับ *Lactobacillus plantarum* 100 เปอร์เซ็นต์ แบคทีเรียไอโซเลต LGF108 มีลำดับเบสของยีน 16S rRNA เมื่อเทียบกับ *Lactobacillus brevis* 100 เปอร์เซ็นต์ และแบคทีเรียไอโซเลต LGF115 มีลำดับเบสของยีน 16S rRNA เมื่อเทียบกับ *Pediococcus pentosaceus* 100 เปอร์เซ็นต์ (ตาราง 11 และภาพ 18-20)

ซึ่งจากการศึกษาครั้งนี้ สามารถแยกเชื้อได้ 3 กลุ่ม คือ คือ *Lactobacillus* sp., *Pediococcus* sp. และ *Enterococcus* sp. ซึ่งสอดคล้องกับ McDonald et al. (1976; Muck, 1991) ที่พบว่า โดยทั่วไปแบคทีเรียกรดแลคติกที่พบในอาหารหมักพื้นเมืองและพืชอาหารสัตว์มี 5 กลุ่ม คือ *Lactobacillus* sp., *Pediococcus* sp., *Streptococcus* sp. *Enterococcus* sp. และ *Leuconostoc* sp.

Lactobacillus plantarum strain L2C21E8 16S ribosomal RNA gene, partial sequence

Sequence ID: gb|KM103933.1| Length: 1348 Number of Matches: 1

Range 1: 33 to 872

Score	Expect	Identities	Gaps	Strand	Frame
1552 bits(840)	0.0()	840/840(100%)	0/840(0%)	Plus/Plus	
Features:					
Query 1	CATGATTACATTGAGTGAGTGGCGAACCTGGTAGTAAACACGTGGAAACCTGCCAGA				60
Sbjct 33	CATGATTACATTGAGTGAGTGGCGAACCTGGTAGTAAACACGTGGAAACCTGCCAGA				92
Query 61	AGCGGGGATAACACCTGGAAACAGATGCTAATACCGCATAACAACCTGGACCGCATGGT				120
Sbjct 93	AGCGGGGATAACACCTGGAAACAGATGCTAATACCGCATAACAACCTGGACCGCATGGT				152
Query 121	CCGACTTTGAAAGATGGCTTCGGCTATCACTTTGGATGGTCCCGCGGTATTAGCTAG				180
Sbjct 153	CCGACTTTGAAAGATGGCTTCGGCTATCACTTTGGATGGTCCCGCGGTATTAGCTAG				212
Query 181	ATCGTGAGGTAAACGGCTCACCATGGCAATGATACTGAGCCGACCTGAGAGGGTAATCGGC				240
Sbjct 213	ATGGTGAGGTAAACGGCTCACCATGGCAATGATACTGAGCCGACCTGAGAGGGTAATCGGC				272
Query 241	CACATTGGGACTGAGACACGGCCAAACTCCTACGGGAGGCAGCAGTAGGAAATCTTCCA				300
Sbjct 273	CACATTGGGACTGAGACACGGCCAAACTCCTACGGGAGGCAGCAGTAGGAAATCTTCCA				332
Query 301	CAATGGACGAAAGTCTGATGGAGCAACGCCCGGTGAGTGAAGAAGGGTTTCGGCTCGTAA				360
Sbjct 333	CAATGGACGAAAGTCTGATGGAGCAACGCCCGGTGAGTGAAGAAGGGTTTCGGCTCGTAA				392
Query 361	AACTCTGTTGTTAAAGAAGAACATATCTGAGAGTAACCTGTCAGGTATTGACGGTATTAA				420
Sbjct 393	AACTCTGTTGTTAAAGAAGAACATATCTGAGAGTAACCTGTCAGGTATTGACGGTATTAA				452
Query 421	ACCAGAAAACCCACGGCTAACCTACGTGCCAGCAGCCGGTAATACGTAGGTGGCAAGCGT				480
Sbjct 453	ACCAGAAAAGCCACGGCTAACCTACGTGCCAGCAGCCGGTAATACGTAGGTGGCAAGCGT				512
Query 481	TGTCCGGATTTATTGGCGCTAAAGCGAGCGCAGGGTTTTTAAGTCTGATGTGAAAGC				540
Sbjct 513	TGTCCGGATTTATTGGCGCTAAAGCGAGCGCAGGGTTTTTAAGTCTGATGTGAAAGC				572
Query 541	CTTCCGCTCAACCGAAGAAGTGCATCGAAAACCTGGAAACTTGAGTGCAGAACAGGACAG				600
Sbjct 573	CTTCCGCTCAACCGAAGAAGTGCATCGAAAACCTGGAAACTTGAGTGCAGAACAGGACAG				632
Query 601	TGGAACCTCATGTAGCGGTAAATGCGTAGATATATGGAAGAACACCAAGTGGCGAAGG				660
Sbjct 633	TGGAACCTCATGTAGCGGTAAATGCGTAGATATATGGAAGAACACCAAGTGGCGAAGG				692
Query 661	CGGCTGCTGGCTGTAACTGACGCTGAGGCTCGAAAGTATGGTAGCAAACAGGATTAG				720
Sbjct 693	CGGCTGCTGGCTGTAACTGACGCTGAGGCTCGAAAGTATGGTAGCAAACAGGATTAG				752
Query 721	ATACCCCTGGTAGTCCATACCGTAAACCGATGAATGCTAAGTGTGGAGGGTTTCGCCCTT				780
Sbjct 753	ATACCCCTGGTAGTCCATACCGTAAACCGATGAATGCTAAGTGTGGAGGGTTTCGCCCTT				812
Query 781	CAGTGCTGCAGCTAACGCATTAAGCATTCCGCTGGGGAGTACGGCCGCAAGGCTGAAAC				840
Sbjct 813	CAGTGCTGCAGCTAACGCATTAAGCATTCCGCTGGGGAGTACGGCCGCAAGGCTGAAAC				872

ภาพ 18 ลำดับชื่อของแบนค์ที่เรียกที่มีลำดับเบสคล้ายแบนค์ที่เรียกโดย LGF 107

Pediococcus pentosaceus strain SM76 16S ribosomal RNA gene, partial sequence

Sequence ID: gb|KJ729070.1| Length: 932 Number of Matches: 1

Range 1: 6 to 845

Score	Expect	Identities	Gaps	Strand	Frame
1552 bits(840)	0.0()	840/840(100%)	0/840(0%)	Plus/Plus	
Features:					
Query 1	GCTTGC	ACTGAATGAGATT	TAACACGAAGTGAGTGGCGGACGGGTGAGTAACACGTGGG		60
Sbjct 6	GCTTGC	ACTGAATGAGATT	TAACACGAAGTGAGTGGCGGACGGGTGAGTAACACGTGGG		65
Query 61	TAACCTGCC	CAGAACGCAGGGATAACACCTGGAAACAGATGCTAATACCGTATAACAGAG			120
Sbjct 66	TAACCTGCC	CAGAACGCAGGGATAACACCTGGAAACAGATGCTAATACCGTATAACAGAG			125
Query 121	AAAACCGC	CTGGTTTCTTTAAAAGATGGCTCTGCTATCACTTCGGATGGACCCGCGG			180
Sbjct 126	AAAACCGC	CTGGTTTCTTTAAAAGATGGCTCTGCTATCACTTCGGATGGACCCGCGG			185
Query 181	CGCATTAGCTAG	TGGTGAGGTAACGGCTCACCAAGGCATGATGCGTAGCCGACCTGAG			240
Sbjct 186	CGCATTAGCTAG	TGGTGAGGTAACGGCTCACCAAGGCATGATGCGTAGCCGACCTGAG			245
Query 241	AGGGTAATCGGC	CACATTGGGACTGAGACACGGCCCAAGACTCCTACGGGAGGCAGCAGTA			300
Sbjct 246	AGGGTAATCGGC	CACATTGGGACTGAGACACGGCCCAAGACTCCTACGGGAGGCAGCAGTA			305
Query 301	GGGAATCTCC	ACAATGGACGCAAGTCTGATGGAGCAACGCCGCGTGAAGTAAGAAGG			360
Sbjct 306	GGGAATCTCC	ACAATGGACGCAAGTCTGATGGAGCAACGCCGCGTGAAGTAAGAAGG			365
Query 361	TTCGGCTCGTAA	AGCTCTGTTAAAAGAAGAACGTGGGTGAGAGTAACGTTACCCAG			420
Sbjct 366	TTCGGCTCGTAA	AGCTCTGTTAAAAGAACGTGGGTGAGAGTAACGTTACCCAG			425
Query 421	TGACGGTATTTAAC	CAGAAAGCCACGGCTAACTACGTGCCAGCAGCCGCGTAATACGTA			480
Sbjct 426	TGACGGTATTTAAC	CAGAAAGCCACGGCTAACTACGTGCCAGCAGCCGCGTAATACGTA			485
Query 481	GGTGGCAAGCGT	TATCCGGATTATTGGCGTAAAGCGAGCGCAGGCCGGTTAAAGTC			540
Sbjct 486	GGTGGCAAGCGT	TATCCGGATTATTGGCGTAAAGCGAGCGCAGGCCGGTTAAAGTC			545
Query 541	TAATGTGAAAGC	CTTCGGCTAACCGAAGAACGTGATTGGAAACTGGGAGACTTGAGTGC			600
Sbjct 546	TAATGTGAAAGC	CTTCGGCTAACCGAAGAACGTGATTGGAAACTGGGAGACTTGAGTGC			605
Query 601	AGAACAGGACAGT	GGAAACTCCATGTGTAGCGGTGAAATGCGTAGATATGGAAAGAACAC			660
Sbjct 606	AGAACAGGACAGT	GGAAACTCCATGTGTAGCGGTGAAATGCGTAGATATGGAAAGAACAC			665
Query 661	CAGTGGCGAAGGCG	GCTGTCTGGCTGTAACGTACGCTGAGGCTCGAAAGCATGGTAGC			720
Sbjct 666	CAGTGGCGAAGGCG	GCTGTCTGGCTGTAACGTACGCTGAGGCTCGAAAGCATGGTAGC			725
Query 721	GAACAGGATTAGA	TACCCCTGGTAGTCATGCCGTAACCGATGATTACTAAGTGGAGG			780
Sbjct 726	GAACAGGATTAGA	TACCCCTGGTAGTCATGCCGTAACCGATGATTACTAAGTGGAGG			785
Query 781	GTTTCCGCC	CTTCAGTGCTGCAGCTAACGCTTAAGTAATCCGCCTGGGAGTACGACCG			840
Sbjct 786	GTTTCCGCC	CTTCAGTGCTGCAGCTAACGCTTAAGTAATCCGCCTGGGAGTACGACCG			845

ภาพ 19 ลำดับชื่อของแบคทีเรียที่มีลำดับเบสคล้ายแบคทีเรียในไฟล์ LGF115

Lactobacillus plantarum strain B21, complete genome

Sequence ID: gb|CP010528.1| Length: 3284260 Number of Matches: 5

Range 1: 1169577 to 1170416

Score	Expect	Identities	Gaps	Strand	Frame
1552 bits(840)	0.0()	840/840(100%)	0/840(0%)	Plus/Plus	
Features:					
rRNA-16S ribosomal RNA					
Query 1		GCATCATGATTACATTGAGTGAGTGGCGAACTGGTGAGTAACACGTGGAAACCTGCC			60
Sbjct 1169577		GCATCATGATTACATTGAGTGAGTGGCGAACTGGTGAGTAACACGTGGAAACCTGCC			1169636
Query 61		CAGAACGGGGATAACACCTGGAAACAGATGCTAATACCGCATAACAACCTGGACCGCA			120
Sbjct 1169637		CAGAACGGGGATAACACCTGGAAACAGATGCTAATACCGCATAACAACCTGGACCGCA			1169696
Query 121		TGGTCCGAGCTTGAAGATGGCTTCGGCTATCACTTTGGATGGTCCCGCGCGTATTAG			180
Sbjct 1169697		TGGTCCGAGCTTGAAGATGGCTTCGGCTATCACTTTGGATGGTCCCGCGCGTATTAG			1169756
Query 181		CTAGATGGTGGGTAACGGCTACCATGGCAATGATACTGTAGCCGACCTGAGAGGGTAAT			240
Sbjct 1169757		CTAGATGGTGGGTAACGGCTACCATGGCAATGATACTGTAGCCGACCTGAGAGGGTAAT			1169816
Query 241		CGGCCACATTGGACTGAGACACGGCCCAAACCTCTACGGGAGGCAGCAGTAGGAAATCT			300
Sbjct 1169817		CGGCCACATTGGACTGAGACACGGCCCAAACCTCTACGGGAGGCAGCAGTAGGAAATCT			1169876
Query 301		TCCACAATGGACGAAAGTCTGATGGAGCAACGCCCGTGAAGAAGGGTTTCGGCTC			360
Sbjct 1169877		TCCACAATGGACGAAAGTCTGATGGAGCAACGCCCGTGAAGAAGGGTTTCGGCTC			1169936
Query 361		GTAAAACCTGTTAAAGAAGAACATATCTGAGAGTAACGTGTTCAAGTATTGACCGTA			420
Sbjct 1169937		GTAAAACCTGTTAAAGAAGAACATATCTGAGAGTAACGTGTTCAAGTATTGACCGTA			1169996
Query 421		TTAACCGAAAGCCACGGCTAACTACGTGCCAGCAGCCCGGTAAACGTAGGTGGCAA			480
Sbjct 1169997		TTAACCGAAAGCCACGGCTAACTACGTGCCAGCAGCCCGGTAAACGTAGGTGGCAA			1170056
Query 481		GGTTGTCGGATTATTGGCGTAAAGCGAGCGCAGGGGTTTTAAAGTCTGATGTGA			540
Sbjct 1170057		GGTTGTCGGATTATTGGCGTAAAGCGAGCGCAGGGGTTTTAAAGTCTGATGTGA			1170116
Query 541		AAGCCTTCGGCTAACCGAAGAAGTGCATCGAAACTGGGAACTTGAGTGCAGAACAGG			600
Sbjct 1170117		AAGCCTTCGGCTAACCGAAGAAGTGCATCGAAACTGGGAACTTGAGTGCAGAACAGG			1170176
Query 601		ACAGTGGAACTCCATGTGAGCGTGAATGCGTAGATATATGGAAAGAACACCAGTGGCG			660
Sbjct 1170177		ACAGTGGAACTCCATGTGAGCGTGAATGCGTAGATATATGGAAAGAACACCAGTGGCG			1170236
Query 661		AAGGCGGCTGTCGGTCTGTAACGTACGCTGAGGCTCGAAAGTATGGTAGCAAACAGGA			720
Sbjct 1170237		AAGGCGGCTGTCGGTCTGTAACGTACGCTGAGGCTCGAAAGTATGGTAGCAAACAGGA			1170296
Query 721		TTAGATAACCTGGTAGTCCATACCGTAACCGATGAATGCTAAGTGTGGAGGGTTCCGC			780
Sbjct 1170297		TTAGATAACCTGGTAGTCCATACCGTAACCGATGAATGCTAAGTGTGGAGGGTTCCGC			1170356
Query 781		CCTTCAGTGCTGCAGCTAACGCTAACGATTAAGCATTCCGCTGGGAGTACGGCCGAAGGCTG			840
Sbjct 1170357		CCTTCAGTGCTGCAGCTAACGCTAACGATTAAGCATTCCGCTGGGAGTACGGCCGAAGGCTG			1170416

ภาพ 20 ลำดับชื่อของแบคทีเรียที่มีลำดับเบสคล้ายแบคทีเรีย ไอโซเลต LKF 309

ตาราง 11 การจัดจำแนกแบคทีเรียกรดแอลกอติก โดยการหาลำดับเบสของ DNA ในส่วนของยีน
16S rRNA

Isolate code	16s rRNA database	Accession Number	Identities	% Homology
LGF101	<i>Enterococcus gallinarum</i>	KM65455.1	840/840	100
LGF106	<i>Enterococcus gallinarum</i>	KM65455.1	840/840	100
LGF107	<i>Lactobacillus plantarum</i>	KM103933.1	840/840	100
LGF108	<i>Lactobacillus brevis</i>	KM985456.1	840/840	100
LGF115	<i>Pediococcus pentosaceus</i>	KJ729070.1	840/840	100
LGF2	<i>Lactobacillus plantarum</i>	CP010528.1	840/840	100
LKF207	<i>Lactobacillus plantarum</i>	EU626010.1	840/840	100
LKF309	<i>Lactobacillus plantarum</i>	CP010528.1	840/840	100

ผลการคัดเลือกหญ้าที่ใช้ในการหมัก

ในการเลือกตัวแทนหญ้าที่ใช้ในการหมักพิจารณาจากผลผลิตต่อไร่ต่อปีเป็นหลัก และนอกจากนี้ยังพิจารณาถึงอายุการเก็บเกี่ยวรวมถึง ชั้งหญ้าที่มีอายุน้อยจะมีองค์ประกอบของเคมีต่างกัน เช่น หญ้ามีอายุมาก โดยคัดเลือกหญ้าที่มีการเจริญเติบโต และแตกกอได้ดี มีจำนวนใบมาก ตั้งแต่น้อยกอเพื่อจ่ายต่อการเก็บเกี่ยว และให้ผลผลิตสูงจำนวน 4 ชนิด ได้แก่ หญ้ารูซี่ หญ้ากินนี หญ้าคา และหญ้าขัน ซึ่งทำการคัดที่อายุประมาณ 45-50 วัน พบร่วมกัน พบว่า หญ้ารูซี่ และหญ้ากินนี มีปริมาณโปรตีนรวมร้อยละ 6-10 ผลผลิตน้ำหนักสด 8-10 ตัน /ไร่ /ปี หรือน้ำหนักแห้ง 2.0-2.5 ตัน /ไร่ /ปี โดยหญ้ารูซี่ และหญ้ากินนีสามารถเจริญเติบโตในสภาพพร้อมงาน เหมาะสมสำหรับปลูกในพื้นที่ชั่วหน้า และที่ดินที่มีความอุดมสมบูรณ์ดี หญ้าคาเป็นหญ้าพื้นเมืองที่ไม่ได้ทำการสำรวจข้อมูลผลผลิตต่อไร่ และข้อมูลอื่นๆ เนื่องจากไม่ได้เป็นหญ้าที่ส่งเสริมเพื่อปลูกขาย และหญ้าขันเป็นหญ้าที่มีองค์ประกอบของเคมีสูง มีผลผลิตน้ำหนักสด 6-8 ตัน /ไร่ /ปี หรือน้ำหนักแห้ง 1.4-3.7 ตัน /ไร่ /ปี ซึ่งจะให้มีค่าโปรตีนรวมร้อยละ 6-10 (กรมปศุสัตว์, 2546)

จากการวิเคราะห์องค์ประกอบของเคมีของหญ้า (หญ้ากินนี, หญ้ารูซี่, หญ้าขัน และหญ้าคา) ตาราง 12 พบร่วมกัน พบว่า หญ้าขัน มีค่าวัตถุแห้งที่ร้อยละ 25.67 ซึ่งอยู่ในเกณฑ์ที่เหมาะสมต่อการหมัก รองลงมา คือหญ้ากินนีซึ่งมีค่าวัตถุแห้งอยู่ที่ร้อยละ 24.72 ส่วนหญ้ารูซี่มีค่า

วัตถุแห้งที่ร้อยละ 22.72 และหญ้าคำมีค่าวัตถุแห้งที่ร้อยละ 31.75 โดย Haigh (1990) รายงานว่า ปริมาณวัตถุแห้งที่เหมาะสมต่อการหมักควรอยู่ที่ร้อยละ 26

ตาราง 12 องค์ประกอบทางเคมีของหญ้า

	หญ้ากินนี่	หญ้ารูซี่	หญ้าขัน	หญ้าคา
วัตถุแห้ง DM %	24.72	22.72	25.67	31.75
เต้า Ash %	15.15	14.32	15.74	12.68
ปริมาณเยื่อไผ่ CF %	21.89	22.60	22.26	34.75
โปรตีนไวยา CP%	9.60	9.86	10.07	10.30
ไขมัน EE %	4.22	3.99	3.55	2.41
NDF %	57.37	55.29	58.62	72.71
ADF %	25.66	27.46	26.71	37.36
pH	5.84	5.69	5.46	5.76

เมื่อพิจารณาปริมาณปริมาณเยื่อไผ่ ADF และ NDF พบว่า หญ้าขันมีปริมาณเยื่อไผ่ ADF และ NDF สูงที่ร้อยละ 26.71 และ 53.62 หญ้ากินนี่, หญ้ารูซี่ และหญ้าคา ซึ่งมีปริมาณเยื่อไผ่ ADF ที่ร้อยละ 25.66, 27.46 และ 37.36 ปริมาณเยื่อไผ่ ADF ที่ร้อยละ 57.37, 55.29 และ 72.71 แต่ เนื่องจากหญ้าคำมีองค์ประกอบทางเคมีสูงจึงไม่เหมาะสมต่อการนำมาทำหญ้าหมัก

ดังนั้นในการคัดเลือกหญ้าเพื่อใช้เป็นตัวแทนในการหมักจึงเลือกใช้ หญ้าขัน เนื่องจากมีปริมาณวัตถุแห้งที่เหมาะสมต่อการหมัก และมีปริมาณเยื่อไผ่ ADF และ NDF สูง

ผลของหญ้าหมักในระดับห้องปฏิบัติการ

จากการวิเคราะห์องค์ประกอบทางเคมีของหญ้าขันหมักที่นำมาปรับสภาพด้วย แบคทีเรียกรดแอลกอลิกจำนวน 3 สายพันธุ์ ได้แก่ *L. plantarum* 107, *P. pentosaceus* 115 และ *L. plantarum* 309 และไม่เติมแบคทีเรียกรดแอลกอลิก (ชุดควบคุม) ที่อุณหภูมิการหมัก 37 องศา-เซลเซียส พบว่าปริมาณ โปรตีนที่ได้จากการเติมแบคทีเรียกรดแอลกอลิกนี้ปริมาณ โปรตีนที่ร้อยละ 10.3, 9.4 และ 10.1 และปริมาณ โปรตีนที่ได้จากการชุดควบคุมที่ร้อยละ 8.9 ซึ่งการหมักที่มีการเติมด้วย แบคทีเรียจะมีปริมาณ โปรตีนสูงกว่าสภาวะการชุดควบคุม (ตาราง 13)

องค์ประกอบทางเคมีที่สำคัญอีกอย่างที่ต้องคำนึงคือ ปริมาณเยื่อไช ADF และ NDF ซึ่งค่าดังกล่าวจะเป็นตัวบ่งชี้การย่อยได้ของสารเยื่อไช ซึ่งจากการศึกษาพบว่า ปริมาณเยื่อไช ADF และ NDF ที่ได้จากการปรับสภาพด้วยด้วย *L. plantarum* 107 มีปริมาณลดลงมากที่สุดเท่ากับร้อยละ 20.86 และ 50.70 รองลงมาคือ หญ้าขันที่ปรับสภาพด้วย *P. pentosaceus* 115 และ *L. plantarum* 309 ซึ่งมีปริมาณเยื่อไช ADF เท่ากับร้อยละ 28.11 และ 24.11 และมีปริมาณเยื่อไช NDF เท่ากับร้อยละ 53.43 และ 53.61 ตามลำดับ ขณะที่ชุดควบคุมมีปริมาณเยื่อไช ADF และ NDF ที่ร้อยละ 26.04 และ 54.22 ซึ่งมีปริมาณที่สูงกว่าการหมักที่ปรับสภาพด้วยแบคทีเรีย จะเห็นว่าหญ้าขันหมักจะมีปริมาณเยื่อไช ADF และ NDF ลดลง เมื่อเทียบกับหญ้าขันก่อนการหมัก ซึ่งสอดคล้องกับผลการทดลองของ Muhammad et al. (2008) ที่พบว่า การหมักหญ้าขันออกจากจะช่วยรักษาระดับโปรตีนแล้ว ยังสามารถลดปริมาณของ ปริมาณเยื่อไช ADF และ NDF ในหญ้าได้อีกด้วย และรายงานของ Bureenok et al. (2007; Owen et al, 2009) ที่พบว่า การลดลงของปริมาณเยื่อไช ADF และ NDF ที่ได้จากการเติมแบคทีเรียกรดแอลกอติกระหว่างการหมัก ทำให้เกิดการเสื่อมสภาพเนื่องจากการทำลายโดยจุลินทรีย์ที่เจริญพร้อมกับแบคทีเรียกรดแอลกอติก อาจเกิดจากการไฮโดรไลซิส และความร้อนระหว่างการหมัก ซึ่งหญ้าหมักที่ดีควรมีปริมาณเยื่อไช NDF สูง และมีปริมาณเยื่อไช ADF ต่ำ ซึ่งเป็นส่วนประกอบของคาร์โบไฮเดรตที่เป็นโครงสร้างของหญ้าที่เกิดจากการย่อยสลายในส่วนของเอนไซคลอส McDonald et al. (1991)

จากการเปรียบเทียบการหมักที่ปรับสภาพด้วยแบคทีเรียกรดแอลกอติก และชุดควบคุม พบว่า ทุกชุดการทดลองมีปริมาณกรดอะซิติกสูง ซึ่งกรดอะซิติกจะเป็นตัวบ่งชี้การเจริญของแบคทีเรียกรดแอลกอติก เมื่อมีการใช้เซลลูโลสในหญ้าขันเป็นแหล่งอาหาร ซึ่งผลจากการศึกษาพบว่า หญ้าขันที่ปรับสภาพด้วย *L. plantarum* 107 พบว่ามีปริมาณกรดอะซิติกสูงสุด เท่ากับ 1,083.3 มิลลิกรัม/ ลิตร รองลงมาคือ หญ้าขันที่ปรับสภาพด้วย *L. plantarum* 309 และ *P. pentosaceus* 115 พบว่ามีปริมาณกรดอะซิติกเท่ากับ 898.5 และ 747.8 มิลลิกรัม/ ลิตร ปริมาณโพธพิโอนิกเท่ากับ 217.4, 202.1 และ 104.1 มิลลิกรัม/ ลิตร ปริมาณบิวทีริกเท่ากับ 388.4, 477.5 และ 348.0 มิลลิกรัม/ ลิตร ส่วนชุดควบคุมมีปริมาณกรดอะซิติกเท่ากับ 666.3 มิลลิกรัม/ ลิตร ปริมาณโพธพิโอนิกเท่ากับ 119 มิลลิกรัม/ ลิตร และปริมาณกรดบิวทีริกเท่ากับ 326 มิลลิกรัม/ ลิตร ซึ่งสอดคล้องกับ Shao et al. (2003) และ Bureenok et al. (2005) ที่มีการเติมเชื้อ *L. plantarum* ลงในหญ้าหมัก พบว่าหญ้าหมักมีปริมาณกรดอะซิติกสูงที่สุด ($P<0.05$) และสอดคล้องกับ Parvin and Nishino (2009; 2010) ได้ศึกษาการเติมเชื้อ *L. plantarum* ลงในหญ้ากินนี้ พบว่ามีปริมาณกรดอะซิติกในหญ้ากินนี้หมักสูงที่สุด นอกจากนี้ยังพบว่า ในกรณีที่กระบวนการหมักมีน้ำตาลไม่เพียงพอ *L. plantarum* สามารถเปลี่ยนกรดแอลกอติกที่ได้จากการกระบวนการหมักเป็นกรดอะซิติกได้

เมื่อพิจารณาค่าพีเอชของหญ้าขันหมักที่ปรับสภาพด้วยแบคทีเรียสายพันธุ์ *L. plantarum* 107, *P. pentosaceus* 115 และ *L. plantarum* 309 พบว่า มีค่าพีเอชที่ 4.2, 4.3 และ 4.3 และการหมักจากชุดควบคุมมีค่าพีเอชเท่ากับ 4.7 โดยระดับของพีเอชที่เหมาะสมของหญ้าหมักที่มีคุณภาพดีควรมีค่าพีเอชอยู่ระหว่าง 3.8-4.5 McDonald et al. (1991) ซึ่งหญ้าหมักที่มีค่าพีเอชสูงอาจทำให้ลินทรีย์สามารถมีชีวิตและทำการกรรมได้ ซึ่งมีผลต่อคุณภาพของหญ้าหมักที่อาจมีการสูญเสียองค์ประกอบทางเคมีได้ง่าย แต่เนื่องจากหญ้าขันมีปริมาณเยื่อใยที่สูงจึงทำให้ค่าพีเอชในหญ้าขันหมักลดลงช้า

ตาราง 13 องค์ประกอบทางเคมีของหญ้าขันหมัก

องค์ประกอบ	Control	<i>L. plantarum</i> 107	<i>P. pentosaceus</i> 115	<i>L. Plantarum</i> 309
วัตถุแห้ง DM %	19.18	18.94	20.34	15.5
เต้า Ash %	2.35	1.70	1.63	1.68
ไขมัน EE %	1.76	2.40	2.15	2.46
โปรตีนheyam CP%	8.9	10.03	9.4	10.01
เยื่อไผ่heyam CF %	18.60	15.69	16.04	15.10
ADF %	26.04	20.86	28.11	24.11
NDF%	54.22	50.70	53.43	53.61
pH	4.7	4.2	4.3	4.3
Acetic acid (มิลลิกรัม/ลิตร)	666.3	1,083.3	747.8	898.5
Propionic acid (มิลลิกรัม/ลิตร)	119	217.4	104.1	202.1
Butyric acid (มิลลิกรัม/ลิตร)	326	388.4	348.0	477.5
Lactic Acid Bacteria (Cfu/ กรัม)	5.1×10^7	7.1×10^8	6.8×10^8	6.4×10^8

ดังนั้น ในการคัดเลือกหญ้าหมัก จึงพิจารณาจากองค์ประกอบทางเคมีที่มีปริมาณการย่อยของเยื่อไผ่ ซึ่งในการทดลอง พบว่า หญ้าขันหมักที่ปรับสภาพด้วยแบคทีเรียสายพันธุ์ *L. Plantarum* 107 มีปริมาณเยื่อไผ่ลดลงมากที่สุด จึงใช้เป็นตัวแทนสำหรับการศึกษาศักยภาพในการผลิตก้ำซีนีเกนโดยวิธี BMP ในขั้นตอนต่อไป

ผลการทดลอง BMP Test

การศึกษาอัตราส่วนการหมักร่วมระหว่างน้ำเสียจากฟาร์มสุกรและหญ้าขันหมัก ต่อประสิทธิภาพการผลิตก๊าซมีเทน โดยศึกษาอัตราส่วนการหมักร่วมระหว่างน้ำเสียจากฟาร์มสุกร และหญ้าขันหมักที่ 50:50, 60:40 และ 70:30 ตามลำดับ ซึ่งมีลักษณะเป็นองค์ประกอบต้นของน้ำเสียจากฟาร์มสุกร และหญ้าขันหมัก ดังตาราง 14

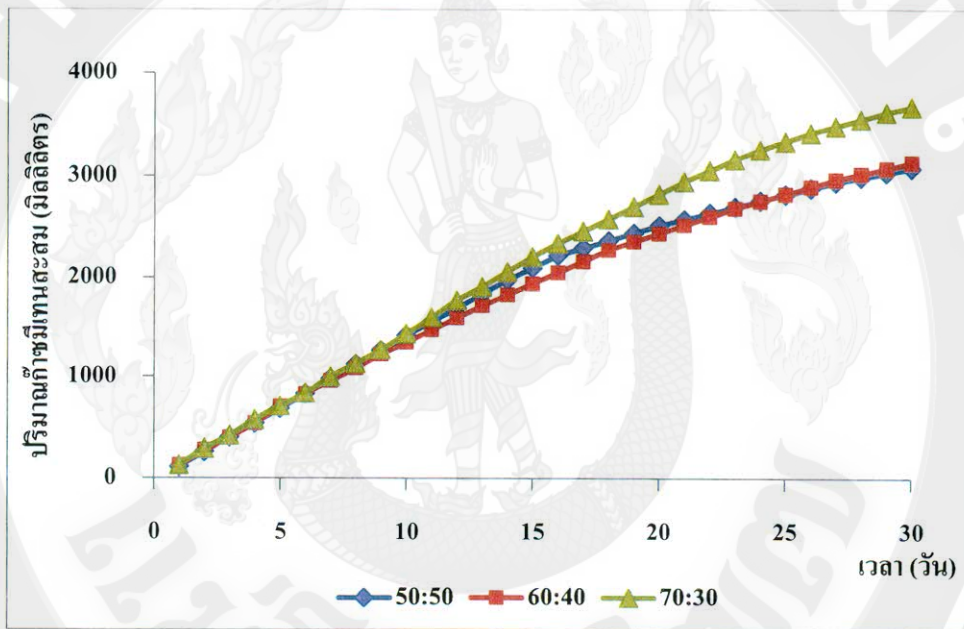
ตาราง 14 ลักษณะเป็นองค์ประกอบต้นของน้ำเสียจากฟาร์มสุกรและหญ้าขันหมัก

พารามิเตอร์	น้ำเสียจาก		อัตราส่วนการหมักร่วมระหว่างน้ำเสีย		
	ฟาร์มสุกร	หญ้าขันหมัก	50:50	60:40	70:30
pH	7.4	4.5	6.9	7.4	7.6
TS (มิลลิกรัม/ลิตร)	2,101	77,563	50,800	52,768	43,656
VS (มิลลิกรัม/ลิตร)	1,065	38,161	25,148.3	22,548.3	14,440.5
เยื่อไผ่หยาบ (CF%)	-	15.69	-	-	-
ADF%	-	20.86	-	-	-
NDF%	-	50.70	-	-	-
โปรตีน CP%	-	10.03	-	-	-
COD (มิลลิกรัม/ลิตร)	7,200	-	16,040	15,830	15,280
TKN (มิลลิกรัม/ลิตร)	717.6	-	605.6	585.9	506.8
NH ₃ -N (มิลลิกรัม/ลิตร)	1,592.2	-	1,968.5	1,907.9	1,754.6
Lactic acid Bacteria CFU/กรัม	-	7.1X10 ⁷	-	-	-
Acetic acid (มิลลิกรัม/ลิตร)	1,119.1	1,083.3	1,328.6	1,286.4	1,284.9
Propionic acid (มิลลิกรัม/ลิตร)	719.5	217.4	564.5	585.6	633.8
Butyric acid (มิลลิกรัม/ลิตร)	617.9	388.4	432.0	369.3	301.9

จากการทดลองหาอัตราส่วนการหมักที่เหมาะสมระหว่างน้ำเสียจากฟาร์มสุกร ร่วมกับหญ้าขันหมัก 50:50, 60:40 และ 70:30 พบว่า มีอัตราการผลิตก๊าซมีเทนสะสมเท่ากับ 3569.1, 3665.9 และ 3919.2 มิลลิลิตร โดยสิ้นสุดปฏิกริยาที่ 36, 34 และ 31 วัน ตามลำดับ (ภาพ 21) ซึ่งมีผลใกล้เคียงกับการทดลองของ Dechrugsa et al. (2013) ที่ได้ศึกษาอัตราการส่วนการผลิตก๊าซมีเทน

ระหว่าง มูลสุกรและหญ้าที่อัตราส่วน 100: 0 75:25 50:50 และ 25:75 พぶว่า ที่อัตราส่วนการหมัก มูลสุกรร่วมกับหญ้าที่ 75:25 มีศักยภาพในการย่อยสลาย 475.0 มิลลิกรัม /กรัม VS_{added} โดยมีระยะเวลาสั้นสุดปฏิกริยาที่ 45 วัน

เมื่อพิจารณาค่าพีอีของทั้ง 3 ชุดการทดลองมีค่าเท่ากับ 7.5, 7.4 และ 7.6 ซึ่งเป็น ช่วงที่แบคทีเรียสามารถเจริญได้ดี โดยงานวิจัยของ Chitchanoke et al. (2011) พぶว่า ค่าพีอีระหว่าง 7.0-7.8 มีความเหมาะสมต่อการเจริญของแบคทีเรียกลุ่มผลิตก๊าซมีเทน ซึ่งมีความสามารถในการย่อยสลายวัตถุดินที่มีเซลลูโลสสูง



ภาพ 21 ปริมาณก๊าซมีเทนสะสมที่เกิดขึ้นทั้งหมดของแต่ละชุดการทดลอง

จากการทดลองเพื่อศึกษาอัตราส่วนการหมักที่เหมาะสมระหว่างน้ำเสียจากฟาร์ม สุกรและหญ้านมัก โดยพิจารณาจากค่าอัตราการผลิตก๊าซมีเทนในรูปปริมาณก๊าซมีเทนที่ผลิตได้ ต่อน้ำหนักของของแข็งระบุที่ป้อนเข้าระบบ พぶว่า ที่อัตราส่วน 50:50, 60:40 และ 70:30 มี ศักยภาพในการผลิตก๊าซมีเทนเท่ากับ 377.6, 353.7 และ 349.1 มิลลิลิตร CH₄ /กรัม VS_{added} (ตาราง 15) และมีศักยภาพในการย่อยสลายที่ร้อยละ 41.24, 42.16 และ 42.64 เมื่อพิจารณาประสิทธิภาพในการกำจัดของแข็งได้ถึงร้อยละ 55.4, 56.8 และ 58.3 ตามลำดับ ซึ่งจากการเปรียบเทียบ ประสิทธิภาพในการกำจัดของแข็งโดยวิเคราะห์ความแตกต่างทางสถิติ Analysis of Variance (ANOVA) และวิเคราะห์ความแตกต่างระหว่างค่าเฉลี่ยโดยวิธี Duncan's multiple range test พぶว่า

ประสิทธิภาพในการกำจัดของแข็งของชุดปฏิกรณ์ที่ 50:50, 60:40 และ 70:30 มีค่าไม่แตกต่างกันอย่างมีนัยสำคัญ ($P>0.05$) ซึ่งการทดลองที่ได้มีผลใกล้เคียงกับ xie et al. (2011) รายงานว่า ศึกษาอัตราส่วนการหมักร่วมระหว่างมูลสุกรและหญ้าหมักที่ 75:25 พบว่ามีศักยภาพการผลิตก๊าซมีเทนที่ 330 มิลลิลิตร CH_4 /กรัม VS_{added} และมีศักยภาพในการย่อยสลายอยู่ในช่วงร้อยละ 50.1-54.7 ซึ่งสามารถกำจัดของแข็งระเหยได้ถึงร้อยละ 63.8 รายงานของ Thygesen et al. (2012) ได้ศึกษาอัตราส่วนการหมักร่วมระหว่างมูลสุกรร่วมกับน้ำเสียจากโรงงานอุตสาหกรรมที่ 85:15 และ 60:40 พบว่าศักยภาพในการผลิตก๊าซมีเทนเท่ากับ 156-240 มิลลิลิตร CH_4 /กรัม VS_{added} และมีศักยภาพในการย่อยสลายที่ร้อยละ 49.4 และ 47.3

ตาราง 15 ค่าพารามิเตอร์การหมักร่วมที่อัตราส่วนต่างๆ

อัตราส่วนการหมักร่วมระหว่างน้ำเสียจากฟาร์มสุกร และหญ้าขันหมัก			
SW/BM ratio	50:50	60:40	70:30
Total methane production (มิลลิลิตร)	3569.1	3665.9	3919.2
SMY (มิลลิลิตร CH_4 /กรัม VS_{added})	353.7	349.1	377.6
%BMP	41.24	42.16	42.64
Acetic acid (มิลลิกรัม/ ลิตร)	935.2	866.6	546.7
Propionic acid (มิลลิกรัม/ ลิตร)	869.9	640.5	244.8
Butyric acid (มิลลิกรัม/ ลิตร)	980.4	891.3	438.5
pH	7.5	7.4	7.6
NH₃-N (มิลลิกรัม/ ลิตร)	1750.12	1631.18	1592.2
TKN (มิลลิกรัม/ ลิตร)	570.8	533.2	497.8
VS_{removal (%)}	55.4	56.8	58.3

จากการวิเคราะห์องค์ประกอบของกรดไขมันระเหยง่ายเมื่อสิ้นสุดปฏิกริยา พบว่า มีปริมาณของกรดอะซิติกเป็นองค์ประกอบในสัดส่วนที่สูงกว่ากรดไขมันชนิดอื่นๆ นอกจากนี้ยังพบปริมาณกรดไขมันระเหยชนิดอื่นที่เกิดขึ้นในชุดการทดลอง ซึ่งได้แก่ กรดโพรพิโอนิก และกรดบิวทิริก (ตาราง 15) พบว่า อัตราส่วนการหมักที่ 50:50, 60:40 และ 70:30 มีปริมาณกรดอะซิติกที่ 935.2, 866.6 และ 546.7 มิลลิกรัม/ ลิตร ปริมาณโพรพิโอนิกที่ 869.9, 640.5 และ 244.8

มิลลิกรัม/ ลิตร ซึ่งสอดคล้องกับ Kenneth et al. (2010) ได้ศึกษาการผลิตก๊าซมีเทนจากขยะมูลฝอยพบว่า การเปลี่ยนแปลงของกรดอะซิติก และบัวทีริก ส่วนผลให้มีปริมาณก๊าซมีเทนที่เพิ่มขึ้น เมื่อพิจารณาค่าแอมโมเนีย พบร่วมกับอัตราส่วนที่ 50:50, 60:40 และ 70:30 มีค่าแอมโมเนียที่สูงสุด ปฎิกริยาเมื่อค่าลดลงเท่ากับ 1750.12, 1631.18 และ 1592.2 มิลลิกรัม/ ลิตร ซึ่งสอดคล้องกับ Karapaju and Rintala (2005; Gelegenis et al, 2007) พบร่วมกับมูลสุกรและหญ้าหมักช่วยขับยึ้งการสะสมแอมโมเนียในระบบ และช่วยให้มีศักยภาพในการผลิตมีเทนได้สูง

จากข้อมูลที่ได้จากการศึกษาอัตราส่วนการหมักระหว่างน้ำเสียฟาร์มจากสุกรและหญ้านหมักในอัตรา 50:50, 60:40 และ 70:30 ต่อประสิทธิภาพการผลิตก๊าซมีเทนที่ได้สูงสุด พบร่วมกับอัตราส่วนระหว่างน้ำเสียฟาร์มจากสุกรและหญ้านหมัก 70:30 เป็นอัตราส่วนที่ผลิตก๊าซมีเทนที่ได้สูงสุด จึงนำมาทำการทดลองในขั้นตอนต่อไป

ผลของระยะเวลาකักเก็บต่อประสิทธิภาพในการผลิตก๊าซมีเทน

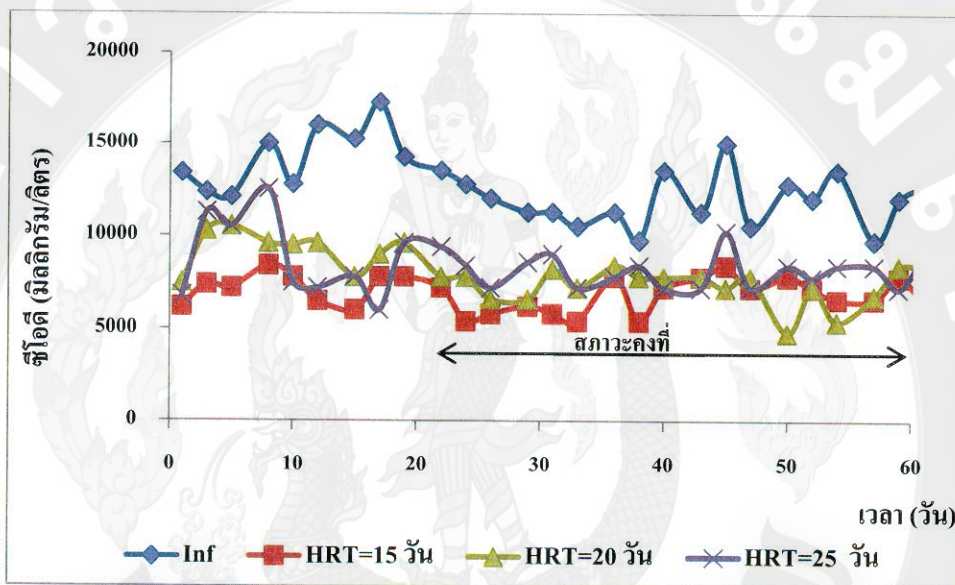
เริ่มต้นเดินระบบการทดลองสำหรับชุดการทดลอง ซึ่งตะกอนที่ใช้ในการเริ่มน้ำในระบบเป็นกากระดอนจากถังหมักแบบ ไร้ออกซิเจน ของฟาร์มแดง พรหมมินทร์ โดยนำตะกอนหัวเชื้อมาใส่ยังชุดการทดลองร้อยละ 10 จากนั้นเติมน้ำเสียจากฟาร์มสุกรที่ผสมกับวัสดุหมักร่วมเข้าชุดการทดลองจนครบปริมาตรใช้งาน ทึ่งไว้ 7 วันเพื่อให้จุลทรรศน์ปรับตัว โดยสังเกตว่ามีก๊าซเกิดขึ้นจึงเริ่มป้อนน้ำเสียเข้าที่ผสมกับวัสดุหมักเข้าสู่ระบบแบบต่อเนื่อง (Continuous) จนกระทั่งระบบเข้าสู่ภาวะคงที่ แล้วจึงป้อนน้ำเสียเข้าระบบตามค่าระยะเวลาการกักเก็บที่ทำการทดลองโดยป้อนปริมาณน้ำเสีย ของแต่ละชุดการทดลองให้คงที่ และอัตราส่วนที่ใช้ในแต่ละวัน ผลการวิเคราะห์พารามิเตอร์ต่างๆ ของน้ำเสียที่ป้อนเข้าระบบและน้ำออกจากระบบทองแต่ละชุดการทดลอง (ตาราง 16) ประสิทธิภาพในการกำจัดสารอินทรีย์ของน้ำ และอัตราการผลิตก๊าซมีเทน ผลแสดงดังต่อไปนี้

ตาราง 16 ความสัมพันธ์ของอัตราการเติมน้ำเสียและระยะเวลาการกักเก็บน้ำที่ใช้ในการทดลอง

ระยะเวลาการกักเก็บ (วัน)	15	20	25
อัตราการเติมน้ำเสีย (ลิตร/วัน)	53.4	40	32
จำนวนวันที่ใช้ในการทดลอง (วัน)	60	60	60

ประสิทธิภาพการกำจัดค่าซีโอดี

ค่าซีโอดีของน้ำเสียที่ป้อนเข้าชุดการทดลองตลอดช่วงของการทดลองที่ระยะเวลา กักเก็บ 15, 20 และ 25 วัน มีค่าเฉลี่ย $12,758 \pm 623.4$ มิลลิกรัม/ลิตร ส่วนค่าซีโอดีของน้ำออกในชุด การทดลองที่ระยะเวลา กักเก็บ 15, 20 และ 25 วัน มีค่าเฉลี่ยเท่ากับ $6,953.6 \pm 230.5$, $7,997.7 \pm 123.2$ และ $8,397.4 \pm 209.0$ มิลลิกรัม/ลิตร ตามลำดับ (ภาพ 22)

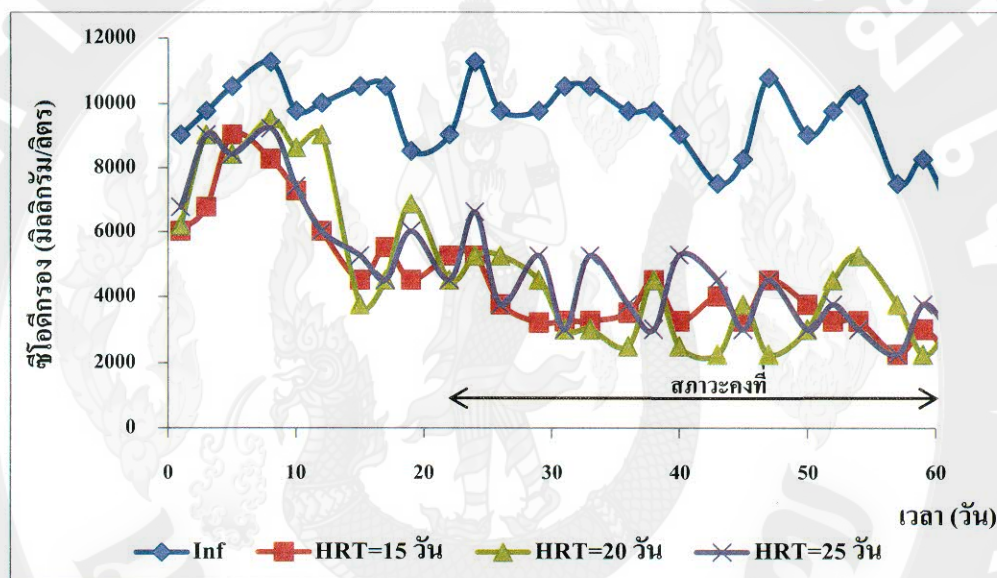


ภาพ 22 ค่าซีโอดีของน้ำเข้าและน้ำออกที่ระยะเวลา กักเก็บต่างๆ

จากผลการทดลอง พบร่วมกับค่าซีโอดีของน้ำออกทั้ง 3 ชุดการทดลอง ในช่วงแรกของการเริ่มนับต้นระบบ มีค่าค่อนข้างสูงตามความเข้มข้นของสารอินทรีย์ที่เข้าสู่ระบบ และเริ่มลดลงเมื่อระบบเข้าสู่สภาวะคงที่ แสดงให้เห็นว่า น้ำเสียจากฟาร์มสุกรและหมูขนาดใหญ่ที่เข้าระบบมีลักษณะการย่อยทางชีวภาพได้ดี เมื่อพิจารณาประสิทธิภาพในการกำจัดค่าซีโอดีของชุดการทดลองที่ระยะเวลา กักเก็บ 15, 20 และ 25 วัน พบร่วมกับค่าเฉลี่ยที่ 45.5, 37.3 และ 34.2 ตามลำดับ โดยเมื่อเปรียบเทียบการกำจัดค่าซีโอดีโดยการวิเคราะห์ความแตกต่างทางสถิติ Analysis of Variance (ANOVA) และวิเคราะห์ความแตกต่างระหว่างค่าเฉลี่ยโดยวิธี Duncan's multiple range test ด้วยโปรแกรม SPSS พบร่วมกับค่าที่ ที่ระยะเวลา กักเก็บ 15, 20 และ 25 วัน มีประสิทธิภาพไม่แตกต่างกันอย่างมีนัยสำคัญ ($P>0.05$) ซึ่งประสิทธิภาพในการกำจัดสารอินทรีย์ในรูปซีโอดี แสดงถึงประสิทธิภาพในการทำงานของชุดการทดลอง ในการย่อยสลายสารอินทรีย์ที่อยู่ในรูปของอนุภาคของแข็ง และสารละลายซึ่งสามารถนำไปใช้เป็นแหล่งพลังงาน

และแหล่งการรับอนของจุลทรรศน์ได้ (Korenaga et al. (1990) และสอดคล้องกับ Metcalf and Eddy. (2004) ที่พบว่า ความเข้มข้นของซีโอดีมีค่าแปรปรวนไปตามความเข้มข้นของซีโอดีของน้ำเสียที่เข้าสู่ระบบ ซึ่งมีค่าความเข้มข้นของซีโอดีในน้ำออกอยู่ในช่วง 3000-5000 มิลลิกรัม/ลิตร

จากการวิเคราะห์ค่าซีโอดีกรองของน้ำเสียที่ป้อนเข้าชุดการทดลองตลอดช่วงของการทดลองที่ระยะเวลาถูกเก็บ 15, 20 และ 25 วัน มีค่าเฉลี่ย $11,280 \pm 109.2$ มิลลิกรัม/ลิตร ส่วนค่าซี-โอดีของน้ำออกที่ระยะเวลาถูกเก็บ 15, 20 และ 25 วัน มีค่าเฉลี่ยเท่ากับ $4,546.5 \pm 112.4$, $4,856.7 \pm 161.0$ และ 4962.6 ± 125.3 มิลลิกรัม/ลิตร ตามลำดับ (ภาพ 23)



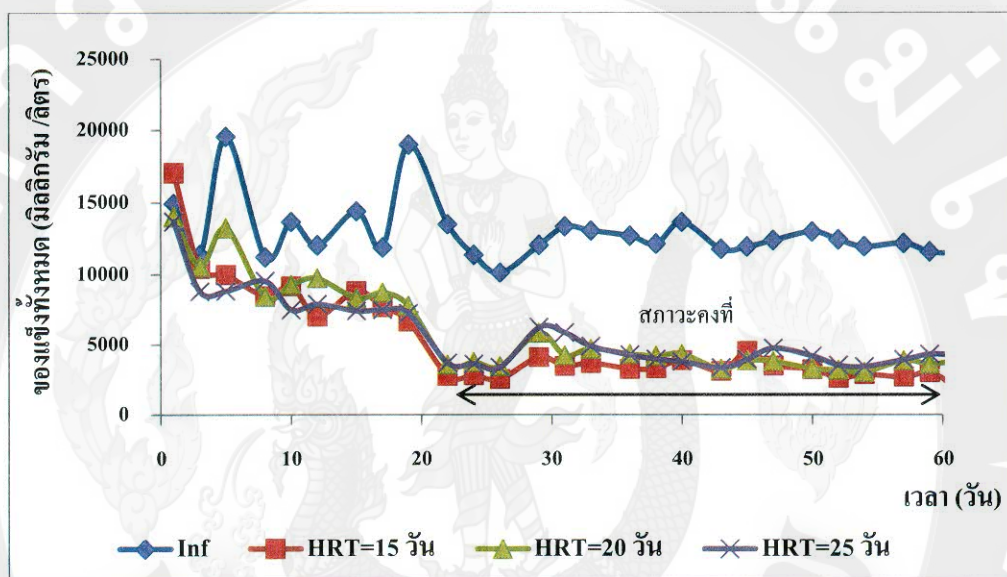
ภาพ 23 ค่าซีโอดีกรองของน้ำเข้าและน้ำออกที่ระยะเวลาถูกเก็บต่างๆ

จากการทดลองพบว่า ค่าซีโอดีกรองของน้ำออกทั้ง 3 ชุดการทดลองในช่วงแรกของการเริ่มต้นระบบที่ระยะเวลาถูกเก็บ 15, 20 และ 25 วัน มีค่าค่อนข้างสูง และเริ่มลดลง เมื่อระบบเข้าสู่ภาวะคงที่ เมื่อพิจารณาประสิทธิภาพในการกำจัดค่าซีโอดีกรองของชุดการทดลองที่ระยะเวลาถูกเก็บ 15, 20 และ 25 วัน พบว่า มีประสิทธิภาพในการย่อยสลายซีโอดีกรองเท่ากับร้อยละ 52.4, 49.1 และ 48.0 ตามลำดับ เมื่อเปรียบเทียบการกำจัดซีโอดีกรองโดยการวิเคราะห์ความแตกต่างทางสถิติ พบว่า ที่ระยะเวลาถูกเก็บ 15, 20 และ 25 วัน ประสิทธิภาพในการกำจัดซีโอดีกรองมีค่าไม่แตกต่างกันอย่างมีนัยสำคัญ ($P>0.05$)

ซึ่งจากความสัมพันธ์ของค่าซีโอดี และค่าซีโอดีกรองของน้ำเข้า และน้ำออกจากระบบของทุกชุดการทดลอง พบว่า น้ำเข้ามีค่ามากกว่าน้ำออก แสดงว่า ในระบบมีการย่อยสลายสารอินทรีย์จึงทำให้ความเข้มข้นของสารอินทรีย์ของน้ำเสียลดลง

ของแข็งทั้งหมดและของแข็งระยะเหยียบทั้งหมด

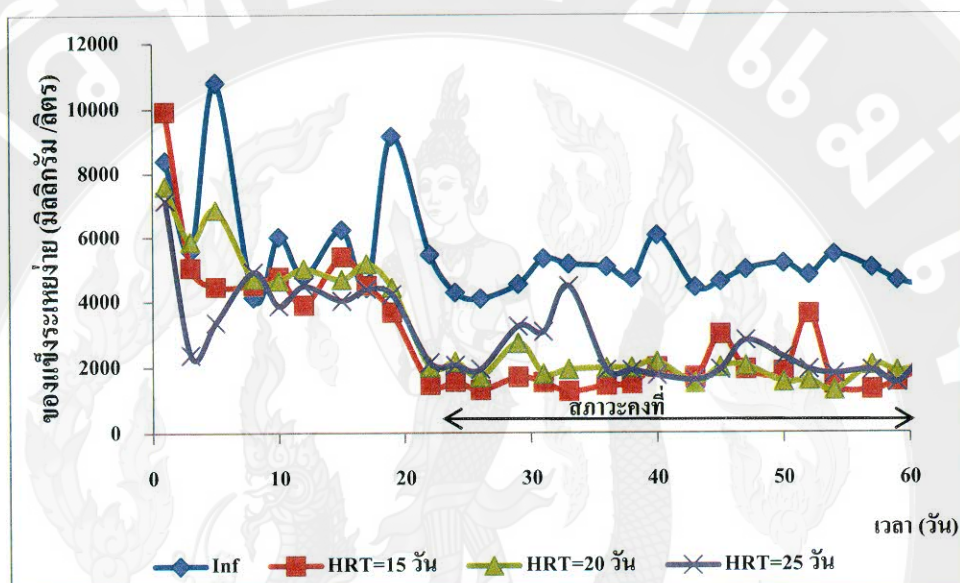
ปริมาณของแข็งทั้งหมดของน้ำเสียที่ป้อนเข้าชุดการทดลองตลอดช่วงของการทดลองที่ระยะเวลาถูกเก็บ 15, 20 และ 25 วัน มีค่าเฉลี่ยที่ $12,911.8 \pm 319.2$ มิลลิกรัม/ลิตร ส่วนปริมาณของแข็งทั้งหมดของน้ำออกที่ระยะเวลาถูกเก็บ 15, 20 และ 25 วันมีค่าเฉลี่ยเท่ากับ $5,266.9 \pm 409.0$, $5,932.0 \pm 389.0$ และ 5691.3 ± 234.0 มิลลิกรัม/ลิตร ตามลำดับ (ภาพ 24)



ภาพ 24 ค่าของแข็งทั้งหมดของน้ำเข้าและน้ำออกที่ระยะเวลาถูกเก็บต่างๆ

จากการทดลอง พบร่วมกับ ปริมาณของแข็งทั้งหมดของน้ำออกทั้ง 3 ชุดการทดลองที่ระยะเวลาถูกเก็บ 15, 20 และ 25 วัน ในช่วงแรกของการเริ่มต้นระบบมีค่าค่อนข้างสูง และเริ่มลดลงเมื่อระบบเข้าสู่สภาวะคงที่ เมื่อพิจารณาประสิทธิภาพในการกำจัดของแข็งทั้งหมดของชุดการทดลองที่ระยะเวลาถูกเก็บ 15, 20 และ 25 วัน พบร่วมกับ ประสิทธิภาพในการย่อยสลายของแข็งทั้งหมดเท่ากับร้อยละ 59.2, 54.0 และ 55.9 ตามลำดับ เมื่อเปรียบเทียบการกำจัดของแข็งทั้งหมดโดยวิเคราะห์ความแตกต่างทางสถิติ Analysis of Variance (ANOVA) และวิเคราะห์ความแตกต่างระหว่างค่าเฉลี่ยโดยวิธี Duncan's multiple range test ด้วยโปรแกรม SPSS พบร่วมกับ ที่ระยะเวลาถูกเก็บ 15, 20 และ 25 วัน มีประสิทธิภาพไม่แตกต่างกันอย่างมีนัยสำคัญ ($P>0.05$) ทั้งนี้เนื่องจากปริมาณของแข็งในช่วงแรกจะulinทรีฟ์ในชุดการทดลองอยู่ในช่วงระยะเวลาการปรับตัวให้เข้ากับสภาพแวดล้อมใหม่ จึงทำให้มีสารอินทรีฟ์แวนดอยหลุดออกจากชุดการทดลอง

จากการวิเคราะห์ปริมาณของแข็งระเหยทั้งหมดของน้ำเสียที่ป้อนเข้าชุดการทดลองตลอดช่วงของการทดลองที่ระยะเวลา กักเก็บ 15, 20 และ 25 วัน มีค่าเฉลี่ย $5,474.7 \pm 688.0$ มิลลิกรัม/ลิตร ส่วนปริมาณของแข็งระเหยทั้งหมดของน้ำออกที่ระยะเวลา กักเก็บ 15, 20 และ 25 วัน มีค่าเฉลี่ยเท่ากับ $2,885.9 \pm 120.3$, $3,082.4 \pm 190.3$ และ $2,934.3 \pm 234.0$ มิลลิกรัม/ลิตร ตามลำดับ (ภาพ 25)



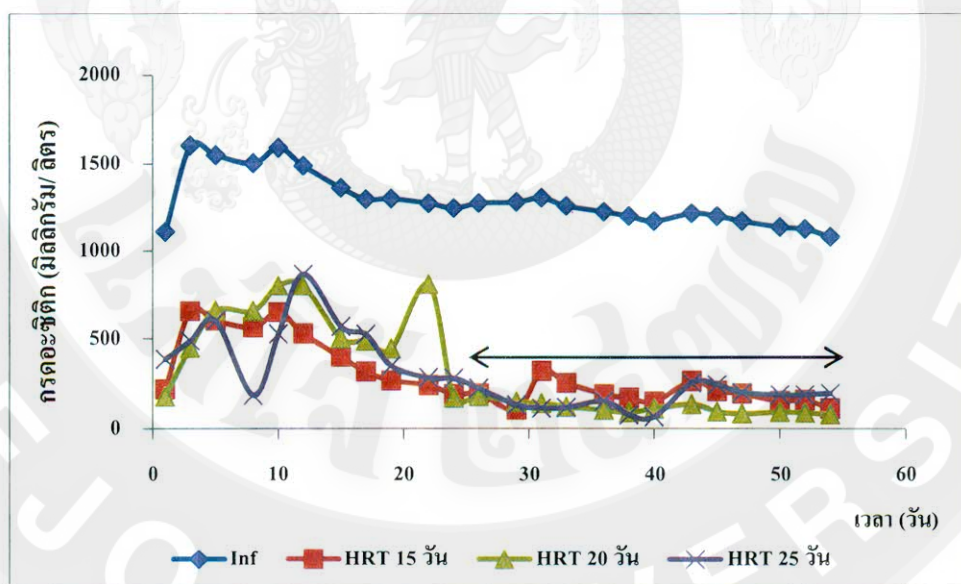
ภาพ 25 ค่าของแข็งระเหยจ่ายของน้ำเข้าและน้ำออกที่ระยะเวลา กักเก็บต่างๆ

จากการทดลอง พบร่วมกับ ปริมาณของแข็งระเหยจ่ายของน้ำออกทั้ง 3 ชุดการทดลองที่ระยะเวลา กักเก็บ 15, 20 และ 25 วัน ในช่วงแรกของการเริ่มต้นระบบมีค่าค่อนข้างสูง และเริ่มลดลงเมื่อระบบเข้าสู่สภาวะคงที่ เมื่อพิจารณาประสิทธิภาพในการกำจัดค่าของแข็งระเหยจ่ายของชุดการทดลองที่ระยะเวลา กักเก็บ 15, 20 และ 25 วัน พบร่วมกับ ประสิทธิภาพในการย่อยสลายของแข็งทั้งหมดเท่ากับร้อยละ 47.3, 43.7 และ 43.4 ตามลำดับ เมื่อพิจารณาการกำจัดของแข็งทั้งหมด พบร่วมกับ ระยะเวลา กักเก็บ 15, 20 และ 25 วัน มีประสิทธิภาพในการย่อยสลายของแข็งระเหยจ่ายไม่แตกต่างกันอย่างมีนัยสำคัญ ($P>0.05$) ซึ่งสอดคล้องกับผลการทดลองของ Fischer et al. (1983) ที่พบร่วมกับในช่วงแรกของการทดลองจะมีแนวโน้มของแข็งระเหยจ่ายในปริมาณที่สูง แต่เมื่อระบบเข้าสู่สภาวะคงที่ปริมาณของแข็งระเหยจ่ายจะค่อยลดลง ซึ่งมีประสิทธิภาพในการกำจัดได้ถึงร้อยละ 65

ค่ากรดไขมันระเหยจ่าย

ปริมาณกรดไขมันที่เข้าระบบในชุดการทดลองทั้ง 3 ชุดการทดลองที่ระยะเวลา각กัน 15, 20 และ 25 วัน ซึ่งค่ากรดไขมันระเหยจ่ายที่วิเคราะห์คิดอยู่ในรูปของกรดอะซิติก บัวทีริก และโพพิโอนิก พบว่า ปริมาณกรดอะซิติกของน้ำออกทั้ง ที่ระยะเวลา각กัน 15, 20 และ 25 วัน มีค่าเฉลี่ยเท่ากัน 295.3 ± 38.3 , 309.3 ± 69.2 และ 300.8 ± 54.1 มิลลิกรัม/ลิตร (ภาพ 26)

ในช่วงแรกของทั้ง 3 ชุดการทดลองมีปริมาณกรดอะซิติกที่มีค่าสูง หลังจากที่ระบบเข้าสู่คงที่แล้วปริมาณกรดอะซิติกอยู่ในช่วงที่เหมาะสม ซึ่งสอดคล้องกับผลการทดลอง สอดคล้องกับผลงานวิจัยของ Alexiou and Panter, (2004; Siedlecka, 2008) ที่พบว่า สารอินทรีย์ที่เข้าสู่ระบบจะถูกย่อยลายโดยสารอินทรีย์ที่ผ่านขั้นตอนการบ่อขยะจะถูกแบคทีเรียกลุ่มสร้างกรดเปลี่ยนเป็นกรดอินทรีย์ ซึ่งปกติแล้วกรดไขมันระเหยจ่ายควรมีค่าอะซิติกประมาณ 20-200 มิลลิกรัม/ลิตร ซึ่งระบบมีความต้องการใช้กรดอะซิติกเป็นสารตั้งต้นหลักสำหรับเปลี่ยนเป็นก๊าซมีเทน

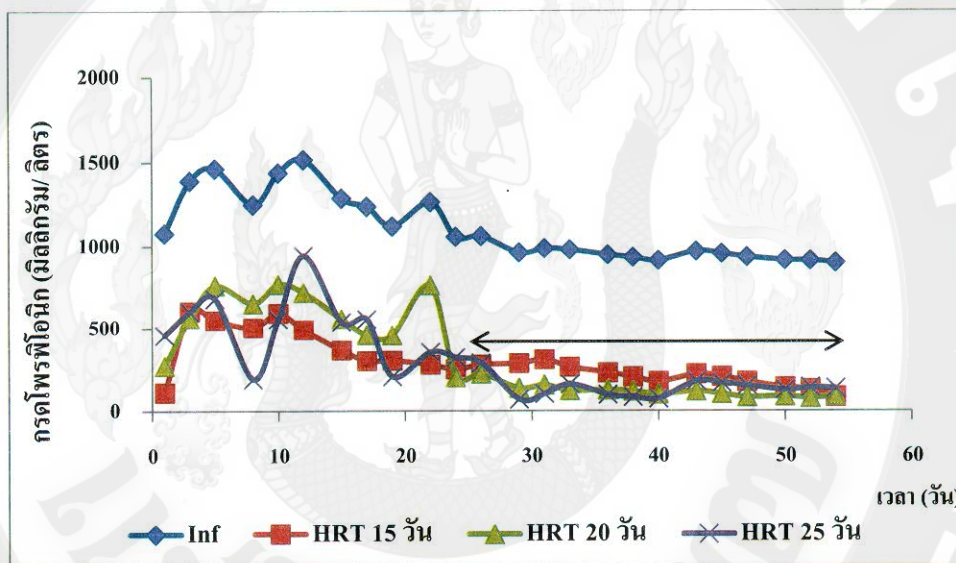


ภาพ 26 ปริมาณกรดอะซิติกของน้ำออกที่ระยะเวลา각กันต่างๆ

จากการทดลองหลังจากระบบทเข้าสู่สภาวะคงที่ พบว่า ปริมาณสารอินทรีย์ที่ป้อนเข้าสู่ระบบจะถูกย่อยลายเป็นกรดไขมันระเหยซึ่งอยู่ในรูปของกรดอะซิติก กรดบัวทีริก และโพพิโอนิก โดยจะพบปริมาณกรดอะซิติกเป็นองค์ประกอบหลัก และเป็นผลิตภัณฑ์สุดท้ายในขั้นตอนการหมักกรด ซึ่งปริมาณกรดไขมันระเหยในระบบจะเป็นตัวชี้วัดประสิทธิภาพการผลิตก๊าซมีเทน

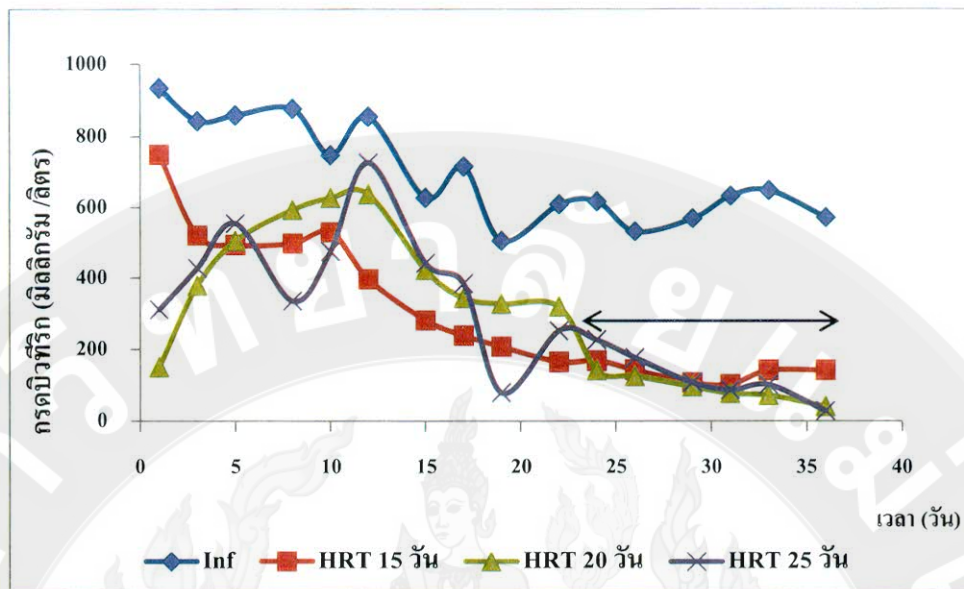
มีเห็นของระบบ โดยแบคทีเรียในกลุ่มผลิตกําชมีเห็นจะใช้กรดอะซิติกเพื่อผลิตกําชมีเห็น จึงทำให้ปริมาณกรดอะซิติกลดลง จากนั้นจึงมีการใช้กรดโพพิโอนิก และกรดบิวทีริก ในการหมักกรดในขี้ต่อไป Li and Nishino (2011; Xie et al, 2011)

เมื่อวิเคราะห์ปริมาณกรดโพพิโอนิกของน้ำเสียที่ป้อนเข้าชุดการทดลองตลอดช่วงของการทดลองที่ระยะเวลา กักเก็บ 15, 20 และ 25 วัน มีปริมาณกรดโพพิโอนิกเท่ากับ $1,103.8 \pm 88.4$ มิลลิกรัม/ลิตร ส่วนปริมาณปริมาณกรดโพพิโอนิกของน้ำออกที่ระยะเวลา กักเก็บ 15, 20 และ 25 วัน มีค่าเฉลี่ยเท่ากับ 291.6 ± 36.5 , 321.0 ± 119.7 และ 299.0 ± 196.9 มิลลิกรัม/ลิตร (ภาพ 27)



ภาพ 27 ปริมาณกรดโพพิโอนิกของน้ำออกที่ระยะเวลา กักเก็บต่างๆ

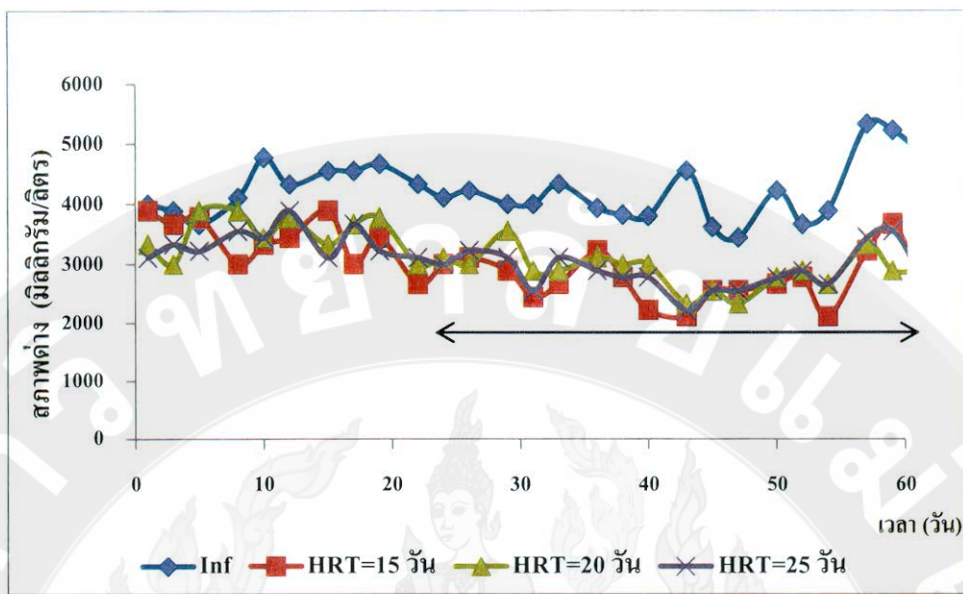
และเมื่อวิเคราะห์ปริมาณกรดบิวทีริกของน้ำเสียที่ป้อนเข้าชุดการทดลองตลอดช่วงของการทดลองที่ระยะเวลา กักเก็บ 15, 20 และ 25 วัน มีปริมาณกรดบิวทีริกเท่ากับ 697.2 ± 112.0 มิลลิกรัม/ลิตร ส่วนปริมาณกรดบิวทีริกของน้ำออกที่ระยะเวลา กักเก็บ 15, 20 และ 25 วัน มีค่าเฉลี่ยเท่ากับ 305.2 ± 183.3 , 304.0 ± 112.7 และ 295.0 ± 122.2 มิลลิกรัม/ลิตร (ภาพ 28)



ภาพ 28 ปริมาณกรดบิวทีริกของน้ำออกที่ระยะเวลาเก็บต่างๆ

สภาพด่าง

จากการวิเคราะห์สภาพด่างทั้งหมดของน้ำเสียที่ป้อนเข้าชุดการทดลองตลอดช่วงของการทดลองที่ระยะเวลาเก็บต่าง 15, 20 และ 25 วัน มีค่าเฉลี่ย $4,220 \pm 267.3$ มิลลิกรัม/ลิตรในรูปของแคลเซียมкар์บอเนต ส่วนสภาพด่างทั้งหมดของน้ำออกที่ระยะเวลาเก็บต่าง 15, 20 และ 25 วัน มีค่าเฉลี่ยเท่ากับ $2,996 \pm 160.5$, $3,123 \pm 148.0$ และ $3,065 \pm 148.5$ มิลลิกรัม/ลิตรในรูปของแคลเซียม-кар์บอเนต ตามลำดับ (ภาพ 29)

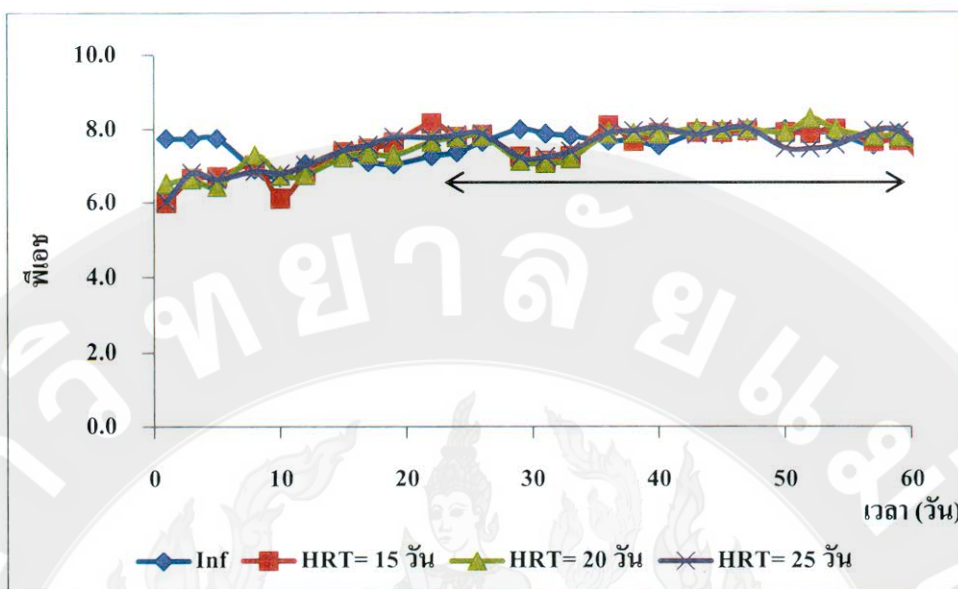


ภาพ 29 การเปลี่ยนแปลงค่าสภាពค่างของน้ำออกที่ระยะเวลาเก็บต่างๆ

ผลการทดลอง พบร่วมกับเมื่อระบบเข้าสู่สภาวะคงที่ สภាពค่างในระบบส่วนหนึ่งมาจากการแอมโมเนียจากน้ำเสียจากฟาร์มสุกรที่ช่วยรักษาสภាពค่างให้อยู่ในระดับที่ต้านทานการเปลี่ยนแปลงของพีเอช ซึ่งน้ำออกจากชุดการทดลองจะมีสภាពค่างที่เปลี่ยนไปในแนวโน้มเดียวกัน ($P>0.05$) ซึ่งอยู่ในช่วงที่เหมาะสม และสอดคล้องกับผลการทดลองของ Osman and Delia. (2005 ; Kim et al, 2003) ที่พบว่า สภាពค่างซึ่งความมีค่าอยู่ในช่วง 1,000-5,000 มิลลิกรัม/ลิตรในรูปของแคลเซียมคาร์บอนेट ซึ่งเป็นสภาวะที่เหมาะสมของระบบ

พีเอช

เมื่อพิจารณาค่าพีเอชเมื่อเข้าสู่สภาวะคงที่ พบร่วมกับค่าพีเอชของน้ำออกจากชุดการทดลองที่ระยะเวลาเก็บต่าง 15, 20 และ 25 วัน มีค่าเฉลี่ย 7.4, 7.5 และ 7.5 ตามลำดับ (ภาพ 30) ซึ่งหากค่าพีเอชนี้ความแปรผันไปจากช่วง 6.5-7.5 อาจส่งผลต่อการทำงานของจุลทรรศน์สร้างกำแพง เนื่องจากค่าพีเอชของน้ำออกจากชุดการทดลองพบร่วมกับตั้งแต่วันที่ 10 ค่าพีเอชของทุกชุดการทดลองมีแนวโน้มเพิ่มขึ้นเล็กน้อย และค่าพีเอชของน้ำออกจากชุดการทดลองยังมีสภាពเป็นกลาง ซึ่งแสดงให้เห็นว่า ทุกชุดการทดลองไม่มีความแตกต่างอย่างมีนัยสำคัญ ($P>0.05$)

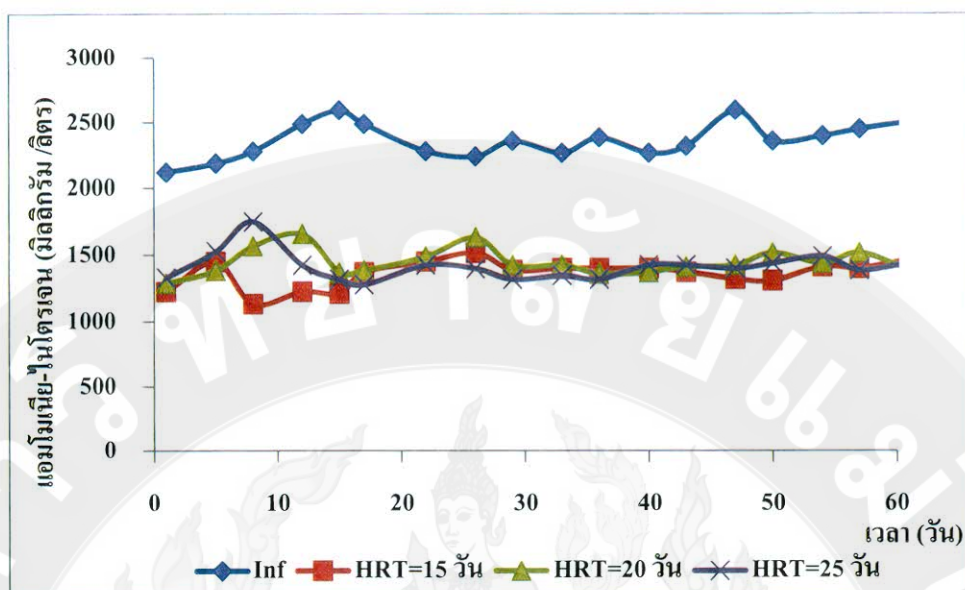


ภาพ 30 การเปลี่ยนแปลงค่าพีอีของน้ำออกที่ระยะเวลา กักเก็บต่างๆ

ผลการทดลอง พบว่า ค่าพีอีของน้ำออกลดช่วงการทดลอง พบว่า ช่วงแรก ของชุดการทดลองค่าพีอีในระบบจะมีค่าอยู่ในช่วง 6.5-7.5 ซึ่งสอดคล้องกับผลการทดลองของ Bryant (1991; Yu and Fang, 2002) ที่พบว่า ค่าพีอีที่เหมาะสมแก่การสร้างคราบค่าพีอีเท่ากับ 6 การที่ระบบสามารถรักษาค่าพีอีในช่วงที่เหมาะสมต่อการทำงานของชุมชนทรีในระบบได้ทุก สภาวะการทดลอง ส่วนหนึ่งเนื่องมาจากการที่เข้าสู่ชุดการทดลองที่ประกอบด้วย น้ำเสียจากฟาร์มสุกรถึงร้อยละ 70 ปริมาณความเข้มข้นของ $\text{NH}_3\text{-N}$ ที่สูงในน้ำเสีย สามารถเพิ่ม สภาพด่าง ทำให้ระบบสามารถรักษาค่าพีอีที่เหมาะสมได้

แอมโมเนียม-ไนโตรเจน

จากการวิเคราะห์ปริมาณแอมโมเนียม-ไนโตรเจนของน้ำเสียที่ป้อนเข้าระบบตลอด ช่วงของชุดทดลองที่ระยะเวลา กักเก็บ 15, 20 และ 25 วัน มีค่าเฉลี่ยเท่ากับ $2,362.6 \pm 48.3$ มิลลิกรัม/ลิตร ส่วนปริมาณแอมโมเนียม-ไนโตรเจนของน้ำออกที่ระยะเวลา กักเก็บ 15, 20 และ 25 วัน มีค่าเฉลี่ย เท่ากับ $1,354.0 \pm 70.2$, $1,44.5 \pm 39.1$ และ $1,410.2 \pm 25.1$ มิลลิกรัม/ลิตร ตามลำดับ (ภาพ 31)



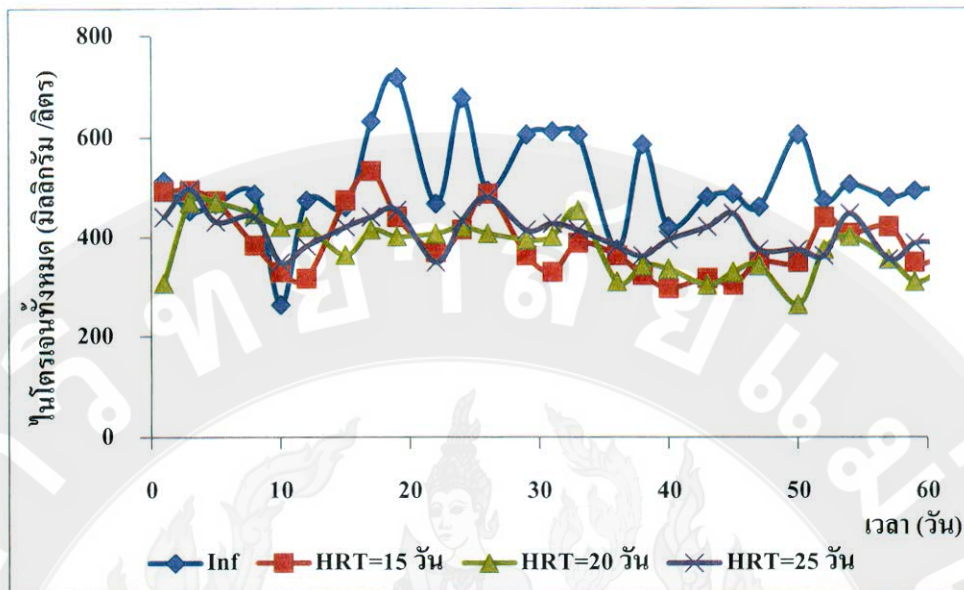
ภาพ 31 การเปลี่ยนแปลงค่าแอมโมเนีย-ไนโตรเจนของน้ำออกที่ระยะเวลา กักเก็บต่างๆ

จากการวิเคราะห์ปริมาณแอมโมเนีย-ไนโตรเจนของแต่ละชุดการทดลอง พบว่า ที่ระยะเวลา กักเก็บ 15, 20 และ 25 วัน มีปริมาณแอมโมเนีย-ไนโตรเจน ไม่มีความแตกต่างอย่างมีนัยสำคัญ ($P>0.05$) ซึ่งจะเห็นได้ว่าแต่ละชุดการทดลองมีปริมาณแอมโมเนีย-ไนโตรเจนค่อนข้างใกล้เคียงกัน อาจเนื่องมาจากการปริมาณน้ำเสียที่ป้อนเข้าระบบมีปริมาณที่ใกล้เคียงกัน

เมื่อพิจารณาปริมาณแอมโมเนียในโตรเจนของน้ำออกจากระบบที่สภาวะคงที่ พบว่า ที่ระยะเวลา กักเก็บ 15, 20 และ 25 วัน อยู่ในช่วงที่ไม่เกิดผลเสียต่อชุมชนทรีฟ์ ซึ่งค่าแอมโมเนีย-ไนโตรเจนที่เหมาะสมจะอยู่ในช่วง 1,500-3,000 มิลลิกรัม/ลิตร ซึ่งอาจจะมีผลบั้บบังต่อระบบเมื่อมีค่าพีเอชสูง McCarty, (1991) โดยที่ค่าแอมโมเนียที่เกิดขึ้นมีปัจจัยมาจากค่าของแข็งห้องหมอดที่เข้าสู่ถังปฏิกรณ์ และระยะเวลา กักเก็บน้ำ (Laclos et.al., 1997)

ในโตรเจนทั้งหมด

เมื่อพิจารณาจากปริมาณในโตรเจนทั้งหมดของน้ำเสียที่ป้อนเข้าระบบตลอดช่วงของชุดทดลองที่ระยะเวลา กักเก็บ 15, 20 และ 25 วัน มีค่าเฉลี่ยเท่ากับ 263.3 ± 38.5 มิลลิกรัม/ลิตร ส่วนปริมาณในโตรเจนทั้งหมดของน้ำออกที่ระยะเวลา กักเก็บ 15, 20 และ 25 วัน มีค่าเฉลี่ยเท่ากับ 391.0 ± 51.3 , 377.9 ± 28.3 และ 410.4 ± 15.9 มิลลิกรัม/ลิตร ตามลำดับ (ภาพ 32)



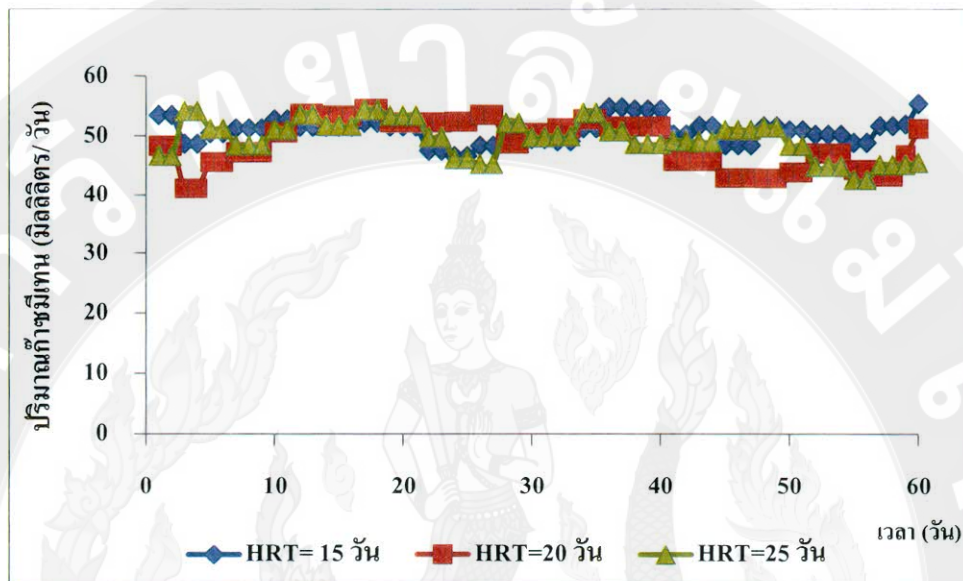
ภาพ 32 การเปลี่ยนแปลงค่าไนโตรเจนทั้งหมดของน้ำออกที่ระยะเวลาเก็บต่างๆ

จากการเปรียบเทียบปริมาณไนโตรเจนทั้งหมดโดยการวิเคราะห์ความแตกต่างทางสถิติ พบว่า ระยะเวลาเก็บที่ 15, 20 และ 25 วัน ค่าไนโตรเจนทั้งหมดของทั้ง 3 ชุดการทดลองไม่มีความแตกต่างอย่างมีนัยสำคัญ ($P>0.05$) ภาพ 32 จะเห็นได้ว่า ที่ระยะเวลาเก็บ 15 วัน มีค่าค่อนข้างต่ำกว่าการทดลองอื่น อาจเนื่องมาจากระบบท้องของน้ำเสียจากฟาร์มสุกรที่เข้าสู่ชุดการทดลองมีการแพร่ผ่านทดลองช่วงเวลาการทดลอง และค่าไนโตรเจนทั้งหมดจะมีค่าสูงขึ้นที่ระยะเวลาเก็บสูงด้วย ซึ่งสอดคล้องกับงานวิจัยของ Prochazka et al. (2012; Yenigun and Demirel, 2013) พบว่าค่าไนโตรเจนในน้ำนมมีค่าอยู่ที่ 600-8000 มิลลิกรัม/ลิตร และมีค่าพีเอชในช่วง 7.2 -7.5 ซึ่งเป็นช่วงที่เหมาะสมของระบบ ซึ่งระบบจะมีปริมาณไนโตรเจนไม่เกิน 3,500 มิลลิกรัม /ลิตร (Laclos et al., 1997)

ปริมาณก้าชชีวภาพและองค์ประกอบก้าชชีวภาพ

ปริมาณการเกิดก้าชชีวภาพต่อวันที่สภาวะคงมีค่าค่อนข้างคงที่โดยมีอัตราการเกิดก้าชเฉลี่ยเท่ากับ 255, 244 และ 235 มิลลิลิตร/วัน ที่ระยะเวลาเก็บ 15, 20 และ 25 วัน และจาก การตรวจวัดองค์ประกอบของก้าชชีวภาพมีอัตราส่วนมีเทนมีค่าเฉลี่ยที่ร้อยละ 50.8 , 49.5 และ 48.7 (ภาพ 33) ปริมาณก้าชชีวภาพที่เกิดขึ้นในแต่ละวันตลอดช่วงระยะเวลาการในช่วงแรกที่เริ่มดำเนินการทดลองของชุดการทดลองที่ระยะเวลาเก็บ 15, 20 และ 25 วัน พบว่า ในช่วงแรก

ของการทดลองปริมาณของก๊าซมีเทนจะต่างกันจากอยู่ ในสภาวะการปรับตัวของแบคทีเรียในกลุ่มที่ผลิตก๊าซมีเทนและมีปริมาณของแบคทีเรียที่เรียกว่า เมื่อระบบเข้าสู่สภาวะสมดุลที่พบว่า ได้องค์ประกอบของก๊าซมีเทนมีค่าที่ใกล้เคียงกัน



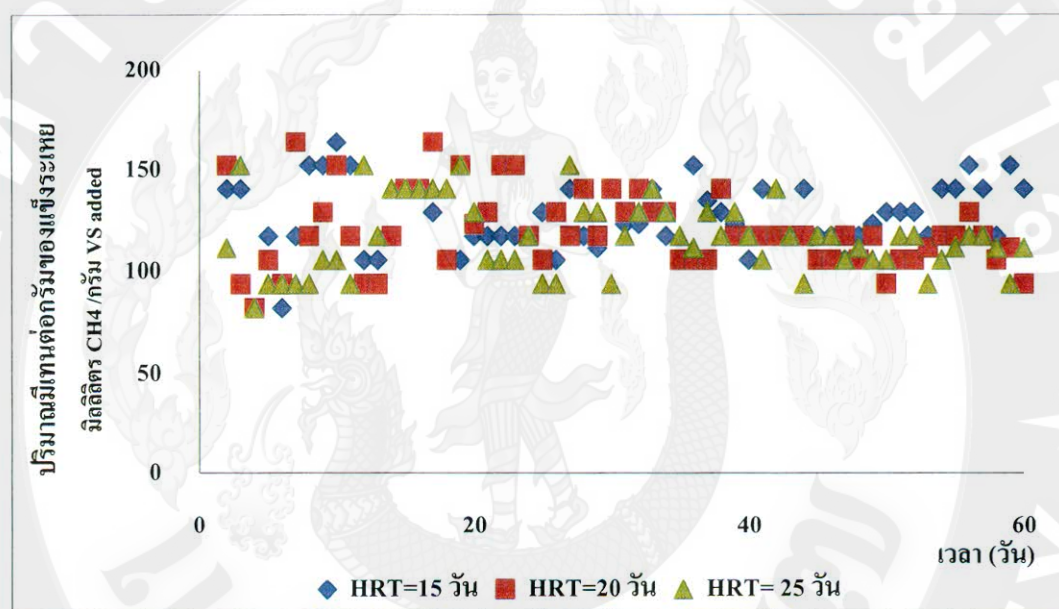
ภาพ 33 ปริมาณก๊าซมีเทนที่ระยะเวลาเก็บกักที่ต่างๆ

ปริมาณก๊าซมีเทนต่อกรัมของแข็งระเหยในช่วงที่สภาวะคงที่ซึ่งผลจากการเปรียบเทียบปริมาณก๊าซชีวภาพโดยวิเคราะห์ความแตกต่างทางสถิติ Analysis of Variance (ANOVA) และวิเคราะห์ความแตกต่างระหว่างค่าเฉลี่ยโดยวิธี Duncan's multiple range test ด้วยโปรแกรม SPSS พบว่า ที่ระยะเวลาเก็บกัก 15, 20 และ 25 วัน มีปริมาณมีเทนที่ผลิตได้ต่อกรัมของแข็งระเหยได้ที่ $3,852 \pm 47.4$, $3,540 \pm 31.4$ และ $3,466 \pm 30.7$ มิลลิลิตร CH_4 /กรัม VS_{added} และปริมาณมีเทนที่ผลิตได้ต่อกรัมของซีโอดีที่ $1,718 \pm 21.0$, $1,526 \pm 13.6$ และ $1,481 \pm 13.0$ มิลลิลิตร CH_4 /กรัม COD_{added} ตามลำดับ (ตาราง 17)

ตาราง 17 อัตราการผลิตก๊าซมีเทนของแต่ละการทดลอง

การทดลอง	มิลลิลิตร CH_4 /กรัม VS _{added}	มิลลิลิตร CH_4 /กรัม COD _{added}
HRT= 15 วัน	$3,852 \pm 47.4$	$1,718 \pm 21.0$
HRT= 20 วัน	$3,540 \pm 31.4$	$1,526 \pm 13.6$
HRT= 25 วัน	$3,466 \pm 30.7$	$1,481 \pm 13.0$

เมื่อพิจารณาจากปริมาณการผลิตก๊าซมีเทนที่ผลิตได้ต่อปริมาณมีเทนที่ผลิตได้ต่อปริมาณสารอินทรีย์ที่ป้อนเข้าระบบ ที่ระยะเวลาตักเก็บน้ำ 15 และ 20 วัน จึงเป็นระยะเวลาที่เหมาะสมในการนำไปใช้งาน โดยอัตราการผลิตก๊าซมีเทนเท่ากับ $3,852$ และ $3,540 \pm 31.4$ มิลลิลิตร $\text{CH}_4/\text{กรัม VS}_{\text{added}}$ ซึ่งมีค่าสูงกว่าที่ระยะเวลาตักเก็บที่ 25 วัน (ภาพ 34) ซึ่งสอดคล้องกับการทดลองของ Fiseher et al. (1983) ที่พบว่า การหมักร่วมที่ระยะเวลาตักเก็บที่ 15 วัน และมีอัตราการระบบทุกสารอินทรีย์ที่ 3.8 กิโลกรัม VS (ลูกบาศก์เมตร/วัน) สามารถผลิตก๊าซมีเทนได้เท่ากับ $3,200$ มิลลิลิตร $\text{CH}_4/\text{กรัม VS}_{\text{added}}$



ภาพ 34 ปริมาณก๊าซมีเทนต่อกรัมของเชื้อเรเบะ

การเปลี่ยนแปลงอัตราการผลิตก๊าซชีวภาพมีความสำคัญเป็นตัวบ่งชี้ถึงการทำงานของจุลินทรีย์กลุ่มที่สร้างมีเทน เนื่องจากคุณสมบัติทางกายภาพและทางเคมี โดยเฉพาะส่วนที่ย่อยสลายได้ยาก ได้แก่ เส้นใยของหญ้า (เซลลูโลส เอ็นิเซลลูโลส และลิกนิน) ซึ่งมีผลต่อจุลินทรีย์ในระบบที่ส่งผลต่ออัตราการผลิตก๊าซและประสิทธิภาพระบบ อัตราการผลิตก๊าซชีวภาพในระบบบำบัดแบบไร์ออกซิเจนในชุดการทดลองขึ้นอยู่กับระยะเวลาตักเก็บที่เหมาะสม

จากการวิเคราะห์อัตราการผลิตก๊าซชีวภาพต่อประสิทธิภาพในการบำบัดสารอินทรีย์ในรูปของชีโวเดิ ปริมาณของเชื้อทั้งหมด และปริมาณของเชื้อเรเบะ ที่ระยะเวลาตักเก็บ 15, 20 และ 25 วัน พบว่า ถึงแม้ว่าปริมาณมีเทนที่ผลิตได้ต่อหน่วยของเชื้อเรเบะจะยัง เมื่อใช้หญ้านหมักเป็นวัสดุหมักร่วมมีความแปรปรวนในช่วงต้น แต่เมื่อระบบมีการปรับตัวทำให้ค่าคงคล่องมีค่าคงตัวคงที่ อาจเนื่องจากอัตราส่วนของสารอินทรีย์ที่อยู่ส่วนระหว่างน้ำเสียจาก

พาร์มสูตรและหญ้าบนหมักที่ใช้เป็นวัสดุหมักร่วม พบว่า มีค่าค่อนข้างคงที่ตลอดเวลาการทดลองจึงทำให้ปริมาณมีเทนที่เกิดขึ้นมีค่าแปรปรวน อย่างไรก็ตาม เมื่อพิจารณาปริมาณมีเทนที่ผลิตได้ในระยะเวลา กก. เก็บ 25 วัน จะพบว่า มีอัตราการผลิตก้าวมีเทนน้อยกว่าที่ระยะเวลา กก. เก็บ 15 และ 20 วัน ทั้งนี้อาจเกิดขึ้นจากการทำงานของชุดนิทรรศในระบบไม่สามารถสัมผัสถูกของเสียในระบบได้ อย่างเต็มที่ ทำให้มีปริมาณการผลิตก้าวมีเทนน้อยกว่าที่ระยะเวลา กก. เก็บ 15 และ 20 วัน

บทที่ 5

สรุปผลการวิจัย และข้อเสนอแนะ

สรุปผลการวิจัย

การคัดแยกเชื้อแบคทีเรียกรดแอลกอติก

จากการคัดแยกเชื้อแบคทีเรียจากอาหารหมักดองพื้นเมืองของไทย และพืชอาหารสัตว์น้ำ สามารถคัดแยกแบคทีเรียกรดแอลกอติกได้ทั้งสิ้น 137 ไอโซเลท และมีแบคทีเรียจำนวน 11 ไอโซเลท (LG101, LGF101, LGF106, LGF107, LGF108, LGF115, LGF2, LNF103, LNF202, LNF207 และ LNF309) ที่สามารถเจริญได้ในญี่ปุ่นสกัดได้ดี ($OD_{600} = 0.508-0.593$) ซึ่งสามารถผลิตกรดแอลกอติกได้ประมาณร้อยละ 1.7-2.1 เมื่อหาลำดับเบสในส่วนของยีน 16S rRNA พบว่า สามารถจำแนกแบคทีเรียกรดแอลกอติกได้ 3 จีนัส จัดออกเป็น 4 สปีชีส์ ได้แก่ *Enterococcus gallinarum*, *Lactobacillus plantarum*, *Lactobacillus brevis* และ *Pediococcus pentosaceus* และคัดเดือกแบคทีเรียที่สามารถผลิตกรดแอลกอติกและเจริญได้ที่สุดจำนวน 3 สายพันธุ์ ได้แก่ *L. plantarum* 107, *P. pentosaceus* 115 และ *L. plantarum* 309

การหมักพืชในระดับห้องปฏิบัติการ

จากการวิเคราะห์องค์ประกอบทางเคมีของญี่ปุ่น ญี่ปุ่นนิ ญี่ปุ่น และญี่ปุ่นค่าที่อายุ 45 วัน พบว่า ญี่ปุ่นนิมีค่าวัตถุแห้งอยู่ที่ร้อยละ 25.67 ซึ่งอยู่ในเกณฑ์ที่เหมาะสมต่อการหมักและมีปริมาณเยื่อไช ADF กับ NDF ที่ร้อยละ 26.71 และ 58.62 ส่วนญี่ปุ่นนิ ญี่ปุ่น ญี่ปุ่นค่ามีค่าวัตถุแห้งที่ร้อยละ 24.72, 22.72 และ 31.75 และมีปริมาณเยื่อไช ADF ที่ร้อยละ 25.66, 27.46 และ 37.36 ปริมาณเยื่อไช NDF ที่ร้อยละ 57.37, 55.29 และ 72.72 ตามลำดับ

ญี่ปุ่นที่ปรับสภาพด้วยแบคทีเรียสายพันธุ์ *L. plantarum* 107, *P. pentosaceus* 115 และ *L. plantarum* 309 มีค่าวัตถุแห้งที่ร้อยละ 18.94, 20.34 และ 15.5 มีค่าวัตถุเยื่อไช ADF ที่ร้อยละ 20.86, 28.11 และ 24.11 ปริมาณเยื่อไช NDF ที่ร้อยละ 50.70, 53.43 และ 53.61 โดยมีค่าพิเศษของญี่ปุ่นหมักเท่ากับ 4.2, 4.3 และ 4.7 ตามลำดับ จากองค์ประกอบทางเคมีของญี่ปุ่นหมักพบว่า ญี่ปุ่นที่ปรับสภาพด้วยแบคทีเรีย *L. plantarum* 107 สามารถลดปริมาณเยื่อไช ADF และปริมาณเยื่อไช NDF ได้สูง

ผลการทดลอง BMP Test

จากการทดลองหาค่า BMP Test เพื่อหาอัตราส่วนของญี่ห้มักที่เหมาะสมต่อศักยภาพการผลิตก๊าซมีเทนที่อัตราส่วน 50:50, 60:40 และ 70:30 (v/v) พบว่า อัตราส่วนวัสดุหมักร่วมระหว่างน้ำเสียฟาร์มสุกรและญี่หานเป็นวัสดุหมักร่วมจะใช้อัตราส่วนที่ 70:30 (v/v) เป็นอัตราส่วนที่ให้ ศักยภาพการเกิดมีเทน (Biochemical Methane Potential) สูงสุด ซึ่งสามารถผลิตก๊าซมีเทนได้ถึง 3919.2 มิลลิลิตร และใช้ระยะเวลาในการย่อยสลายที่สั้น รองลงมาที่ 60:40 และ 50:50 ซึ่งผลิตก๊าซมีเทนได้ถึง 3665.9, 3569.1 มิลลิลิตร และที่ 50:50 60:40 และ 70:30 มีศักยภาพการย่อยสลายให้ก๊าซมีเทนได้ถึง 353.7, 349.1 และ 377.6 มิลลิลิตร $\text{CH}_4/\text{กรัม VS}_{\text{added}}$ ตามลำดับ จากการทดลองแสดงให้เห็นว่าการหมักร่วมระหว่างน้ำเสียจากสุกรและญี่หานหมักในอัตราส่วน 70:30 มีประสิทธิภาพในการผลิตก๊าซมีเทนสูงสุด และมีระยะเวลาในการหมักที่สั้นที่สุด

ทดสอบประสิทธิภาพการผลิตก๊าซมีเทนในระดับห้องปฏิบัติการ

จากการศึกษาประสิทธิภาพการผลิตก๊าซมีเทนระหว่างน้ำเสียจากฟาร์มสุกรร่วมกับญี่หานหมักในสภาวะแบบไร้ออกซิเจน โดยใช้อัตราส่วนที่ 70:30 ซึ่งศึกษาผลของระยะเวลาเก็บกักต่อประสิทธิภาพของชุดการทดลองแบบไร้ออกซิเจนระดับห้องปฏิบัติการโดยมีระยะเวลาเก็บกักที่ 15, 20 และ 25 วัน มีประสิทธิภาพในการกำจัดซีโอดีมิเท่ากับ ร้อยละ 45.5, 37.3 และ 34.2 ที่ระยะเวลาเก็บกัก 15, 20 และ 25 วัน ตามลำดับ และมีประสิทธิภาพในการกำจัดของแข็งระหว่างเท่ากับ ร้อยละ 47.3, 43.7 และ 43.4

เมื่อพิจารณาอัตราการผลิตก๊าซมีเทนที่เกิดขึ้นตลอดช่วงเวลาการทดลองที่ระยะเวลาเก็บกัก 15, 20 และ 25 วัน มีค่าเฉลี่ยที่ 3,852, 3,540 และ 3,466 มิลลิลิตร $\text{CH}_4/\text{กรัม VS}_{\text{added}}$ และมี 1,718, 1526 และ 1,481 มิลลิลิตร $\text{CH}_4/\text{กรัม COD}_{\text{added}}$ ตามลำดับ เมื่อทำการวิเคราะห์ข้อมูลทางสถิติ พบว่า เมื่อดำเนินระบบที่ระยะเวลาเก็บกักที่ 15, 20 และ 25 วัน มีค่าไม่แตกต่างกันอย่างมีนัยสำคัญ ($P>0.05$) จากผลการวิเคราะห์แสดงให้เห็นว่า เมื่อพิจารณาประสิทธิภาพในการกำจัดสารอินทรีย์ควรดำเนินระบบที่ระยะเวลาเก็บกักที่ 15 วัน ซึ่งเป็นค่าที่เหมาะสมต่อการดำเนินระบบโดยสามารถผลิตก๊าซได้สูงสุด

ข้อเสนอแนะ

1. ควรมีการพัฒนาระบบการเก็บก้าชมีเทนให้ง่าย และสะดวกต่อการนำไปใช้ประโยชน์ เพื่อนำก้าชมีเทนไปใช้เป็นเชื้อเพลิงในฟาร์มสุกรมากขึ้น
2. สามารถใช้เป็นแนวทางสำหรับการส่งเสริมการผลิตแก่เกษตรผู้เลี้ยงสุกร วัว สามารถนำไปประยุกต์ใช้ และสามารถผลิตก้าชชีวภาพจากของเสียจากฟาร์มในระดับครัวเรือน และระดับชุมชน
3. การนำหญ้าหมักมาใช้เป็นวัสดุหมักร่วมเพื่อสำรองไว้ในยามจำเป็น เนื่องจากอาจจะขาดแคลนวัตถุดิบจากแหล่งต่างๆ

บรรณานุกรม

กรมควบคุมมลพิษ. 2546. คู่มือการเลือกใช้และการนำร่องรักษาระบบบำบัดน้ำเสียฟาร์มสูกรตามแบบมาตรฐานกรมปศุสัตว์. กรุงเทพฯ: สำนักจัดการคุณภาพน้ำ กรมควบคุมมลพิษ: 33 น.
กรมปศุสัตว์. 2546. พืชอาหารสัตว์พันธุ์ดิ. กรุงเทพฯ: สำนักพัฒนาการปศุสัตว์และถ่ายทอดเทคโนโลยี กรมปศุสัตว์. 49 น.

กรมโรงงานอุตสาหกรรม. 2553. คู่มือการปฏิบัติงานเกี่ยวกับการออกแบบการผลิต การควบคุมคุณภาพ และการใช้ก๊าซชีวภาพ (Biogas) สำหรับโรงงานอุตสาหกรรม. กรุงเทพฯ: สำนักเทคโนโลยีและความปลอดภัย. 346 น.

จันทกานต์ อรุณนันท์. 2545. กระบวนการหมักพืชอาหารสัตว์และการปรุงแต่ง. ข่าวพืชอาหารสัตว์. 7(1): 11-19.

ทองเลียน บัวจุน. 2541. การคัดเลือกจุลินทรีย์ที่ผลิตเอนไซม์ย่อยสลายเพื่อใช้ปรับปรุงคุณภาพพืชอาหารสัตว์. กรุงเทพฯ: วิทยานิพนธ์ปริญญาโท. มหาวิทยาลัยเกษตรศาสตร์. 203 น.

ธงชัย พรรรณสวัสดิ์. 2544. การกำจัดในโตรเจนและฟ้อสฟอรัสทางชีวภาพ. กรุงเทพฯ: สมาคมวิศวกรรมสิ่งแวดล้อมแห่งประเทศไทย. 703 น.

บุญฤตา วีไลพล. 2532. พืชอาหารสัตว์เบตร้อนและการจัดการ. ขอนแก่น: มหาวิทยาลัยขอนแก่น. 127 น.

สถาบันวิจัยและพัฒนาแพลังงาน. 2552. โครงการศึกษาเพิ่มศักยภาพการผลิตก๊าซชีวภาพของน้ำเสียจากฟาร์มสูกรในรูปแบบการหมักย่อยร่วมโดยถังปฏิกรณ์ UASB และ CSTR เพื่อการใช้แพล็งงานอย่างมีประสิทธิภาพ. เชียงใหม่: มหาวิทยาลัยเชียงใหม่. 17 น.

สายัณห์ ทัศศรี. 2540. พืชอาหารสัตว์เบตร้อน การผลิตและการจัดการ. กรุงเทพฯ: รั้วเขียว : 375 น.

ธุรีลักษณ์ รอดทอง. 2554. การพัฒนาฐานแบบกล้าเชื้อหญ้าหมัก: นครราชสีมา: มหาวิทยาลัยเทคโนโลยีสุรนารี. 112 น.

อดิศร จันทรประภาเลิศ. 2549. การจัดการฟาร์มสูกร. กรุงเทพฯ: สำนักพัฒนาระบบและรับรองมาตรฐานสินค้าปศุสัตว์. ส่วนพัฒนาสิ่งแวดล้อมค้านปศุสัตว์. 97 น.

อวัศดา ฉลานวัฒน์. 2545. อิทธิพลของระยะเวลาเก็บกัก และอัตราป้อนสารอินทรีย์ต่อการผลิตก๊าซชีวภาพจากเศษอาหาร. กรุงเทพฯ: วิทยานิพนธ์ปริญญาโท. สถาบันเทคโนโลยีพระจอมเกล้าเจ้าคุณทหารลาดกระบัง. 112 น.

- Ahring K.B, M. Sandberg and I. Anglidak. 1995. Volatile Fatty Acids as Indicators of Process Imbalance in Anaerobic Digesters. **Applied Microbiology.** (43): 559-565.
- Akerberg, C. K. Hofvendahl, G. Zacchi and B. Hahn-Hagerdal. 1998. Modeling the influence of pH, temperature, glucose and lactic acid concentration on the kinetics of lactic acid production by *Lactococcus lactis* ssp. *lactis* ATCC 19435 in whole-wheat flour. **Applied Microbiology and Biotechnology,** 49(6): 682-690.
- Alexiou I.E. and Panter K. 2004. A review of two-phase application to define best practice for the treatment of various waste streams. pp.1178. In **Anaerobic Digestion Anaerobie. 10th World Congress.** Sept 2004. Montreal, Quebec, Canada: IWA Publishing Company.
- American Public Health Association (APHA).1998. **Standard Methods for the Examination of Water and Wastewater 20th Edition.** Baltimore, Maryland: United Book Press, Inc.335 p.
- Association of Official Analytical Chemists. (AOAC). 1990. Official methods of analysis. p. 1230.**Applied and Environmental Microbiology.** 55: 2095-2097.
- Beatriz, R., Ana B.M., Jose, M.D. and Juan C.P. 2004 Development of culture media containing spent yeast cells of Debaryomyces hansenii and corn steep liquor for lactic acid production with Lactobacillus rhamnosus. **Internation Journal of food Microbiology.** 8(10): 1894-1899.
- Benjamin, S.M.Jr., T.T. Admas and J.Phillip. 2001. Anaerobic co digestion of hog and poultry waste. **Bioresource Technology.** 76:165-168.
- Bolzonella D, P.Battistoni, J. Mata-Alvarez and F. Cechi. 2003. Anaerobic Digestion of Organic Solid Wastes : Process Behaviour in Transient Conditions. **Water Science and Technology.** 48(4):1-8.
- Bryant, M.P., 1991. Microbial Methane Production- Theoretical Aspects. **J.Animal Sci.** 48: 193-201.
- Burak, D. and S. Paul. 2009. Bio-methanization of energy crops through mono-digestion for continuous production of renewable biogas. **Renewable Energy** 34 :2940–2945.

- Bureenok, S., T. Namihira, M. Tamaki, S. Mizumachi, Y. Kawamoto and T. Nakada. 2005. Fermentative quality of guinea grass silage by using fermented juice of the epiphytic lactic acid bacteria (FJLB) as a silage additive. *Asian-Aust. J. Anim. Sci.* 18(6): 807-811.
- Bureenok, S., M. Tamaki, Y. Kawamoto and T. Nakada. 2007. Additive effects green tea on fermented juice of epiphytic lactic acid bacteria and the fermentative quality of Rhodesgrass silage. *Asian-Aust. J. Anim. Sci.* 20: 920-924.
- Cai, Y., S. Ohmomo and S. Kumai. 1994. Distribution and lactate fermentation characteristics of lactic acid bacteria on forage crops and grasses. *J. Japan Grassl. Sci.* 39: 420-428.
- Callaghan, F.J., D.A.J. Wase, K.Thayanithy, C.F. Foster. 2002. Continous co-digestion of cattle Slurry with fruit and vegetable waste and chicken manure. *Biomass and Bioenergy*, 27: 71-77.
- Catchpoole, V. R. and E. F. Henzell. 1971. Silage and silage-making from tropical herbage species. *Herb. Abst.* 41: 213-221.
- Chae, K.J., A. Jang, S.K. Yim and I. S. Kim. 2008. The effects of digestion temperature and temperatureshock on thebiogas yields from the mesophilic anaerobicdigestion of swine manure. *Bioresource Technology*. 99: 1-6.
- Chitchanoke Kongdang, Chaisri Suksaroj and Juntima Chungsiriporn. 2011. Biogas Production by Anaerobic Batch co-digestion of Pig Manure and Rubber Leaves. The 5thPSU-UNS International Conference on Engineering and Technology. Phuket: Merlin Beach Resort Hotel, Tritrang Beach.
- Diaz-Benjumea, F. J. and S. M. Cohen. 1995. Serrate signals through Notch to establish a Wingless-dependent organizer at the dorsal /ventral compartment boundary of the *Drosophila* wing. *Development* 121: 4215- 4225.
- Dechrugsa, S., K Duangporn, C. Sumate. 2013. Effects of inoculum to substrate ratio, substrate mix ratio and inoculum source on batch codigestion of grass and pig manure. *Bioresource Technology* 146(0): 101-108.

- Feng, C., S. Shimada, Z. Zhang and T. Maekawa. 2007. A pilot plant two-phase anaerobic digestion system for bioenergy recovery from swine wastes and garbage. **Waste Management** 28 (10): 1827-1834.
- Fischer, J.R., E.L. Iannotti and C.D. Fulhage 1983. Production on of methane gas from combinations of wheat straw and swine manure. **Transactions of the American Society of Agriculture Engineers**. 26(2): 546-548.
- Forster-Carneiro, T, M. Perez. and L.I. Romero. 2008. Thermophilic anaerobic digestion of sourcesorted organic fraction of municipal solid waste. **Bioresource Technology**. 99: 6763–6770.
- Garbutt, J. 1997. **Essentials of Food Microbiology**. 2nd ed. Arnold. London. England: CRC Press 288 p.
- Gelegenis, J., D. Georgakakis, I. Angelidaki, N. Christopoulou and M. Goumenaki. 2007. Optimization of biogas production from olive-oil mill wastewater, by codigesting with diluted poultry-manure. **Applied Energy** 84: 646-663.
- Habiba, L., H.Bouallgui and M. Hamdi. 2009. Improvement of activated sludge stabilisation and filterability during anaerobic digestion by fruit and vegetable waste addition. **Bioresource Technology**, 100(4): 1555–1560.
- Hayes, T.P. and T.L. Theis. 1978. The Distribution of Heavy Metals in Anaerobic Digestion. **J. Water Pollut. Control Fed.** 50: 307-313.
- Heinsoo, K., I. Melts, M. Sammul and B. Holm. 2010. The potential of Estonian semi-natural grasslands for bioenergy production. **Agriculture ecosystems and environment**. 137(1.): 86-92.
- Haigh, P.M. 1990. Effect of herbage water-soluble carbohydrate content and weather conditions at ensilage on the fermentation of grass silages made on commercial farms. **Grass Forage Sci.** 45:263-271.
- Laclos HF, B.Desbois and C. Saint-Joly. 1997. Anaerobic digestion of municipal solid organic waste: VALORGA Full-scale plant in Tilburg, the Netherlands. **Water Sci. Technol.**, 36 (6–7): 457–462.

- Lehtomaki, A., S. Huttunen and A.J. Rintala. 2006. Laboratory investigations on co-digestion of energy crops and crop residues with cow manure for methane production: Effect of crop to manure ratio. **Resour. Conserv. Recycl.** 51(3): 591–609.
- Li, Y. and N. Nishino. 2011. Monitoring the bacterial community of maize silage stored in a bunker silo inoculated with Enterococcus faecium, Lactobacillus plantarum and Lactobacillus buchneri. **Journal of Applied Microbiology.** 110: 1561-1570.
- Lindorfer, H., C.Perez Lopez, C. Resch, R. Braun and R. Kirchmayr. 2007. The impact of increasing energy crop addition on process performance and residual methane potential in anaerobic digestion. **Water Sci. Technol.** 56(10): 55–63.
- Lise, A., J. Baeyens, J. Degreve, and R. Dewil. 2008. Principles and potential of the anaerobic digestion of waste-activated sludge. **Progress in Energy and Combustion Science.** 34: 755-781.
- Kandler, O and N. Weiss. 1993. Regular, nonsporing gram-positive rods. pp. 1208-1223. In **Bergey's manual of systematic bacteriology.** Baltimore: Willians e Wilkins.
- Kaparaju, P. and R. Rintala. 2005. Anaerobic co-digestion of potato tuber and its industrial by-products with pig Resour. **Conserv. Recycl.** 43: 175–188.
- Kapetanios, E.G., M. Loizidou and G. Valkanas. 1993. Compost production from Greek domestic refuse. **Biores. Technol.** 44: 13 – 16.
- Kenneth N. T., McGinity, Terry J., Meer, Jan Roelof, de Lorenzo, Victor. 2010. **Handbook of hydrocarbon and lipid microbiology.** Germany: Helmholtz Centre for Infection Research. 91 p.
- Kim M, S.M. Youn, S.H. Shin, J.G. Jang, S.H. Han, M.S. Hyun, G.M. Gadd and H.J. Kim, 2003. Practical field application of a novel BOD monitoring system. **J. Environ. Monit.** 5: 640–643.
- Kimaryo, V.M., G.A. Massawe, N.A., Olasupo and W.H. Holzapfel. 2000. The use of starter culture in the fermentation of cassava for the production of “Kinvunde” a traditional Tanzanian food product. **Int J. Food Microbiol.** 56: 179-190.

- Korenaga, T., Takahashi, T., Moriwake, T., Sanuki, S., 1990. Water quality monitoring system using flow-through sensing device. pp. 781. In Briggs, R. (Ed.), **Instrumentation, Control and Automation of Water and Waste Water Treatment and Transport Systems. Advances in Water Pollution Control.** London. Pergamon Press.
- Marques, S., J.A.L. Santons, F.M. Girio and J.C. Roseiro. 2008. Lactic acid production from recycled paper sludge by simultaneous saccharification and fermentation. **J. Biochem. Eng.** 41: 210-216.
- Mc Donald, P., A.R. Henderson and S.J.E. Heron. 1991. **The Biochemistry of silage.** 2nd ed. Marlow, England: Chalambe Publications: 340 p.
- Mc Carty, P. 1991. Anaerobic waste Treatment fundamentals. **Pubic Works.** 9(10): 107-112 P.
- Metcalf and Eddy. 2003. Inc. Wastewater Engineering: Treatment and Reuse. 4th Edition. New York: McGrawHill, Inc. 1819 p.
- Muck, R. E. 1991. **Silage fermentation in Mixed Cultures in Biotechnology.** New York: McGraw Hill. 438 p.
- Muhammad, I. R., M. Baba, A. Mustapha, M.Y. Ahmad and L.S. Abdurrahman. 2008. Use of Legume in the Improvement of Silage Quality of Columbus Grass (Sorghum alnum Parody). **Res. J. Anim. Sci.** 2: 109-112.
- Neureiter M., Teixeira P.D.S.J., Lopez C.P., Pichler H., Kirchmayr R., Braun R., 2005. Effects of silage preparation on methane yields from whole crop maize silages. pp. 267-271 In Ahring B.K. and Hartmann H. (ed.). Proc Of the 4th Int. Symp. on Anaerobic Digestion of Solid Waste, August–September 2005, Copenhagen, Denmark: Taylor and Francis Grop.
- Nizami, A.-S., A. Orozco, E. Groom, B. Dieterich and J.D. Murphy. 2012. How much gas can we get from grass. **Applied Energy** 92: 783–790.
- Ohmomo, S., O. Tanaka, H.K. Kitamoto and Y. Cai. 2002. Silage and microbial performance, old story but new problems. **Jpn. Agric. Res.** Q. 36: 59-71.
- Osman N.A., D.T. Sponza. 2005. Anaerobic/aerobic treatment of municipal landfill leachate in sequential two-stage up-flow anaerobic sludge blanket reactor (UASB)/completely stirred tank reactor (CSTR) systems. **Process Biochemistry** 40: 895–902.

- Owens, D., M. Mcgee, T. Boland and P.O. Kiely. 2009. Rumen fermentation, microbial protein synthesis, and nutrient flow to the omasum in cattle offle offered corn silage, grass silage, or whole-crop wheat. *J.Anim. Sci.* 87: 658-668.
- Panesar, P.S., R. Panesar, R.S. Singh and M.B. Bera, 2007. Permeabilization of yeast cells with organic solvents for β -galactosidase activity. *Res. J. Microbiol.*, 2: 34-41.
- Parvin, S. and N. Nishino. 2009. Bacterial community associated with ensilage process of wilted guinea grass. *Journal of Applied Microbiology*. 107: 2029-2036.
- _____. 2010. Succession of lactic acid bacteria in wilted rhodesgrass silage assessed by plate culture and denaturing gradient gel electrophoresis. *Grassland Science*. 56: 51-55.
- Prasad, K. and R. Jukka. 2005. Anaerobic co-digestion of potato tuber and its industrial product with pig manure. *Resources, Conservation and Recycling*. 43: 175-188.
- Prochazka, J., P., Dolejs. J., Maca. M., Dohanyos. 2012. Stability and inhibition of anaerobic processes caused by insufficiency or excess of ammonia nitrogen. *Appl. Microbiol. Biotechnol.* 93: 439–447.
- Saarilalo, E., E. Skytta, A. Haikara, T. Jalava and S. Jaakkola. 2007. Screening and Selection of lactic acid bacteria strains suitable for ensiling grass. *J. Appl Microbial.* 102(2): 327-336.
- Sanni, I., M. Asiedu and G.S. Ayernor. 2002. Microflora and chemical composition of Momoni, a Ghanaian ffermentation fish condiment. *Journal of food composition and Analysis* 15: 577-583.
- Shao, H.J., J.T. Feng, J. Han, G.Z. Li, X. Zhang. 2003. Primary study on antifungal activity of 32 plant extracts. *Journal of Northwest Sci-Tech University of Agriculture and Forestry*. 31(6) : 59-62.
- Siedlecka E.M., J. Kumirska, T. Ossowski, P. Glamowski, M. Golebiowski, J. Gajdus, Z. Kaczynski and P. Stepnowski. 2008. Determination of Volatile Fatty Acids in Environmental Aqueous Samples. *Polish J. of Environ. Stud.* 17(3): 351-356.
- Sosnowski, P., A. Wieczorek and S. Ledakowicz. 2003. Anaerobic co-digestion of sewage sludge and organic fraction of municipal solid wastes. *Advances in Environmental Research*. 7:3. 609-616.

- Teodorita, A. S.2008. **Biogas Handbook.** Esbjerg: University of Southern Denmark Esbjerg.
- Thygesen O., J. M. Triolo and S.G. Sommer. 2012. Indicators of Physical Properties and Plant Nutrient Content of Animal Slurry and Separated Slurry. **Biological Engineering Transactions.** 5(3): 123-135.
- Triolo, J. M., Pedersen, L., Qu, H., and S. G. Sommer. 2012. Biochemical methane potential and anaerobic biodegradability of non-herbaceous and herbaceous phytomass in biogas production. **Bioresource Technology,** 125: 226-232.
- Weinberg, Z.G. and R.E. Muck. 1996. New trends and opportunities in the development and use of inoculants for silage. **FEMS Microbiol. Rev.** 19: 53-68.
- Yahaya, M. S., M. Goto, W. Yimiti, B. Smerjai and Y. Kawamoto. 2004. Additives effects of fermented juice of epiphytic lactic acid bacteria and acetic acid on silo fermentation and luminal degradability of tropical elephant grass. **J. Anim.** 3: 115-121.
- Yenigun, O. and Demirel, B., 2013. Ammonia inhibition in anaerobic digestion: a review. **Process Biochem.** 48: 901–911.
- Yomoto, I. and I. Kpji. 1995. Direct fermentation of starch to L (+) lactic acid using *Lactobacillus amylophilus*. **Biotechnol Lett** 17(5): 543-546.
- Yu, H.Q. and H.H.P. Fang. 2002. Acidogenesis of dairy wastewater at various pH levels. **Water Science and Technology** 45: 201–206.
- Xie, S., P.G. Lawlor, P.G. Frost, Z. Hu and X. Zhan. 2011. Effect of pig manure to grass silage ratio on methane production in batch anaerobic co-digestion of concentrated pig manure and grass silage. **J. Bioresource Technology.** 102: 5728-5733.





ตารางพนวก 1 ผลการทดสอบลักษณะของเบคทีเรียกรดแอลกอติกที่แยกได้จากเหลืองต่างๆ

แหล่งที่มา	รหัสไอโซเลท	รูปร่าง	การติดสีแกรม		การทดสอบ ตะตะเลส
			การติดสีแกรม	การทดสอบ	
กระหลาดอง (MRS)	LkF1	กลม	+	-	
	LkF102	ท่อน	+	-	
	LkF103	ท่อน	+	+	
	LkF104	ท่อน	+	+	
	LkF105	กลม	+	+	
	LkF106	ท่อน	+	+	
	LkF107	ท่อน	+	+	
	LkF108	ท่อน	+	+	
	LkF109	ท่อน	+	+	
	LkF110	กลม	+	-	
	LKF111	ท่อน	+	-	
	LkF112	ท่อน	+	+	
ผักกาดอง (MRS)	LkF2	กลม	+	+	
	Lkf201	ท่อน	+	+	
	Lkf202	ท่อน	+	+	
	Lkf203	ท่อน	+	+	
	Lkf204	ท่อน	+	-	
	Lkf205	ท่อน	+	+	
	LKF206	ท่อน	+	+	
	LKF207	ท่อน	+	+	
	LKF208	กลม	+	+	
	Lkf209	ท่อน	+	-	
	Lkf210	ท่อน	+	-	
	Lkf211	ท่อน	+	+	
	Lkf212	ท่อน	+	+	
	Lkf213	ท่อน	+	+	
	Lkf214	ท่อน	+	+	
	Lkf215	ท่อน	+	+	
	Lkf216	กลม	+	-	

ตารางพนวก 1 (ต่อ)

แหล่งที่มา	รหัสไอโซเลท	รูปร่าง	การติดสีแกรม		การทดสอบ คงคลeness
			การติดสี	การติดสีแกรม	
เมียจ (MRS)	LkF217	ท่อน	+	-	
	LKF3	ท่อน	+	-	
	LKF302	ท่อน	+	-	
	LKF303	กลม	+	+	
	LKF304	ท่อน	+	+	
	LKF305	ท่อน	+	+	
	LKF306	กลม	+	+	
	LKF307	ท่อน	+	+	
	LKF308	ท่อน	+	+	
	LKF309	ท่อน	+	+	
	LKF310	ท่อน	+	-	
	LKF4	ท่อน	+	+	
	LKF402	ท่อน	+	-	
	LKF403	กลม	+	-	
	LKF404	ท่อน	+	+	
ผักเสี้ยนคง (MRS)	LKF405	ท่อน	+	+	
	LKF406	ท่อน	+	+	
	LKF407	ท่อน	+	+	
	LKF408	ท่อน	+	+	
	LKF409	ท่อน	+	+	
	LKF410	ท่อน	+	-	
	LKF411	กลม	+	-	
	LCF1	ท่อน	+	-	
	LCF102	ท่อน	+	+	
	LCF103	ท่อน	+	+	
(MRS)	LCF104	กลม	+	+	
	LCF105	กลม	+	-	
	LCF106	ท่อน	+	+	
	LCF107	ท่อน	+	+	

ตารางพนวก 1 (ต่อ)

แหล่งที่มา	รหัสไอโซเลท	รูปร่าง	การติดสีแกรม		การทดสอบ คงคลาดเสื่อม
			การติดสีแกรม	การทดสอบ คงคลาดเสื่อม	
ข้าวโพดหมัก (MRS)	LCF108	ท่อน	+	+	-
	LCF109	ท่อน	+	+	-
	LCF110	ท่อน	+	+	-
	LCF111	ท่อน	+	+	-
หญ้าเนเปิร์ลหมัก (MRS)	LGF102	ท่อน	+	-	-
	LGF103	กลม	+	+	-
	LGF104	ท่อน	+	+	-
	LGF105	ท่อน	+	+	-
	LGF106	ท่อน	+	+	-
	LGF107	ท่อน	+	+	-
	LGF108	ท่อน	+	-	-
	LGF110	กลม	+	-	-
	LGF112	ท่อน	+	+	-
	LGF113	ท่อน	+	+	-
	LGF114	ท่อน	+	+	-
	LGF115	ท่อน	+	-	-
	LGF203	ท่อน	+	+	-
	LGF204	ท่อน	+	+	-
กะหลั่ดอง (M17)	LGF205	ท่อน	+	-	-
	LGF206	ท่อน	+	-	-
	LGF207	กลม	+	+	-
	Lk1	ท่อน	+	-	-
	Lk102	ท่อน	+	+	-
	Lk103	กลม	+	+	-
	Lk104	ท่อน	+	-	-
	Lk105	ท่อน	+	+	-
	Lk106	ท่อน	+	+	-
	Lk107	ท่อน	+	+	-
	Lk108	ท่อน	+	+	-

ตารางผนวก 1 (ต่อ)

แหล่งที่มา	รหัสไอโซแลท	รูปร่าง	การติดสีแกรม		การทดสอบ คงตัวเดส
			การติดสีแกรม	การทดสอบ คงตัวเดส	
	Lk109	ท่อน	+	+	
	Lk110	กลม	+	-	
	Lk2	ท่อน	+	-	
	Lk202	ท่อน	+	+	
	Lk203	กลม	+	+	
	Lk204	ท่อน	+	+	
	Lk205	ท่อน	+	-	
	Lk206	ท่อน	+	+	
	Lk207	ท่อน	+	+	
	Lk208	ท่อน	+	+	
	Lk209	ท่อน	+	+	
	Lk210	ท่อน	+	+	
	Lk211	ท่อน	+	+	
	Lk212	ท่อน	+	+	
เมือง (M17)	Lk3	ท่อน	+	-	
	Lk301	กลม	+	+	
	Lk302	ท่อน	+	+	
	Lk303	ท่อน	+	+	
	Lk304	ท่อน	+	+	
	Lk305	ท่อน	+	-	
	Lk306	ท่อน	+	-	
	Lk307	ท่อน	+	+	
ผ้าเสื่อนรอง (M17)	Lk4	ท่อน	+	+	
	Lk401	ท่อน	+	+	
	Lk402	ท่อน	+	+	
	Lk403	กลม	+	-	
	Lk404	ท่อน	+	-	
	Lk405	ท่อน	+	+	
	Lk406	ท่อน	+	+	
	Lk407	ท่อน	+	+	

ตารางผนวก 1 (ต่อ)

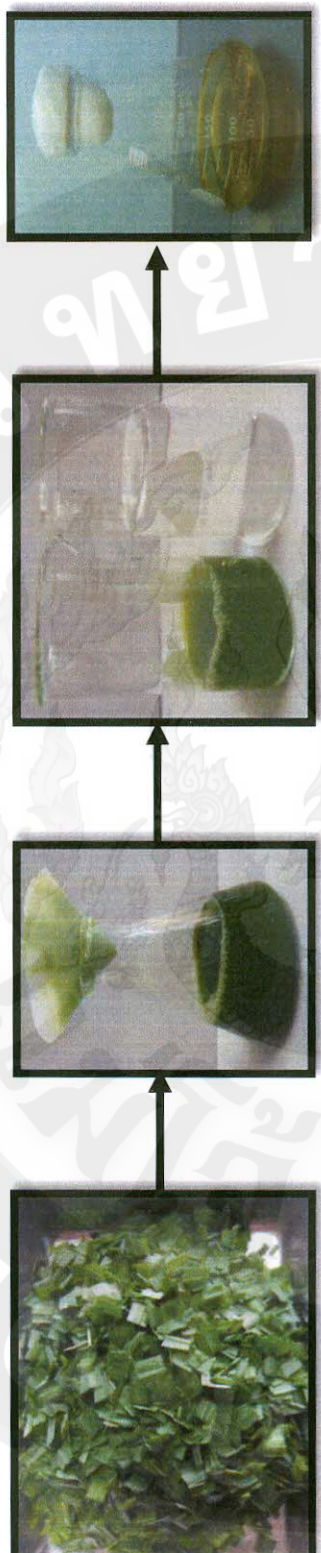
แหล่งที่มา	รหัสไอโซเลท	รูปร่าง	การติดสีแกรม		ผลทดสอบ
			การติดสีแกรม	การทดสอบ	
ข้าวโพดหมัก (M17)	Lk408	ท่อน	+	+	
	LC1	ท่อน	+	+	
	LC102	ท่อน	+	+	
	LC103	ท่อน	+	-	
	LC104	กลม	+	-	
	LC105	ท่อน	+	+	
หญ้าเนเปียร์หมัก (M17)	LC106	ท่อน	+	+	
	LG1	ท่อน	+	+	
	LG102	ท่อน	+	-	
	LG103	ท่อน	+	+	
	LG104	กลม	+	+	
	LG105	ท่อน	+	+	
	LG106	ท่อน	+	-	
	LG201	ท่อน	+	-	
	LG202	ท่อน	+	+	
	LG203	ท่อน	+	+	
	LG204	ท่อน	+	+	
	LG205	กลม	+	-	
	LG206	ท่อน	+	-	
	LG207	ท่อน	+	+	

MAE
JOURNAL
OF
SCIENCE
AND
TECHNOLOGY

การประยุกต์
การเตรียมอาหารสัตว์

ภาควิชานิเทศน์อาหารสัตว์
คณะวิทยาศาสตร์และเทคโนโลยี

หญ้ากินน้ำและหัวขันสด ตัดให้เหลือขนาด 0.5-1 เซนติเมตร นำไปหั่นเฉือน
กรองจนน้ำหยุดดูดความชื้นจากหัวขัน ผสมกับ ($\text{NaCl} 0.85\% + \text{Glucose} 1\%$)
ในอัตราส่วน 1:2 ปรุงมาตรฐาน 100 มิลลิลิตร





CCGAAAGAAAAAGAGTGGCGAACGGGTGACTAACACGTGGTAACCTGCCCATCAGAAGGGATAACACTTGGAA
 ACAGGTGCTAATACCGTATAACACTATTTCGCATGGAAGAAAGTTGAAAGGCCTTTCGCTACTGATGGATG
 GACCCGCGGTGCATTAGCTAGTTGGTAGGTAACGGCTACCAAGGCCACGATGCATAGCCGACCTGAGAGGGTGA
 TCGGCCACACTGGGACTGAGACACGGCCCAGACTCCTACGGGAGGCACGAGTAGGAAATCTCGGCAATGGACGA
 AAGTCTGACCGAGCAACGCCGCGTAGTGAAAGAGTTTCGGATCGTAAACAGAAAGCCACGGCTAACTACGTGCCAGCAGCCGGTA
 ATACGTAGGTGGCAAGCGTTGTCGGATTATTGGCGTAAAGCGAGCGCAGGCGTTCTTAAGTCTGATGTGAA
 AGCCCCCGGCTAACCGGGGAGGGTATTGGAAACTGGGAGACTTGAGTGCAAGAGGAGAGTGAATTCCATG
 TGTAGCGGTGAAATGCGTAGATATGGAGGAACACCAGTGGCGAAGGCCGCTCTGGTCTGTAACTGACGCTGA
 GGCTCGAAAGCGTGGGGAGCGAACAGGATTAGATAACCGTGTAGTCCACGCCGAAACGATGAGTGCTAAGTGTG
 GAGGGTTCCGCCCTCAGTGCAGCAAACCGATTAAGCACTCCGCCGGGAGTACGACCGCAAGGTTGAAAC
 TCAAAGG

ภาพพนวก 2 ลำดับเบสของดีเอ็นเอขนาดประมาณ 840 คู่เบส ในส่วนของยีน 16 s rRNA

ของแบคทีเรียไอโซเลต LGF 106

Enterococcus gallinarum strain RTCS11 16S ribosomal RNA gene, partial sequence
 Sequence ID: gb|KM654555.1| Length: 1321 Number of Matches: 1
 Range 1: 39 to 878

Score	Expect	identities	Gaps	Strand	Frame
1552 bits(840)	0.0()	840/840(100%)	0/840(0%)	Plus/Plus	
Features:					
Query 1	CCGAAAGAAAAAGAGTGGCGAACGGGTGACTAACACGTGGTAACCTGCCCATCAGAAGG				60
Sbjct 39	CCGAAAGAAAAAGAGTGGCGAACGGGTGACTAACACGTGGTAACCTGCCCATCAGAAGG				98
Query 61	GGATAAACACTTGGAAACAGGTGCTAATACCGTATAACACTATTTCGCATGGAAGAAAG				120
Sbjct 99	GGATAAACACTTGGAAACAGGTGCTAATACCGTATAACACTATTTCGCATGGAAGAAAG				158
Query 121	TTGAAAGGCCTTTGGCTCACTGATGGATGGACCCGGTGCATTAGCTAGTTGGTAG				180
Sbjct 159	TTGAAAGGCCTTTGGCTCACTGATGGATGGACCCGGTGCATTAGCTAGTTGGTAG				218
Query 181	GTAACGGCTACCAAGGCCACGATGCAATGCCGACCTGAGAGGGTAGTCGGCACACTGG				240
Sbjct 219	GTAACGGCTACCAAGGCCACGATGCAATGCCGACCTGAGAGGGTAGTCGGCACACTGG				278
Query 241	GACTGAGACACGGCCACGACTCTACGGGAGGCAGCAGTAGGGATCTCGGCAATGGAC				300
Sbjct 279	GACTGAGACACGGCCACGACTCTACGGGAGGCAGCAGTAGGGATCTCGGCAATGGAC				338
Query 301	GAAAGTCTGACCGAGCAACGCCGCGTAGCTGAGGAAGGTTCCGATCGTAAACACTCTGT				360
Sbjct 339	GAAAGTCTGACCGAGCAACGCCGCGTAGCTGAGGAAGGTTCCGATCGTAAACACTCTGT				398
Query 361	TGTTAGAGAAGAACAGGATGAGAGTAGAACGTTCATCCTTGACGGTATCTAACAGAA				420
Sbjct 399	TGTTAGAGAAGAACAGGATGAGAGTAGAACGTTCATCCTTGACGGTATCTAACAGAA				458
Query 421	AGCCACGGCTAACTACGTGCCACGCCGCGTAATACGTAGGGCAAGCGTTGCCGG				480
Sbjct 459	AGCCACGGCTAACTACGTGCCACGCCGCGTAATACGTAGGGCAAGCGTTGCCGG				518
Query 481	ATTTATTGGCGTAAAGCGAGCGCAGCGGTTCTTAAGTCTGATGTGAAAGCCCCCGC				540
Sbjct 519	ATTTATTGGCGTAAAGCGAGCGCAGCGGTTCTTAAGTCTGATGTGAAAGCCCCCGC				578
Query 541	TCAACCGGGGAGGGTCATTGGAAACTGGGAGACTTGGTAGTGCAGAAGAGGAGGTGAAATT				600
Sbjct 579	TCAACCGGGGAGGGTCATTGGAAACTGGGAGACTTGGTAGTGCAGAAGAGGAGGTGAAATT				638
Query 601	CCATGTGTAGCGGTGAAATCGTAGATATATGGAGGAACACCAGTGGCGAAGGCCGCTCT				660
Sbjct 639	CCATGTGTAGCGGTGAAATCGTAGATATATGGAGGAACACCAGTGGCGAAGGCCGCTCT				698
Query 661	CTGGTCGTAACTGACGCTGAGGCTCGAAAGCGTGGGAGCGAACAGGATTAGATACCT				720
Sbjct 699	CTGGTCGTAACTGACGCTGAGGCTCGAAAGCGTGGGAGCGAACAGGATTAGATACCT				758
Query 721	GCTAGTCCACGCCGTAACCGATGAGTCGTTGGAGGGTTCCGCCCTTCAGTGT				780
Sbjct 759	GCTAGTCCACGCCGTAACCGATGAGTCGTTGGAGGGTTCCGCCCTTCAGTGT				818
Query 781	GCAGCAAACGCTTAAAGCACTCCGCCCTGGGAGTAGCACCCAAGGTTGAAACTCAAAGG				840
Sbjct 819	GCAGCAAACGCTTAAAGCACTCCGCCCTGGGAGTAGCACCCAAGGTTGAAACTCAAAGG				878

ภาพพนวก 3 ชื่อของแบคทีเรียที่มีลำดับเบสคล้ายแบคทีเรียไอโซเลต LGF 106

GCATCATGATTACATTGAGTGAGTGGCGAAGCTGGAGTAACACGTGGAAACCTGCCAGAACGGGGATAA
 CACCTGGAAACAGATGCTAATACCGATAACAACCTGGACCGCATGGTCGAGTTGAAAGATGGCTCGCTATC
 ACTTTGGATGGTCCC CGCGTATTAGCTAGATGGGGTAACGGCTACCATGGAATGATACTAGCCGACC
 TGAGAGGGTAATCGGCCACATTGGACTGAGACACGGCCAAACTCTACGGGAGGCAGCAGTAGGAAATCTTCC
 ACAATGGACGAAAGTCTGATGGAGCAACGCCCGTGAAGAAGAAGGGTTGGCTCGTAAAACCTCTGTTAAA
 GAAGAACATATCTGAGAGTAACCTGAGTATTGACGGTATTIAACCAGAAAGGCCACGGCTAACTACGTGCCAGC
 AGCCCGGTAAACGTAGGTGGCAAGCCTGTCGGATTATTGGCGTAAAGCGAGCGCAGGCCGTTTTAAGT
 CTGATGTGAAAGCCTCGCTCAACCGAAGAAGTCATCGGAAACTGGAAACTTGAGTGCAGAAGAGGACAGT
 GAACTCCATGTGTAGCGGTAAATCGTAGATATATGGAAGAACACCAGTGGCGAAGGCCGCTGCTGGTCTGAA
 CTGACGCTGAGGCTCGAAAGTATGGTAGCAAACAGGATTAGATAACCTGGTAGTCATACCGTAAACGATGAATG
 CTAAGTGTGGAGGGTTCCGCCCTCAGTGCAGCTAACGCTTAAGCATTCCGCTGGGAGTACGCCGCA
 AGGCTG

ภาพพนวก 4 ลำดับเบสของดีเอ็นเอขนาดประมาณ 840 กูบส ในส่วนของยีน 16 s rRNA

ของแบคทีเรียไซเดต LGF 2

Lactobacillus plantarum strain B21, complete genome
 Sequence ID: gb|CP010528.1| Length: 3284260 Number of Matches: 5
 Range 1: 501615 to 502454

Score	Expect	Identities	Gaps	Strand	Frame
1552 bits(840)	0.0()	840/840(100%)	0/840(0%)	Plus/Plus	
Features:					
Query 1		GCATCATGATTACATTGAGTGAGTGGCGAAGCTGGAGTAACACGTGGAAACCTGCC			60
Sbjct 501615		GCATCATGATTACATTGAGTGAGTGGCGAAGCTGGAGTAACACGTGGAAACCTGCC			501674
Query 61		CAGAACGGGGATAAACACCTGGAAACAGATGCTAACACCGATAACAACCTGGACCGCA			120
Sbjct 501675		CAGAACGGGGATAAACACCTGGAAACAGATGCTAACACCGATAACAACCTGGACCGCA			501734
Query 121		TGGTCCGAGTTGAAAGATGGCTCGGTATCACTTTGGATGGTCCCGCGCGTATTAG			180
Sbjct 501735		TGGTCCGAGTTGAAAGATGGCTCGGTATCACTTTGGATGGTCCCGCGCGTATTAG			501794
Query 181		CTAGATGGTGGGTAACGGCTCACCATGGCAATGATACGTAGCCGACCTGAGAGGGTAAT			240
Sbjct 501795		CTAGATGGTGGGTAACGGCTCACCATGGCAATGATACGTAGCCGACCTGAGAGGGTAAT			501854
Query 241		CGGCCACATTGGACTGAGACACGGCCAACACTCTACGGGAGGCAGCAGTAGGGAAATCT			300
Sbjct 501855		CGGCCACATTGGACTGAGACACGGCCAACACTCTACGGGAGGCAGCAGTAGGGAAATCT			501914
Query 301		TCCACAAATGGACGAAAGTCTGATGGAGCACGGCCCGTGAAGTGAAGAAGGGTTTCGGCTC			360
Sbjct 501915		TCCACAAATGGACGAAAGTCTGATGGAGCACGGCCCGTGAAGTGAAGAAGGGTTTCGGCTC			501974
Query 361		GTAAAACCTGTTGTTAAAGAAGAACATATCTGAGAGTACTGTTAGGTATTGACGGTA			420
Sbjct 501975		GTAAAACCTGTTGTTAAAGAAGAACATATCTGAGAGTACTGTTAGGTATTGACGGTA			502034
Query 421		TTAACCGAAAGCCACGGCTAACACTACGTGCCAGCAGCCCGTAATACGTAGGTGGCAA			480
Sbjct 502035		TTAACCGAAAGCCACGGCTAACACTACGTGCCAGCAGCCCGTAATACGTAGGTGGCAA			502094
Query 481		GGGTTGTCGGATTATTGGCGTAAGCGAGCGCAGGGGTTTTAAAGTCTGATGTGA			540
Sbjct 502095		GGGTTGTCGGATTATTGGCGTAAGCGAGCGCAGGGGTTTTAAAGTCTGATGTGA			502154
Query 541		AAGCCCTCGGCTAACCGAAAGAACGCTAACCTGGAAACTTGAGTGCAGAACAGGG			600
Sbjct 502155		AAGCCCTCGGCTAACCGAAAGAACGCTAACCTGGAAACTTGAGTGCAGAACAGGG			502214
Query 601		ACAGTGGAACTCCATGTTAGCGGTGAAATCGTAGATATATGGAAGAACACCAAGTGGCG			660
Sbjct 502215		ACAGTGGAACTCCATGTTAGCGGTGAAATCGTAGATATATGGAAGAACACCAAGTGGCG			502274
Query 661		AAGGCGGCTGTCCTGGCTGTAACCTGACGCTGAGGCTCGAAAGTATGGTAGCAAACAGGA			720
Sbjct 502275		AAGGCGGCTGTCCTGGCTGTAACCTGACGCTGAGGCTCGAAAGTATGGTAGCAAACAGGA			502334
Query 721		TTAGATACCCCTGGTAGTCCATACCGTAAACCGATGAAATGCTAAGTGTGGAGGGTTCCGC			780
Sbjct 502335		TTAGATACCCCTGGTAGTCCATACCGTAAACCGATGAAATGCTAAGTGTGGAGGGTTCCGC			502394
Query 781		CCTTCAGTGCAGCTAACCTAACGCTTAAGCATTCCGCTGGGACTACGGCCGCAAGGCTG			840
Sbjct 502395		CCTTCAGTGCAGCTAACGCTTAAGCATTCCGCTGGGACTACGGCCGCAAGGCTG			502454

ภาพพนวก 5 ชื่อของแบคทีเรียที่มีลำดับเบสคล้ายแบคทีเรียไซเดต LGF 2

CACCGAAAGAAAAAGACTGGCGAACGGGTGAGTAACACGTGGTAACCTGCCATCAGAAGGGATAACACTTGG
 AACAGGTGCTAATACCGTATAACACTATTTCCGATGGAAGAAAGTGAAAGGCCTTTCGCTACTGATGGA
 TGGACCCGCGGTGCATTAGCTAGTGGTAGGTAACGGCTACCAAGGCCACGATGCATAGCCGACCTGAGAGGGT
 GATCGGCCACACTGGACTGAGACACGGCCAGACTCCTACGGGAGGCAGCAGTAGGAAATCTCGGAATGGAC
 GAAAGTCTGACCGAGCAACGCCGTGAGTGAGAAGGTTTCGATCGTAAACAGGAAAGCCACGGCTACTACGTGCCAGCAGCCGCG
 GGATGAGAGTAGAACGTTACCCCTGACGGTACCGTAAACAGGAAAGCCACGGCTACTACGTGCCAGCAGCCGCG
 TAATACGTAGGTGGCAAGCGTTGCGGATTATTGGCGTAAAGCGAGCGCAGGCGTTCTTAAGTCTGATGTG
 AAAGCCCCCGCTCAACCGGGAGGGTCAATTGAAACTGGAGACTTGAGTGAGAAGAGGAGGTGAATTCCA
 TGTGTAGCGGTGAAATCGTAGATATGGAGGAACACCAGTGGCGAAGGCGCTCTGGTCTGTAACGTGACTGACGCT
 GAGGCTGAAAGCGTGGGAGCGAACAGGATTAGATACCCGGTAGTCCACGCCGAAACGATGAGTGCTAAGTG
 TTGGAGGGTTCCGCCCTCAGTGCTGCAGCAAACGCATTAAGCACTCCGCTGGGAGTACGACCGCAAGGTTGA
 AACTCAAA

ภาพพนวก 6 ลำดับเบสของดีเอ็นเอขนาดประมาณ 840 คู่เบส ในส่วนของยีน 16 s rRNA

ของแบคทีเรียไอโซเลต LGF 101

Enterococcus gallinarum strain RTCS11 16S ribosomal RNA gene, partial sequence
 Sequence ID: gb[KM654555.1] Length: 1321 Number of Matches: 1
 Range 1: 37 to 876

Score	Expect	Identities	Gaps	Strand	Frame
1552 bits(840)	0.0()	840/840(100%)	0/840(0%)	Plus/Plus	
Features:					
Query 1	CACCGAAAGAAAAAGACTGGCGAACGGGTGAGTAACACGTGGTAACCTGCCATCAGAA				60
Sbjct 37	CACCGAAAGAAAAAGACTGGCGAACGGGTGAGTAACACGTGGTAACCTGCCATCAGAA				96
Query 61	GGGGATAACACTTGGAAACAGGTGCTAATACCGTATAACACTATTTCCGATGGAAGAA				120
Sbjct 97	GGGGATAACACTTGGAAACAGGTGCTAATACCGTATAACACTATTTCCGATGGAAGAA				156
Query 121	AGTTGAAAGGGCTTTGCGTCACTGATGGATGGACCCGGTGCATTAGCTAGTTGGTG				180
Sbjct 157	AGTTGAAAGGCCTTTGCGTCACTGATGGATGGACCCGGTGCATTAGCTAGTTGGTG				216
Query 181	AGGTAAACGGCTCACCAAGGCCACGATGCATAGCCGACCTGAGAGGGTATGCCACACT				240
Sbjct 217	AGGTAAACGGCTCACCAAGGCCACGATGCATAGCCGACCTGAGAGGGTATGCCACACT				276
Query 241	GGGACTGAGACACGGCCCAGACTCCTACGGGAGGCAGCAGTAGGAAATCTCGGCAATGG				300
Sbjct 277	GGGACTGAGACACGGCCCAGACTCCTACGGGAGGCAGCAGTAGGAAATCTCGGCAATGG				336
Query 301	ACGAAACTCTGACCGAGCAACGCCGTGACTGAAAGAAGGTTTCGATCGTAAACACTCT				360
Sbjct 337	ACGAAACTCTGACCGAGCAACGCCGTGACTGAAAGAAGGTTTCGATCGTAAACACTCT				396
Query 361	GTTGTTAGAGAAGAACAAAGGATGAGAGTAGAACGTTCATCCCTGACGGTATCTAACCAAG				420
Sbjct 397	GTTGTTAGAGAAGAACAAAGGATGAGAGTAGAACGTTCATCCCTGACGGTATCTAACCAAG				456
Query 421	AAAGCCACGGCTAAACTACGTGCGAGCAGCCGGTAATACGTAGGTGCAAGCGTTGTCC				480
Sbjct 457	AAAGCCACGGCTAAACTACGTGCGAGCAGCCGGTAATACGTAGGTGCAAGCGTTGTCC				516
Query 481	GGATTTATTGGCGTAAACCGAGCGCAGCGGTTCTTAAGTCTGATGTGAAAGCCCCCG				540
Sbjct 517	GGATTTATTGGCGTAAACCGAGCGCAGCGGTTCTTAAGTCTGATGTGAAAGCCCCCG				576
Query 541	GCTCAACCGGGAGGGTCAATTGAAACTGGAGACTTGAGTGCAGAAAGGGAGACTGGAA				600
Sbjct 577	GCTCAACCGGGAGGGTCAATTGAAACTGGAGACTTGAGTGCAGAAAGGGAGACTGGAA				636
Query 601	TTCCATGTGAGCGGTGAAATGCGTAGATATATGGAGAACACCGAGTGGCGAAGGGCGCT				660
Sbjct 637	TTCCATGTGAGCGGTGAAATGCGTAGATATATGGAGAACACCGAGTGGCGAAGGGCGCT				696
Query 661	CTCTGGTCTGTAACGTGCGCTGAGGCTGAAAGCGTGGGAGCGAACAGGATTAGATACC				720
Sbjct 697	CTCTGGTCTGTAACGTGCGCTGAGGCTGAAAGCGTGGGAGCGAACAGGATTAGATACC				756
Query 721	CTGGTAGTCCACGCCGTAACGATGAGTGCTAAGTGTGGAGGGTTCCGCCCTTCAGTG				780
Sbjct 757	CTGGTAGTCCACGCCGTAACGATGAGTGCTAAGTGTGGAGGGTTCCGCCCTTCAGTG				816
Query 781	CTGCAGCAAACGCAATTAAACGACTCCGCCCTGGGAGTACGACCGCAAGGGTAAACCTAAA				840
Sbjct 817	CTGCAGCAAACGCAATTAAACGACTCCGCCCTGGGAGTACGACCGCAAGGGTAAACCTAAA				876

ภาพพนวก 7 ชื่อของแบคทีเรียที่มีลำดับเบสคล้ายแบคทีเรียไอโซเลต LGF 101

ATGATTACATTGAGTGAGTGGCGAACTGGTAGTAACACGTGGAAACCTGCCAGAAGCGGGGATAACACCTGGAAACAGATGCTAACCGCATAACAACACTGGACCGCATGGTCGAGCTGAAAGATGGCTCGCTATCACTTTGGATGGTCCCGCGCGTATTAGCTAGATGGTGGGTAACGGCTACCATGGCAATGATACGTAGCCGACCTGAGAGGGTAATCGGCCACATTGGGACTGAGACACGGCCAAACTCCTACGGGAGGCAGCAGTAGGAAATCTTCCACAAATGGACGAAAGTCTGATGGAGCAACGCCCGTGAAGAAGGGTTCGGCTCGTAAACTCTGTTAAAGAAGAACATATCTGAGAGTAACGTTAGGTATTGACGGTATTAAACCAGAAAGCCACGGCTAACTACGTGCCAGCAGCCCGCGTAATACGTAGGTGGCAAGCGTTGCTGGATTATTGGCGTAAAGCAGCGCAGGCCGTTTTAAGTCTGATGTGAAAGCCTCGGCTAACCGAAGAAGTGCATGGAAACTGGGAAACTTGAGTGCAGAAGAGGACAGTGGAAACTCCATGCTGAGCTAACGCTAACCGATGAATGCTAAGGCTGAGGCTCGAAAGTATGGTAGCAAACAGGATTAGATAACCTGGTAGTCCATACCGTAAACGATGAATGCTAAGTGGAGGGTTCCGCCCTCAGTGCTGCAGCTAACGCATTAAGCATTCCGCCTGGGAGTACGCCGCAAGGCTGAAACT

ภาพพนวก 8 ลำดับเบสของดีเอ็นเอขนาดประมาณ 840 คู่เบส ในส่วนของยีน 16 s rRNA ของแบคทีเรียโอลิโฉเดต LKF207

Lactobacillus plantarum strain KLDs 1.0725 16S ribosomal RNA gene, partial sequence
Sequence ID: gb|EU626010.1| Length: 1472 Number of Matches: 1
Range 1: 61 to 900

Score	Expect	Identities	Gaps	Strand	Frame
1552 bits(840)	0.0()	840/840(100%)	0/840(0%)	Plus/Plus	
Features:					
Query 1	ATGATTACATTGAGTGAGTGGCGAACTGGTAGTAACACGTGGAAACCTGCCAGAA				60
Sbjct 61	ATGATTACATTGAGTGAGTGGCGAACTGGTAGTAACACGTGGAAACCTGCCAGAA				120
Query 61	GCGGGGATAACACGTGGAAACAGATGCTAACACCGCATAACAACACTGGACCGATGGTC				120
Sbjct 121	GCGGGGATAACACGTGGAAACAGATGCTAACACCGCATAACAACACTGGACCGATGGTC				180
Query 121	CGAGTTGAAAAGATGGCTTCGGCTATCACCTTGGATGGTCCCAGGGTATTAGCTAGA				180
Sbjct 181	CGAGTTGAAAAGATGGCTTCGGCTATCACCTTGGATGGTCCCAGGGTATTAGCTAGA				240
Query 181	TGGTGGGTAACGGCTACCATGGCAATGATACGTAGCCGACCTGAGAGGGTAATCGGCC				240
Sbjct 241	TGGTGGGTAACGGCTACCATGGCAATGATACGTAGCCGACCTGAGAGGGTAATCGGCC				300
Query 241	ACATTGGACTGAGACACGGCCAAACTCTACGGGAGGCAGCAGTAGGGAAATCTTCCAC				300
Sbjct 301	ACATTGGACTGAGACACGGCCAAACTCTACGGGAGGCAGCAGTAGGGAAATCTTCCAC				360
Query 301	AATGGACAAAAGTCTGATGGAGCAACGCCCGTGAAGAAGGGTTTCGGCTCGTAAA				360
Sbjct 361	AATGGACAAAAGTCTGATGGAGCAACGCCCGTGAAGAAGGGTTTCGGCTCGTAAA				420
Query 361	ACTCTGTTAAAGAAGAACATATCTGAGAGTAACCTGGTATTGACGGTATTAA				420
Sbjct 421	ACTCTGTTAAAGAAGAACATATCTGAGAGTAACCTGGTATTGACGGTATTAA				480
Query 421	CCAGAAAGCCACGGCTAACTACGTGCCAGGCCGGTAATACGTAGGTGGCAAGCGTT				480
Sbjct 481	CCAGAAAGCCACGGCTAACTACGTGCCAGGCCGGTAATACGTAGGTGGCAAGCGTT				540
Query 481	GTCGGATTATTGGCGTAAGCGAGCGCAGGCCGGTTTTAAAGTCTGATGTGAAAGCC				540
Sbjct 541	GTCGGATTATTGGCGTAAGCGAGCGCAGGCCGGTTTTAAAGTCTGATGTGAAAGCC				600
Query 541	TTCCGGCTCAACCGAAGAAGTGCATCGGAAACTGGGAAACTTGGTAGTGCAGAAGAGGACAGT				600
Sbjct 601	TTCCGGCTCAACCGAAGAAGTGCATCGGAAACTGGGAAACTTGGTAGTGCAGAAGAGGACAGT				660
Query 601	GGAACCTCATGTTAGCGGTAAATGCGTAGATATGGAAAGAACACAGTGGCGAAGGC				660
Sbjct 661	GGAACCTCATGTTAGCGGTAAATGCGTAGATATGGAAAGAACACAGTGGCGAAGGC				720
Query 661	GGCTGTCGGCTGTAACTGACGCTGAGGCTCGAAAGTATGGTAGCAAAACAGGATTAGA				720
Sbjct 721	GGCTGTCGGCTGTAACTGACGCTGAGGCTCGAAAGTATGGTAGCAAAACAGGATTAGA				780
Query 721	TACCCCTGGTAGTCCATACCGTAAACGATGAATGCTAAGTGGTAGGGTTCCGCCCTTC				780
Sbjct 781	TACCCCTGGTAGTCCATACCGTAAACGATGAATGCTAAGTGGTAGGGTTCCGCCCTTC				840
Query 781	AGTGCTGCAGCTAACGCTAACGATTAAGCATTCCGCCCTGGGAGTACGCCGCAAGGCTGAAACT				840
Sbjct 841	AGTGCTGCAGCTAACGCTAACGATTAAGCATTCCGCCCTGGGAGTACGCCGCAAGGCTGAAACT				900

ภาพพนวก 9 ช่องของแบคทีเรียที่มีลำดับเบสคล้ายแบคทีเรียโอลิโฉเดต LKF207

ACGTGGAAATCTGCCAGAAGCAGGGATAACACTTGGAAACAGGTGCTAATACCGTATAACAACAAAATCCGC
 ATGGATTTGTTGAAAGGTGGCTTCGGCTATCACTTCTGGATGATCCCGCGCGTATTAGTTAGTGGTGAGGTA
 AGGCCACCAAGACGATGATACGTAGCCGACCTGAGAGGGTAATCGGCCACATTGGACTGAGACACGGCCAAA
 CTCCCTACGGGAGGCAGCAGTAGGAATCTTCCACAATGGACGAAAGTCTGATGGAGCAATGCCCGTGAGTGAAG
 AAGGGTTTCGGCTCGTAAACTCTGTTAAAGAAGAACACCTTGAGAGTAACGTCAAGGGTTGACGGTATT
 AACCAGAAAGCCACGGCTAACTACGTGCCAGCAGCCGCGTAATACGTAGGTGGCAAGCGTTCCGGATTATTG
 GGGTAAAGCGAGCGCAGGCGTTTTAAGTCTGATGTAAAGCCTTCCGGCTAACCGAGAAGTCATCGGAA
 CTGGGAGACTTGAGTGCAGAAGAGGACAGTGGAACTCCATGTTAGCGGTGGATGCGTAGATATGGAGAAC
 ACCAGTGGCGAAGGCCGCTGTCTAGTCTGAACTGACGCTGAGGCTCGAAAGCATGGTAGCGAACAGGATTAGAT
 ACCCTGGTAGTCATGCCGAAACGATGAGTCTAAGTGGAGGGTTCCGCCCTCAGTGCTGAGCTAACGCA
 TTAAGCACTCCGCTGGGGAGTACGACCGCAAGGTTGAAACTCAAAGGAATTGACGGGGCCCGACAAGCGGTG
 GAGCATGTGGTTAATTGAAGCTACGCGAAGAACCTTACCAAGGTCTGACATCTCTGCCAATCTAGAGATAAGA
 CGTTCCCTCGGGGACAGAATGACAGGTGGTGAGCAT

ภาพพนวก 10 ลำดับเบสของดีเอ็นเอขนาดประมาณ 840 คู่เบส ในส่วนของยีน 16 s rRNA

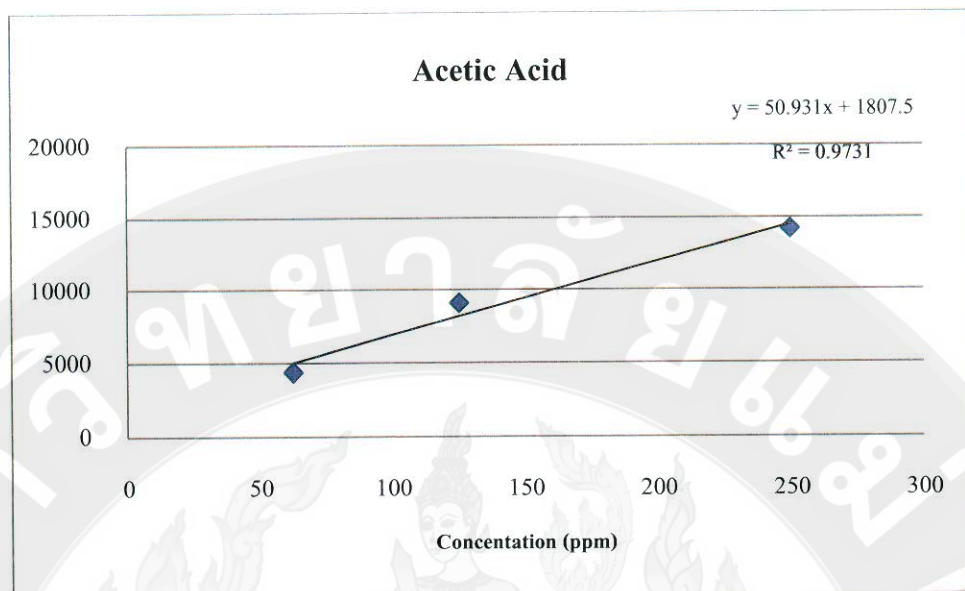
ของแบคทีเรียไอโซเลต LGF108

Lactobacillus brevis strain CSCWL1-17 16S ribosomal RNA gene, partial sequence
 Sequence ID: gb|KM985456.1| Length: 1453 Number of Matches: 1
 Range 1: 91 to 930

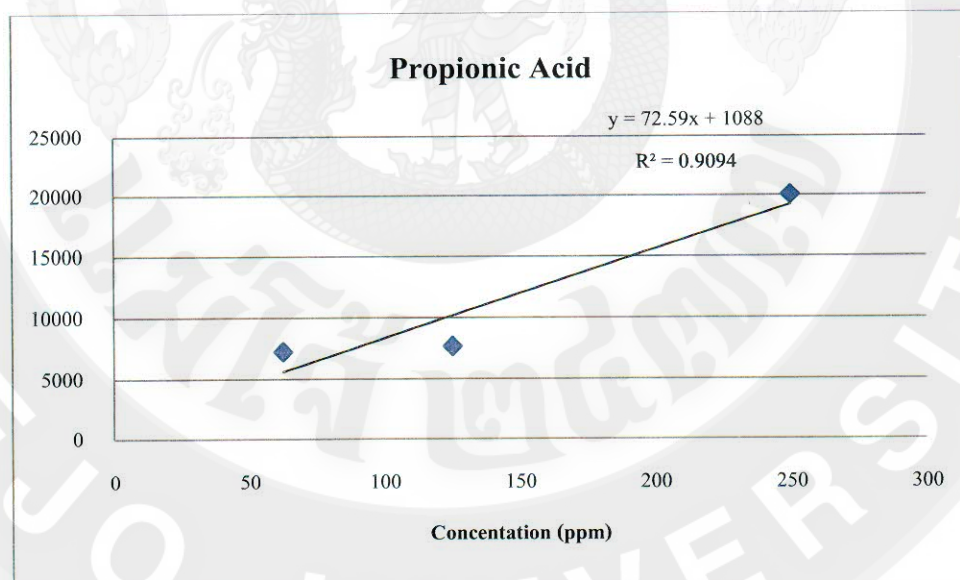
Score	Expect	Identities	Gaps	Strand	Frame
1552 bits(840)	0.0()	840/840(100%)	0/840(0%)	Plus/Plus	
Features:					
Query 1	ACGTGGAAATCTGCCAGAAGCAGGGATAACACTTGGAAACAGGTGCTAATACCGTAT				60
Sbjct 91	ACGTGGAAATCTGCCAGAAGCAGGGATAACACTTGGAAACAGGTGCTAATACCGTAT				150
Query 61	AACACAAAATCCGATGGATTTGTTGAAAGGTGGCTCGGTATCACCTCTGGATGA				120
Sbjct 151	AACACAAAATCCGATGGATTTGTTGAAAGGTGGCTCGGTATCACCTCTGGATGA				210
Query 121	TCCCGCGCGTATTAGTTAGTGGTGGAGTAAAGGCCACCAAGACGATGATACGTAGCC				180
Sbjct 211	TCCCGCGCGTATTAGTTAGTGGTGGAGTAAAGGCCACCAAGACGATGATACGTAGCC				270
Query 181	GACCTGAGAGGTAAATGGCCACATTGGGACTGAGACACGGCCAAACCTTACGGAGG				240
Sbjct 271	GACCTGAGAGGTAAATGGCCACATTGGGACTGAGACACGGCCAAACCTTACGGAGG				330
Query 241	CAGCACTAGGGAAATCTTCCACAATGGACGAAAGTCTGATGGAGCAATCCGCGTAGTGA				300
Sbjct 331	CAGCACTAGGGAAATCTTCCACAATGGACGAAAGTCTGATGGAGCAATCCGCGTAGTGA				390
Query 301	AGAAGGGTTCCGCTCGTAAACTCTGTTAAAGAAGAACACCTTGGAGAGTAACGT				360
Sbjct 391	AGAAGGGTTCCGCTCGTAAACTCTGTTAAAGAAGAACACCTTGGAGAGTAACGT				450
Query 361	TCAAGGGTTGACGGTTTTAACAGAAAGGCCACGGCTAACACTACGTGCCAGCGCCGGT				420
Sbjct 451	TCAAGGGTTGACGGTTTTAACAGAAAGGCCACGGCTAACACTACGTGCCAGCGCCGGT				510
Query 421	AATACGTAGGTGGCAAGCGTTGTCGGATTATTGGGCTAAAGCGAGCGCAGCGGGTT				480
Sbjct 511	AATACGTAGGTGGCAAGCGTTGTCGGATTATTGGGCTAAAGCGAGCGCAGCGGGTT				570
Query 481	TTTAAGTCTGATGTGAAAGCCTTCGGCTAACCGGAGAAGTGCATGGAAACTGGAGAC				540
Sbjct 571	TTTAAGTCTGATGTGAAAGCCTTCGGCTAACCGGAGAAGTGCATGGAAACTGGAGAC				630
Query 541	TTGAGTGCAGAAGAGGACAGTGGAACTCCATGTTAGCGGTGGAAATCGTAGATATATGG				600
Sbjct 631	TTGAGTGCAGAAGAGGACAGTGGAACTCCATGTTAGCGGTGGAAATCGTAGATATATGG				690
Query 601	AAGAACACCAGTGGCAAGGGCGCTGTCTAGTCTGAACTGACGCTGAGGCTCGAAAGCA				660
Sbjct 691	AAGAACACCAGTGGCAAGGGCGCTGTCTAGTCTGAACTGACGCTGAGGCTCGAAAGCA				750
Query 661	TGGGTAGCGAACAGGATTAGATACCCCTGGTAGTCCATGCCGTAACCGATGAGTGCCTAAGT				720
Sbjct 751	TGGGTAGCGAACAGGATTAGATACCCCTGGTAGTCCATGCCGTAACCGATGAGTGCCTAAGT				810
Query 721	GTTGGAGGGTTCCGCCCTTCAGTGCCTGCACTAACGCTAACGCTAACGACTCCGCCCTGGGAG				780
Sbjct 811	GTTGGAGGGTTCCGCCCTTCAGTGCCTGCACTAACGCTAACGACTCCGCCCTGGGAG				870
Query 781	TACGACCGCAAGGTTGAAACTCAAAGGAATTGACGGGGCCCGACAAGCGGTGGAGCAT				840
Sbjct 871	TACGACCGCAAGGTTGAAACTCAAAGGAATTGACGGGGCCCGACAAGCGGTGGAGCAT				930

ภาพพนวก 11 ชื่อของแบคทีเรียที่มีลำดับเบสคล้ายแบคทีเรียไอโซเลต LGF108

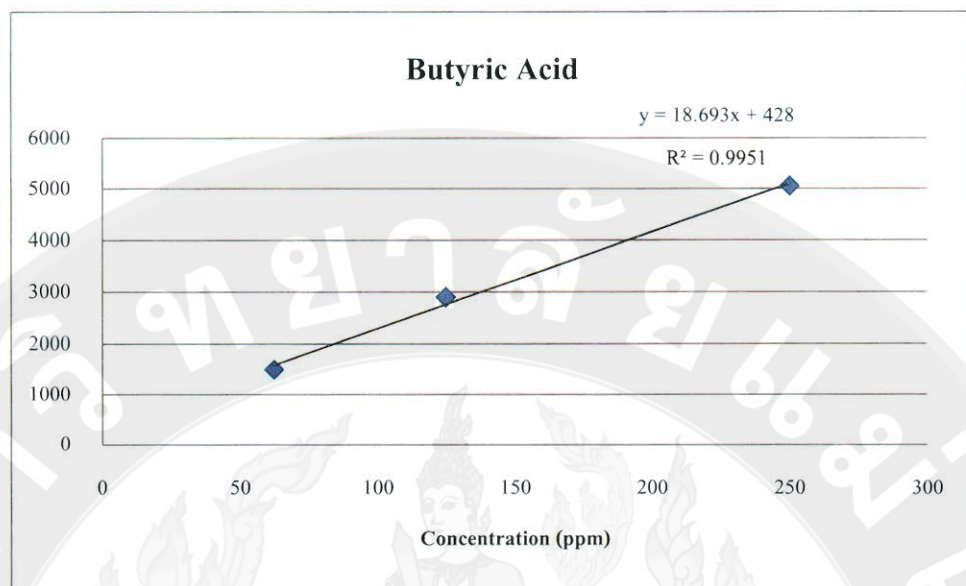




ภาพผนวก 12 กราฟมาตรฐานการหาความเข้มข้นของกรดอะซิติก



ภาพผนวก 13 กราฟมาตรฐานการหาความเข้มข้นของโพรพิโอนิก



ภาพผนวก 14 กราฟมาตรฐานการหาความเข้มข้นของบิวทีริก

ตารางผนวค 2 ปริมาณการดูดซับน้ำเพื่อทดสอบการฟอกร่วมระหว่างน้ำเสียจากฟาร์มสุกรและพืชป่าบนพื้นที่

วัน	อัตราผนวค (มก./@.)					โพธิ์อ่อนนึ่ง (มก./@.)					น้ำท่วม (มก./@.)	
	น้ำทิ้ง	HRT15	HRT20	HRT25	น้ำทิ้ง	HRT15	HRT20	HRT25	น้ำทิ้ง	HRT15	HRT20	
1	1109.4	216.8	178.1	386.5	1078.9	109.4	269.7	457.6	933.5	748.3	150.9	311.3
3	1602.9	652.8	449.1	489.1	1389.8	602.9	563.3	603.4	844.1	520.2	377.9	427.6
5	1549.4	601.4	658.7	599.7	1463.4	549.4	760.6	680.3	860.1	492.4	504.5	554.3
8	1503.9	563.1	656.4	185.2	1248.9	503.9	653.3	189.6	878.0	497.2	593.1	335.5
10	1591.2	647.2	799.6	526.3	1438.9	591.2	768.9	556.7	747.5	529.0	627.1	474.8
12	1490.3	529.0	799.4	867.3	1517.6	490.3	719.3	943.1	856.0	396.2	637.1	725.8
15	1362.9	398.0	504.2	568.3	1286.7	362.9	558.0	539.1	628.4	280.7	423.0	442.1
17	1298.5	316.4	488.4	524.3	1238.3	298.5	458.8	557.6	715.6	238.3	343.5	384.6
19	1301.2	267.0	444.5	350.1	1121.4	301.2	458.1	204.9	505.6	206.8	327.5	80.2
22	1275.0	240.7	809.2	283.4	1264.0	275.0	763.0	354.1	609.8	165.7	319.9	252.1
24	1247.4	189.0	171.5	280.0	1057.1	247.4	201.8	322.3	618.3	169.0	142.6	226.9
26	1275.4	193.8	181.0	224.6	1061.9	275.4	222.3	287.9	532.9	143.3	126.4	177.7
29	1282.8	103.5	148.8	131.8	962.5	282.8	135.7	69.1	569.8	108.0	97.5	108.9
31	1307.0	320.0	140.4	114.4	987.7	307.0	154.4	101.7	634.0	103.5	78.3	88.4
33	1260.3	253.2	121.3	117.3	980.1	260.3	121.1	158.8	649.5	142.5	73.1	102.5

ទារាងនៅ 2 (ទី២)

ក្រុង	ចំណាំតិច (អ.វ./តី.)					ចំណាំធិន (អ.វ./តី.)					ចំណាំអីមិន (អ.វ./តី.)					ចំណាំខ្សែរ (អ.វ./តី.)				
	អំពី	HRT15	HRT20	HRT25	អំពី	HRT15	HRT20	HRT25	អំពី	HRT15	HRT20	HRT25	អំពី	HRT15	HRT20	HRT25	អំពី	HRT15	HRT20	HRT25
38	1201.7	169.7	91.0	76.3	933.8	201.7	117.3	82.5	933.5	748.3	150.9	150.9	311.3							
40	1172.6	150.1	110.6	65.1	915.5	172.6	100.1	73.7	844.1	520.2	377.9	377.9	427.6							
43	1217.7	263.5	136.1	255.9	970.9	217.7	117.7	177.3	860.1	492.4	504.5	504.5	554.3							
45	1202.8	208.2	94.7	245.3	957.1	202.8	101.2	167.3	878.0	497.2	593.1	593.1	335.5							

ตารางผนวก 3 ผลวิเคราะห์คุณสมบัติทางเคมีของน้ำเข้าระบบ

DAY	น้ำเข้าจากระบบ (มก./ล.)							
	COD	SCOD	TS	VS	pH	Alk	TKN	NH ₃ -N
1	13,409	9,024	14,950	8,395	7.7	4,000	513.5	2,118
3	12,378	9,776	11,385	5,575	7.7	3,889	454.2	
5	12,119	10,528	19,570	1,0795	7.7	3,667	467.4	2,184
8	15,040	11,280	11,230	4,125	6.9	4,111	487.2	2,276
10	12,784	9,776	13,655	6,010	6.7	4,778	263.3	
12	16,048	10,024	12,050	4,795	7.0	4,333	474.0	2,486
15	15,280	10,528	14,395	6,235	7.2	4,556	460.8	2,592
17	17,296	10,528	11,895	4,420	7.1	4,556	632.0	
19	14288	8,520	19,010	9,150	7.0	4,667	717.6	2,486
22	13,536	9,024	13,480	5,460	7.3	4,333	467.4	2,276
24	12,784	11,280	11,380	4,275	7.4	4,111	678.1	
26	12,032	9,776	10,125	4,085	7.6	4,222	493.7	2,236
29	11,280	9,776	12,045	4,535	8.0	4,000	605.7	2,355
31	11,280	10,528	13,315	5,325	7.9	4,000	612.2	
33	10,528	10,528	13,040	5,165	7.8	4,333	605.7	2,263
36	11,280	9,776	12,670	5,070	7.7	3,933	375.2	2,381
38	9,776	9,776	12,125	4,720	7.7	3,822	585.9	
40	13,536	9,024	13,630	6,060	7.5	3,800	421.3	2,263
43	11,280	7,520	11,780	4,430	7.9	4,556	480.6	2,315
45	15,040	8,272	11,940	4,615	7.9	3,622	487.2	
47	10,528	10,784	12,370	4,985	7.9	3,444	460.8	2,592
50	12,784	9,024	12,975	5,175	8.0	4,222	605.7	2,355
52	12,032	9,776	12,420	4,815	7.9	3,667	474.0	
54	13,536	10,280	11,950	5,450	7.9	3,889	506.9	2,394
57	9,776	7,520	12,185	5,035	7.6	5,330	480.6	2,447
59	12,032	8,272	11,600	4,640	7.9	5,222	493.7	
61	12,784	6,768	11,450	4,450	7.3	4,889	500.3	2,500

ตารางผนวก 4 ผลวิเคราะห์คุณสมบัติทางเคมีของน้ำที่ผ่านการบำบัดที่ระยะเวลา각กัน 15 วัน

DAY	น้ำออกจากระบบ (มก./ล.)							
	COD	SCOD	TS	VS	pH	Alk	TKN	NH ₃ -N
1	6,189	6,016	17,070	9,920	6.0	3,889	492.4	1,223
3	7,414	6,768	10,420	5,045	6.6	3,667	494.1	
5	7,219	9,024	9,975	4,450	6.7	3,778	472.4	1,447
8	8,422	8,272	8,450	4,505	7.0	3,000	283.1	1,131
10	7,821	7,272	9,170	4,760	6.1	3,333	329.2	
12	6,516	6,016	7,015	3,885	6.8	3,444	316	1,223
15	6,016	4,512	8,830	5,375	7.4	3,889	474	1,210
17	7,821	5,512	7,670	4,495	7.5	3,000	533.2	
19	7,821	4,512	6,640	3,655	7.6	3,444	441.1	1,368
22	7,219	5,264	2,750	1,460	8.2	2,667	368.7	1,447
24	5,414	5,264	2,785	1,545	7.8	3,000	414.7	
26	5,813	3,760	2,510	1,290	7.8	3,111	487.2	1,513
29	6,211	3,208	4,095	1,685	7.2	2,889	362.1	1,381
31	5,813	3,256	3,450	1,515	7.1	2,444	329.2	
33	5,414	3,256	3,665	1,245	7.2	2,667	388.4	1,394
36	7,821	3,508	3,245	1,430	8.1	3,222	362.1	1,394
38	5,414	4,512	3,290	1,475	7.7	2,778	322.6	
40	7,219	3,256	3,860	1,970	7.9	2,222	296.2	1,394
43	7,821	4,008	3,100	1,680	7.9	2,111	316	1,368
45	8,422	3,256	4,530	2,980	7.9	2,556	302.8	
47	7,219	4,512	3,480	1,915	7.9	2,556	348.9	1,315
50	7,821	3,760	3,220	1,845	7.9	2,667	348.9	1,302
52	7,219	3,256	2,575	3,595	7.9	2,778	539.8	
54	6,618	3,256	2,845	1,465	8.0	2,111	408.2	1,407
57	6,618	2,256	2,665	1,300	7.6	3,222	421.3	1,394
59	7,821	3,008	2,990	1,545	7.7	3,667	348.9	
61	6,611	2,256	1,910	1,890	7.0	2,778	355.5	1,460

ตารางผนวก 5 ผลวิเคราะห์คุณสมบัติทางเคมีของน้ำที่ผ่านการบำบัดที่ระยะเวลา각กัน 20 วัน

DAY	นำออกจากระบบ (มก./ล.)							
	COD	SCOD	TS	VS	pH	Alk	TKN	NH ₃ -N
1	7,520	6,188	14,000	7,615	6.5	3,333	307.4	1,289
3	10,280	9,024	10,560	5,865	6.6	3,000	570.8	
5	10,536	8,428	13,215	6,870	6.4	3,889	470.2	1,381
8	9,626	9,528	8,410	4,695	7.3	3,889	447.7	1,565
10	9,528	8,625	9,275	4,645	6.7	3,444	421.3	
12	9,626	9,024	9,745	5,010	6.8	3,778	421.3	1,658
15	7,821	3,760	8,310	4,680	7.2	3,333	263.3	1,368
17	9,024	4,512	8,715	5,175	7.3	3,667	414.7	
19	9,626	6,872	7,785	4,435	7.3	37,78	401.6	1,381
22	7,821	4,512	3,580	2,000	7.7	3,000	408.2	1,486
24	7,821	5,264	3,760	2,155	7.8	3,111	421.3	
26	6,618	5,264	3,465	1,700	7.8	3,000	408.2	1,631
29	6,611	4,512	5,850	2,720	7.1	3,556	395.0	1,421
31	8,224	3,008	4,235	1,790	7.1	2,889	401.6	
33	7,219	3,008	4,705	1,920	7.2	2,889	454.2	1,421
36	8,422	2,504	4,330	1,975	7.9	3,111	309.4	1,355
38	7,821	4,512	4,205	1,980	7.9	3,000	342.3	
40	7,821	2,504	4,320	2,150	7.9	3,000	335.7	1368
43	7,821	2,256	3,260	1,500	8.0	2,333	302.8	1407
45	7,219	3,760	3,840	1,995	8.0	2,556	329.2	
47	7,821	2,256	3,805	2,020	8.0	2,333	342.3	1,421
50	4,813	3,008	3,280	1,535	7.9	2,778	263.3	1,513
52	7,219	4,512	3,195	1,585	8.3	2,889	375.2	
54	5,414	5,264	3,025	1,280	8.0	2,667	401.6	1,434
57	6,822	3,760	3,865	2,055	7.8	3,333	355.5	1,513
59	8,422	2,256	3,615	1,860	7.8	2,889	309.4	
61	8,422	3,008	3,815	2,015	7.3	2,889	329.2	1,381

ตารางพนวก 6 ผลวิเคราะห์คุณสมบัติทางเคมีของน้ำที่ผ่านการบำบัดที่ระยะเวลา각กัน 25 วัน

DAY	นำออกจากระบบ (มก./ล.)							
	COD	SCOD	TS	VS	pH	Alk	TKN	NH ₃ -N
1	6,807	6,768	13,670	7,160	6.0	3,111	441.0	1,329
3	11,280	9,024	8,795	2,370	6.8	3,333	497.8	
5	10,528	8,422	8,815	3,355	6.6	3,222	632.0	1,526.4
8	12,536	9,227	9,550	4,915	6.9	3,556	441.1	1,750
10	7,520	7,430	7,470	3,865	6.8	3,444	348.9	
12	7,219	6,016	7,890	4,480	7.0	3,889	381.8	1,421
15	7,821	5,264	7395	4,025	7.4	3,111	421.3	1,315
17	6,016	4,512	7,485	4,380	7.6	3,667	441.1	
19	9,626	6,016	7,245	4,215	7.8	3,222	454.2	1,276
22	9,414	4,512	3,690	2,130	7.8	3,111	348.9	1,421
24	8,422	6,620	3,625	2,055	7.8	3,000	434.5	
26	7,219	3,760	3,370	1,930	7.9	3,222	480.6	1,394
29	8,618	5,264	6,220	3,235	7.2	3,111	414.7	1,315
31	9,024	3,008	5,855	3,070	7.2	2,556	427.9	
33	7,219	5,264	4,890	4,477	7.4	3,111	414.7	1,342
36	7,821	3,760	4,260	1,905	7.9	2,889	381.8	1,315
38	8,422	3,008	3,960	1,895	8.0	2,778	362.1	
40	7,219	5,284	3,780	1,740	8.0	2,778	395.0	1,421
43	7,219	4,512	3,340	1,610	7.8	2,222	421.3	1,421
45	10227	3,008	3,945	1,915	8.0	2,556	447.7	
47	7,219	4,512	4,755	2,795	8.0	2,556	375.2	1394
50	8,422	3,008	4,190	2,290	7.5	2,778	375.2	1434
52	7,821	3,760	3,535	1,915	7.5	2,889	362.1	
54	8,422	3,008	3,430	1,790	7.6	2,667	447.7	1,486
57	8,422	2,256	3,935	1,880	8.0	3,444	355.5	1,381
59	7,219	3,760	4,320	1,520	7.9	3,556	388.4	
61	9,024	3,008	4,250	2,310	7.4	2,889	388.4	1,434

ตารางผนวก 7 ข้อมูลปริมาณก้าชชีวภาพ และสัดส่วนก้าชมีเทนที่ระยะเวลาต่อกัน 15 วัน

วัน	ปริมาณก้าชชีวภาพ (ml/d)	สัดส่วนก้าชมีเทน (ml/d)	วัน	ปริมาณก้าชชีวภาพ (ml/d)	สัดส่วนก้าชมีเทน (ml/d)
1	285	53.51	31	249	49.49
2	285	53.51	32	249	49.1
3	285	48.7	33	285	49.1
4	166	48.7	34	237	51.31
5	237	50.49	35	214	51.31
6	166	50.49	36	309	54.79
7	237	51.28	37	273	54.79
8	309	51.28	38	261	54.41
9	309	51.28	39	249	54.41
10	332	52.79	40	214	54.41
11	309	52.79	41	285	50.23
12	214	51.55	42	237	50.23
13	214	51.55	43	237	51.7
14	237	51.55	44	285	51.7
15	285	51.55	45	237	48.41
16	285	51.55	46	237	48.41
17	261	52.24	47	214	48.41
18	214	52.24	48	237	51.58
19	214	51.58	49	249	51.58
20	237	51.58	50	261	50.94
21	237	51.58	51	261	50.94
22	237	47.58	52	261	50.18
23	237	47.58	53	237	50.18
24	237	46.65	54	285	50.18
25	261	46.65	55	285	48.84
26	214	48.36	56	309	48.84
27	285	48.36	57	285	51.66
28	237	50.07	58	237	51.66
29	226	50.07	59	309	51.91
30	285	49.49	60	285	55.39

ตารางผนวก 8 ข้อมูลปริมาณก้าชชีวภาพ และสัดส่วนก้าชมีเทนที่ระยะเวลาเก็บ 20 วัน

วัน	ปริมาณก้าชชีวภาพ (ml/d)	สัดส่วนก้าชมีเทน (ml/d)	วัน	ปริมาณก้าชชีวภาพ (ml/d)	สัดส่วนก้าชมีเทน (ml/d)
1	285	48.33	31	261	50.49
2	309	48.33	32	285	51.28
3	190	41.1	33	261	51.28
4	166	41.1	34	261	52.77
5	214	45.55	35	214	52.77
6	190	45.55	36	214	51.55
7	332	47.24	37	214	51.55
8	237	47.24	38	285	51.55
9	261	47.24	39	237	51.55
10	309	50.5	40	237	51.55
11	237	50.5	41	237	45.79
12	190	53.66	42	237	45.79
13	190	53.66	43	237	45.79
14	237	53.34	44	237	45.79
15	285	53.34	45	214	42.91
16	285	53.34	46	214	42.91
17	332	54.45	47	237	42.91
18	214	54.45	48	214	42.89
19	309	52.27	49	237	42.89
20	249	52.27	50	190	43.84
21	261	52.27	51	214	43.84
22	309	52.27	52	214	47.01
23	309	52.27	53	226	47.01
24	237	52.38	54	237	47.01
25	214	52.38	55	237	44.28
26	261	53.51	56	261	44.28
27	237	53.51	57	237	43.16
28	285	48.7	58	214	43.16
29	237	48.7	59	226	46.73
30	285	50.49	60	190	51.15

ตารางผนวก 9 ข้อมูลปริมาณก๊าซชีวภาพ และสัดส่วนก๊าซมีเทนที่ระยะเวลา กักเก็บ 25 วัน

วัน	ปริมาณก๊าซชีวภาพ (ml/d)	สัดส่วนก๊าซมีเทน (ml/d)	วัน			ปริมาณก๊าซชีวภาพ (ml/d)	สัดส่วนก๊าซมีเทน (ml/d)
1	237	46.66	31	237	49.78		
2	226	46.66	32	261	49.93		
3	309	54.12	33	285	49.93		
4	166	54.12	34	261	53.85		
5	190	51.19	35	237	53.85		
6	190	51.19	36	226	50.73		
7	190	48.44	37	261	50.73		
8	190	48.44	38	237	48.6		
9	214	48.44	39	261	48.6		
10	214	51.03	40	237	48.6		
11	190	51.03	41	214	49.17		
12	309	53.57	42	285	49.17		
13	237	53.57	43	237	49.03		
14	285	51.66	44	190	49.03		
15	285	51.66	45	237	51.03		
16	285	51.66	46	237	51.03		
17	285	54.33	47	214	51.03		
18	285	54.33	48	226	51.38		
19	309	53.36	49	214	51.38		
20	261	53.36	50	214	48.33		
21	214	53.36	51	237	48.33		
22	214	49.77	52	237	44.79		
23	214	49.77	53	190	44.79		
24	237	46.18	54	214	44.79		
25	190	46.18	55	226	42.62		
26	190	45.31	56	237	42.62		
27	309	45.31	57	237	45.11		
28	261	52.18	58	226	45.11		
29	261	52.18	59	190	45.11		
30	190	49.78	60	226	45.5		



ประวัติผู้วิจัย

ชื่อ – สกุล

นางสาวรุ่งตะวัน ปืนทะวงศ์

วัน/เดือน/ปีเกิด

15 พฤษภาคม 2532

E-Mail

rungtawan_pan@hotmail.com

ประวัติการศึกษา

พ.ศ. 2548

นักเรียนศึกษา โรงเรียนบ้านกาดวิทยาคม
จังหวัดเชียงใหม่

พ.ศ. 2551

ปริญญาวิทยาศาสตรบัณฑิต
(เทคโนโลยีชีวภาพ) คณะวิทยาศาสตร์
มหาวิทยาลัยแม่โจ้ จังหวัดเชียงใหม่

พ.ศ. 2555

ปริญญาวิทยาศาสตรบัณฑิต
(เทคโนโลยีสิ่งแวดล้อมคณะวิทยาศาสตร์
มหาวิทยาลัยแม่โจ้ จังหวัดเชียงใหม่

ประวัติการฝึกงาน

นักศึกษาฝึกงานด้านจุลชีววิทยาทางอาหารและน้ำ
ที่ ศูนย์วิทยาศาสตร์การแพทย์ที่ 10

ผลงานทางด้านวิชาการ

การนำเสนอผลงานการประชุมวิชาการระดับ
นานาชาติ ครั้งที่ 10 “เครือข่ายงานวิจัย สร้างความรู้
สู่อาชีวิน” ณ.มหาวิทยาลัยนเรศวร
เรื่อง การศึกษาการเจริญของแบคทีเรียกรดแลคติก
ในหญ้าสกัด

พ.ศ. 2557

พ.ศ. 2558

การนำเสนอผลงานการประชุมวิชาการระดับชาติ
“วิทยาศาสตร์วิจัย” ครั้งที่ 7 ณ.มหาวิทยาลัยนเรศวร
เรื่อง ศักยภาพในการผลิตก๊าซมีเทนจากการหมัก
ร่วมของน้ำเสียจากฟาร์มสุกรและหญ้าบนหมัก

